



UNIVERSIDAD NACIONAL DEL ALTIPLANO

ESCUELA DE POSGRADO

PROGRAMA DE MAESTRÍA

MAESTRÍA EN AGRICULTURA ANDINA



TESIS

IMPLEMENTACIÓN DE UN SISTEMA AUTOMATIZADO DE
MONITOREO Y CONTROL DE LA TASA RESPIRATORIA EN
TUNA Y PALTA CON TRATAMIENTO POSCOSECHA

PRESENTADA POR:

PERCY FERMÍN VELÁSQUEZ CCOSI

PARA OPTAR EL GRADO ACADÉMICO DE:

MAGISTER SCIENTIAE EN POSCOSECHA Y MARKETING

PUNO, PERÚ

2017



UNIVERSIDAD NACIONAL DEL ALTIPLANO

ESCUELA DE POSGRADO

PROGRAMA DE MAESTRÍA

MAESTRÍA EN AGRICULTURA ANDINA



TESIS

IMPLEMENTACIÓN DE UN SISTEMA AUTOMATIZADO DE MONITOREO
Y CONTROL DE LA TASA RESPIRATORIA EN TUNA Y PALTA CON
TRATAMIENTO POSCOSECHA

PRESENTADA POR:

PERCY FERMÍN VELÁSQUEZ CCOSI

PARA OPTAR EL GRADO ACADÉMICO DE:

MAGISTER SCIENTIAE EN POSCOSECHA Y MARKETING

APROBADA POR EL SIGUIENTE JURADO:

PRESIDENTE

.....
Ph. D JUAN MARCOS ARO ARO

PRIMER MIEMBRO

.....
Dr. ALEJANDRO COLOMA PAXI

SEGUNDO MIEMBRO

.....
Dra. ROSARIO ORTEGA BARRIGA

ASESOR DE TESIS

.....
M. Sc. FLORENTINO VÍCTOR CHOQUEHUANCA CÁCERES

Puno, 25 de setiembre de 2017

ÁREA: Poscosecha y marketing.

TEMA: Monitoreo y control de la tasa respiratoria en frutos con tratamiento poscosecha.

LÍNEA: Producción orgánica de cultivos.



DEDICATORIA

A mi madre porque soy el resultado de lo que ella
quiso hacer de mí persona.



AGRADECIMIENTOS

- A la Universidad Nacional Del Altiplano, que me dio la formación profesional que hoy poseo.
- A la Universidad Nacional de San Cristóbal De Huamanga, la que me permitió desarrollar el trabajo de tesis.
- Al M. Sc. Víctor Choquehuanca Cáceres, por su apoyo incondicional en el desarrollo de la tesis.
- A los miembros de jurado Ph.D. Juan Marcos Aro Aro, por su atenta lectura y correcciones del presente trabajo, al Dr. Alejandro Coloma Paxi por sus valiosos comentarios y acertadas sugerencias y a la Dra. Sc. Rosario Ortega Barriga
- Al Ing. Juan Tineo Canchari, especialista en frutales de la Estación Experimental Agraria - Canaán (INIA), por su colaboración en la selección de las especies evaluadas.
- A los colegas, técnicos de laboratorio, estudiantes y amigos por su constante apoyo, paciencia y ayuda desinteresada en todo este tiempo.
- A una mujer, cuya esencia es el amor y hoy es mi compañera de muchas beligerancias: Lady.
- A mi hermana Alejandrina quien me enseñó a que el miedo no se interponga en mis sueños.



ÍNDICE GENERAL

	Pág.
DEDICATORIA	i
AGRADECIMIENTOS	ii
ÍNDICE GENERAL	iii
ÍNDICE DE CUADROS	vii
ÍNDICE DE FIGURAS	viii
ÍNDICE DE ANEXOS	x
RESUMEN	xi
ABSTRACT	xii
INTRODUCCIÓN	1

CAPÍTULO I

PROBLEMÁTICA DE INVESTIGACIÓN

1.1 PLANTEAMIENTO Y DEFINICIÓN DEL PROBLEMA	2
1.2 OBJETIVOS	4
1.2.1 Objetivo general	4
1.2.2 Objetivos específicos	4

CAPÍTULO II

MARCO TEÓRICO

2.1 DESCRIPCIÓN Y DESARROLLO DE LA PALTA Hass	5
2.2 ÍNDICE DE COSECHA	7
2.3 RESPIRACIÓN	9
2.4 DESCRIPCIÓN Y DESARROLLO DE LA TUNA	10
2.5 ÍNDICE DE COSECHA PARA TUNA	12



2.6 RESPIRACIÓN DE LA TUNA	13
2.7 MANEJO POSTCOSECHA DE LA TUNA	13
2.8 METODOLOGÍA PARA CUANTIFICAR LA ACTIVIDAD RESPIRATORIA	15
2.8.1 Métodos Estáticos	15
2.8.2 Métodos Dinámicos	16
2.9 INTENSIDAD RESPIRATORIA (TASA RESPIRATORIA)	17
2.9.1 Tasa inicial de respiración	18
2.10 INSTRUMENTACIÓN DE LA CALIDAD EN FRUTAS Y HORTALIZAS FRESCAS	18
2.11 SENSORES DE GAS CATALÍTICOS vs NDIR	19
2.12 CONSIDERACIONES PARA ESTABLECER LA METODOLOGÍA PARA MEDIR ACTIVIDAD RESPIRATORIA	21
2.13 FACTORES EXTERNOS QUE INFUEN SOBRE EL CLIMATERIO RESPIRATORIO	22
CAPÍTULO III	
METODOLOGÍA	
3.1 LUGAR DE EJECUCIÓN	25
3.2 MATERIAL EXPERIMENTAL	25
3.2.1 Palta	25
3.2.2 Tuna	26
3.3 EQUIPOS Y MATERIALES	26
3.3.1 Equipos	26



3.3.2 Materiales	27
3.3.3 Software	27
3.4 METODOLOGÍA DEL SISTEMA DE MONITOREO Y CONTROL DEL CO ₂	27
3.5 DESCRIPCIÓN DE LAS ETAPAS DEL FLUJO EXPERIMENTAL DEL SISTEMA DE MONITOREO Y CONTROL DE CO ₂	29
3.5.1 Requerimientos generales del sensor	29
3.5.2 Diseño funcional	30
3.5.3 Diseño formal	30
3.5.4 Evaluación contextual y diseño en detalle	30
3.5.5 Evaluación del sistema	30
3.6 METODOLOGÍA EXPERIMENTAL	31
3.6.1 Variables independientes:	32
3.6.2 Variables dependientes	32
CAPÍTULO IV	
RESULTADOS Y DISCUSIÓN	
4.1 RELACIÓN ENTRE EL GRADO DE MADURACIÓN Y LA ACTIVIDAD RESPIRATORIA EN PALTA HASS	33
4.2 EFECTO DEL TRATAMIENTO POSTCOSECHA (RECUBRIMIENTO COMESTIBLE) EN LA INTENSIDAD RESPIRATORIA DE PALTA HASS	37
4.3 COMPARACIÓN DEL MONITOREO Y CONTROL DE CO ₂ PARA TUNA (PT1-167)	39
CONCLUSIONES	42



RECOMENDACIONES	43
BIBLIOGRAFÍA	44
ANEXOS	51

ÍNDICE DE CUADROS

	Pág.
1. Ecuaciones de regresión lineal simple usadas para determinar el porcentaje de aceite a través del porcentaje de humedad, para las variedades de palta Negra de la Cruz, Bacon, Edranol y Hass.	8
2. Respiración climática de palta Fuerte con respecto a la temperatura	10
3. Estructura para el diseño experimental	31
4. Especificaciones técnicas de la bomba	56
5. Análisis de la varianza de la tendencia respiratoria	95
6. Prueba de Comparación Múltiple Duncan para contraste según tendencia respiratoria $\alpha=0.05$	95

ÍNDICE DE FIGURAS

	Pág.
1. Evolución del porcentaje de aceite y humedad durante 3 años en paltas variedad Fuerte	9
2. Evolución del desarrollo y maduración de frutos de tuna (<i>Opuntia ficus-indica</i>) antes de la antesis.	11
3. Sistema estático (A) y sistema dinámico (B) para colectar las muestras de gases de los frutos.	17
4. Principio de funcionamiento del sensor catalítico. Puente de Wheatstone.	20
5. Representación esquemática del sensor infrarrojo no dispersivo NDIR (Non Dispersive Infrared Detector)	21
6. Monitoreo y control de CO ₂ en palta Hass en postcosecha	34
7. Intensidad respiratoria para palta Hass en postcosecha	35
8. Cambios visuales de la piel - pulpa en relación con el cambio del porcentaje de aceite	36
9. Intensidad respiratoria para palta Hass con tratamiento postcosecha	38
10. Diferencias en la variación de la intensidad respiratoria entre tunas con recubrimiento y no recubiertas	39
11. Monitoreo y control de CO ₂ en tuna (PT1-167) Hass en postcosecha	40
12. Palta Hass en árbol	52
13. Carga de palta Hass	52
14. Banco nacional de germoplasma de tuna	52
15. Biotipo (PT1-167)	53
16. Sensor de CO ₂ 30% K-33 ICB	55



17. Bomba de aire	56
18. Filtro de partículas	57
19. Filtro hidrofóbico	58
20. Trampa de agua	58
21. Cámara de respiración	59
22. Esquema del sistema automatizado de monitoreo y control de la tasa de respiratoria	60
23. Diseño en detalle del sistema automatizado de monitoreo y control de la tasa respiratoria	61
24. Operación del sistema sin muestra	62
25. Operación del sistema con frutos de tuna	62
26. Biotipo Susy Diaz (PT1-167) con recubrimiento a base de chía	63
27. 14.9°Brix, estado de madurez al momento de la cosecha	63
28. Recubrimiento a base de chía	63
29. Método de extracción de grasa por Soxhlet	63
30. Panel de componentes: (cámara de respiración de 0.005m ³ , sensor de CO ₂ , filtros de partículas e hidrofóbico, trampa de agua y bomba	94
31. CPU: Central Processing Unit.	94
32. Sistema automatizado de monitoreo y control de la tasa respiratoria para frutas en postcosecha	94

ÍNDICE DE ANEXOS

	Pág.
1. Materia prima objeto de estudio	52
2. Descripción de los elementos conformantes del sistema de monitoreo y control de CO ₂	54
3. Evaluación del sistema de monitoreo y control de tasa respiratoria.	62
4. Tratamiento poscosecha en tuna y palta con recubrimiento comestible y verificación de los principales indicadores de madurez	63
5. Datos obtenidos con el sistema de monitoreo y control de la tasa respiratoria en palta HASS	64
6. Datos obtenidos con el sistema de monitoreo y control de la tasa respiratoria en palta HASS con tratamiento poscosecha	75
7. Datos obtenidos con el sistema de monitoreo y control de la tasa respiratoria en tuna (PT1-167) sin tratamiento poscosecha	86
8. Datos obtenidos con el sistema de monitoreo y control de la tasa respiratoria en Tuna (PT1-167) con tratamiento poscosecha	90
9. Sistema automatizado de monitoreo y control de la tasa respiratoria en postcosecha	94
10. Resultados del análisis estadístico	95

RESUMEN

El propósito del presente trabajo de investigación, fue implementar un sistema de monitoreo y control de la tasa respiratoria, en palta variedad Hass y tuna biotipo (PT1-167) el método consistió en mantener un flujo constante y conocido de aire sobre la muestra, de peso previamente determinado y llevar al equilibrio con accesorios purificadores de gas (filtro de partículas, trampa de agua y filtro hidrofóbico), el CO₂ liberado por los frutos en la cámara de respiración es acarreado por el flujo de aire, el cual pasa por la cámara de muestreo del sensor doble infrarrojo (NDIR). La palta variedad Hass proveniente de Huanta Ayacucho a 2380 m.s.n.m. se cosechó con 9.26% de aceite (madurez fisiológica), a los 17 días de monitoreo y control respiratorio experimentó el clímax climatérico, este rápido incremento en la respiración estuvo asociado a la maduración con un coeficiente respiratorio (CR) de 0.97, a los 19 días culminó su desarrollo organoléptico (madurez de consumo) y su aceite, evolucionando hasta 21%. En cambio, para palta Hass con tratamiento postcosecha (recubrimiento comestible) a base de 0.70 % de mucílago de chía-glicerol y 0.50% de emulsión de cera de abeja-ácido oleico, no experimenta el climaterio ni mucho menos el post-climaterio, siendo aún no comestibles a los 19 días de control con un 12.06% de aceite y CR de 0.95. el valor de intensidad respiratoria para tunas sin recubrimiento fue de 4.46 veces más que en las tunas con recubrimiento, con un CR de 1.38 y manteniéndose constante los sólidos solubles en 14.9°Brix.

Palabras clave: frutas, monitoreo, postcosecha, respiración, sensor.

ABSTRACT

The purpose of the present research was to implement a respiratory rate monitoring and control system, in Hass avocado variety and tuna biotype (PT1-167). The method consisted of maintaining a constant and known air flow on the sample, from pre-determined weight and to balance with gas purifying accessories (particulate filter, water trap and hydrophobic filter), the CO₂ released by the fruits in the breathing chamber is carried by the air flow, which passes through the chamber Dual Infrared Sensor Sampling (NDIR). The avocado variety Hass from Huanta Ayacucho at 2380 m.s.n.m. was harvested with 9.26% of oil (physiological maturity), at 17 days of monitoring and respiratory control climacteric climax, this rapid increase in respiration was associated with maturation with a respiratory coefficient (CR) of 0.97, at 19 days culminated its organoleptic development (maturity of consumption) and its oil evolving to 21%. In contrast, for Hass avocado with post-harvest treatment (edible coating) based on 0.70% chia-glycerol mucilage and 0.50% beeswax-oleic acid emulsion, it does not experience the climacteric, much less the post-climacteric, being not yet edible at 19 days of control with 12.06% oil and CR of 0.95. The respiratory intensity value for uncoated tunas was 4.46 times more than for coated tunas, with a CR of 1.38 and the soluble solids remaining at 14.9 ° Brix.

Keywords: fruits, monitoring, postharvest, respiration and sensor

INTRODUCCIÓN

Un productor no solo vela por sus cultivos antes de cosecharlos, posiblemente las preocupaciones sean aún mayores luego de la época de cosecha, donde se requiere implementar tecnologías postcosecha para reducir pérdidas de cultivos, los que se presentan con mayor frecuencia son los relacionados con cosechas antes de tiempo, entre otros (Barreiro, 2000). Es precisamente en el campo de la fruticultura en el que los sistemas de evaluación de actividad respiratoria podrían convertirse en un instrumento ideal para monitorizar de forma no destructiva el estado de la fruta ya que una de las características propias del proceso de maduración, es la emisión de dióxido de carbono (Martinez *et al.*, 2008).

El presente trabajo de investigación busca divulgar una nueva alternativa para determinar la fecha óptima de recolecta: tanto si la palta o tuna, se destina al consumo directo o si se destina a cámaras de conservación, siempre existe un grado óptimo dentro del proceso de maduración, en el que se debe recolectar para que llegue con la mayor calidad posible al consumidor final.

Los resultados del presente trabajo nos ayudan en la determinación óptima del tiempo de cosecha y así evitar pérdida de características evidentes, que condicionan el rechazo de estos productos por los mercados, teniendo en cuenta que el precio de la palta y tuna cada vez está más ligado a la calidad del producto final y, por este motivo, debe planificarse su proceso productivo con miras a satisfacer al máximo las exigencias del sector comercial.



CAPÍTULO I

PROBLEMÁTICA DE INVESTIGACIÓN

1.1 PLANTEAMIENTO Y DEFINICIÓN DEL PROBLEMA

La tuna y palta se cosechan idealmente cuando alcanzan la calidad visual o comestible óptima. Sin embargo, como son sistemas biológicos vivos, se deterioran tras la recolección (Moggia, 2009) y (Monroy, 2016).

La transferencia de estas frutas del productor al consumidor final a través de las cadenas de comercialización más simples tiene lugar en un corto período de tiempo; en este caso el deterioro postcosecha ofrece escasa importancia. Sin embargo, el alejamiento de las áreas de producción y los centros de consumo, la proliferación de grandes urbes y el incremento del comercio internacional, han aumentado en forma considerable el tiempo que media entre la recolección y su llegada al consumidor final, ocurriendo pérdida postcosecha debido principalmente a causas: físicas derivadas de daño estructural o el deterioro microbiano y pérdidas de calidad, debido a cambios fisiológicos y modificaciones de la composición que alteran el aspecto, el sabor o la textura y reducen el atractivo tanto de la tuna y palta (Olaeta y Undurraga, 2003).

Según MINAGRI (2012), Ayacucho cuenta con un Banco Nacional de Germoplasma que alberga 179 plantas provenientes de diversas ciudades del país. Del total de biotipos que posee, nueve variedades promisorias se están investigando debido a su rendimiento, presentación comercial, tamaño de fruto, sabor dulce y tolerancia a las enfermedades, y casi nada en su manejo postcosecha.

Los agricultores no poseen un patrón de producción, lo que estaría generando bajos niveles de tecnología (usan conocimientos ancestrales), que repercuten en la calidad del producto. Es por esto que sólo el 20% del total de la producción del distrito de Luricocha, es de calidad exportable. (Cardenas *et al.*, 2012).

Dado el gran abanico de posibilidades que ofrece hoy en día la tecnología en el mundo frutícola el eslabón de los productores, de la cadena no funciona en un entorno que le permita generar eficiencias, más por el contrario buscan mejorar a costa de otro eslabón. Motivo por el que se plantea las siguientes interrogantes:

- ¿Qué relación existe entre del grado de maduración y la actividad respiratoria en tuna y paltas, como método para la determinación del momento de cosecha de forma no destructiva?
- ¿Cuál es la tasa respiratoria característica para tuna y palta, con la cuantificación de la producción de CO₂ y consumo de O₂ a lo largo de su maduración organoléptica y senescencia?
- ¿Cuál es el efecto del tratamiento postcosecha (recubrimiento comestible), en la intensidad respiratoria de frutos de tuna y palta?

1.2 OBJETIVOS

1.2.1 Objetivo general

Implementar un sistema automatizado de monitoreo y control de la tasa respiratoria en tuna y palta con tratamiento postcosecha.

1.2.2 Objetivos específicos

- Determinar la relación que existe entre el grado de maduración y la actividad respiratoria en tuna y palta, como método para la determinación del momento de cosecha de forma no destructiva.
- Registrar la producción de CO₂ y consumo de O₂ para tuna y palta en su maduración organoléptica, fisiológica y senescencia que les caracterice su tasa respiratoria.
- Verificar el efecto del tratamiento postcosecha (recubrimientos comestibles) en la intensidad respiratoria de tuna y palta.

CAPÍTULO II

MARCO TEÓRICO

2.1 DESCRIPCIÓN Y DESARROLLO DE LA PALTA Hass

El fruto de palta variedad Hass es de forma oval y asimétrico, con un peso promedio que fluctúa entre 180 y 280 g, el cual alcanza su maduración con un porcentaje de aceite que varía entre un 22 a 23%. La semilla es pequeña, esférica y adherida a la pulpa. La piel es inicialmente de color verde y después al madurar cambia a negro, es gruesa y rugosa (Calabrese, 2009).

Gil (2004), indica que el estado de completo desarrollo de un órgano producido para ser consumido, tiene que referirse a ese propósito práctico, distinguiendo dos tipos de madurez:

- 1) **Madurez fisiológica o de cosecha:** En fruticultura se aplica la definición a aquel estado del desarrollo de la fruta en el cual la pulpa adquiere una composición tal que permita su consumo con agrado, mientras está en la planta o que potencialmente lo puede permitir después de la cosecha.

2) **Madurez de consumo:** Es el estado en el cual la fruta ha desarrollado la composición como para ser consumida con agrado, lo que puede suceder en la planta en algunas especies, o después de cosecha, en otras (Saltveit, 2004).

En algunas especies el proceso de maduración es uno solo y, por lo tanto, la madurez de cosecha es equivalente a la de consumo; en ellas, la calidad de consumo existe al momento de la cosecha y lo que sucede después es deterioro (uva). Moggia (2009) señala que otras especies muestran dos procesos separados y consecutivos, primero se logra la madurez de cosecha en la planta y luego la de consumo solamente ocurre después de la cosecha (palta) o preferentemente después de cosecha (algunas peras). Según Aharoni (2004) un tercer grupo también tiene dos procesos consecutivos, los que pueden ocurrir en la planta, pero que por decisiones de manejo y mercadeo se separan (durazno manzana). Estos patrones de maduración están estrechamente asociados con los patrones de respiración.

Una de las características más sobresalientes de la palta, es que no se ablanda en el árbol, sino que lo hace solamente después de su recolección (Álvarez, 1994 y Barreiro & Ruiz, 2000).

Según Calabrese (2009) la palta para ser consumida debe ser cosechada con un cierto desarrollo, para adquirir las características comestibles de sabor y blandura, si se cosechan antes de ese estado el ablandamiento posterior es parcial, por pérdida de turgencia y el sabor desarrollado es insuficiente.

La maduración durante la última etapa del crecimiento del fruto, cuando baja la tasa, se caracteriza por la acumulación de aceite triglicéridos y materia seca, con

disminución de agua; el mayor incremento es el ácido oleico principal constituyente (12-14%). El almidón cae desde 12 mg/g hasta casi desaparecer Olaeta & Undurraga (2003). Los azúcares componen la mayor parte de la biomasa de la palta con un nivel máximo previo a la iniciación de la maduración, corresponde a manohéptulosa y perseitol, en más de 50% y a glucosa y fructosa el resto, los cuales disminuyen al mismo tiempo que aumenta el aceite (Davenport & Ellis, 2004). La glucosa y la fructosa disminuyen desde poco más de 2% en el momento del término de la tasa alta de crecimiento hasta menos de 1%, en la fruta cosechada en la que hay también, 0.64% - 2.5% de D_manoheptulosa y perseitol respectivamente (Cowan, 2004).

2.2 ÍNDICE DE COSECHA

Aun cuando el porcentaje de aceite resulta ser el mejor indicador de la madurez de la palta, las técnicas para determinarlo son caras y engorrosas. Por lo anterior y como señala, la medición en forma directa del contenido de aceite ha sido reemplazada por una indirecta, como la determinación del porcentaje en peso seco (Gil, 2004).

El contenido de aceite es posible estimarlo a través de la humedad, debido a que existe una gran correlación entre estas dos variables, que está ampliamente demostrado, y tiene un comportamiento inversamente proporcional, ya que a medida que se incrementa el contenido de aceite se produce una disminución del contenido de humedad. Según Esteban (1993), esta correlación inversa entre el contenido de aceite y humedad, es posible expresarla a través de una Ecuación de Regresión Simple (Cuadro 1).

Cuadro 1. Ecuaciones de regresión lineal simple usadas para determinar el porcentaje de aceite a través del porcentaje de humedad, para las variedades de palta Negra de la Cruz, Bacon, Edranol y Hass.

Variedad	Ecuación de regresión simple	(R ²)
Negra de la Cruz	Y=106.4617-1.1592*X	0.97
Bacon	Y=112.9297-1.3133*X	0.95
Edranol	Y=83.1686-0.9495*X	0.98
Hass	Y=53.4838-0.5767*X	0.98

Fuente: (Esteban, 1993)

Y= Porcentaje de aceite X= Porcentaje de humedad

Según Martínez (1994), el cultivar Hass, presenta un sabor agradable con cosechas con niveles de aceite de un 11 por ciento y de materia seca de un 26 %. Los mejores sabores se logran con cosechas realizadas, con niveles de aceite de un 15 % y materia seca de un 32 %.

Olaeta, Undurraga, & Schwartz (1999), determinaron que durante la formación del fruto existen variaciones entre el contenido de aceite y el porcentaje de humedad, siendo en un comienzo relativamente alto el porcentaje de humedad y bajo el aceite. Sin embargo, de un año a otro, los valores, aunque mantienen una cierta proporcionalidad entre ellos, dada por la forma de medición, varían en forma visible. Así en el mes de agosto de 1996, cuando la palta 'Fuerte' estaba en su momento óptimo de palatabilidad, tenía un valor de 72.6% de humedad y uno de 16% de aceite (Figura 1).

Esta proporción es aproximadamente el doble de la que se observó en el mismo mes de agosto de 1997, fecha en que el nivel de humedad era de 78.75% y el de aceite de solo un 9.5%. Esta situación podría ser atribuida a que hasta el mes

de agosto de 1996 se vivieron períodos de sequía importante, con baja pluviometría, lo que habría dado un menor porcentaje de humedad con un consiguiente adelanto en obtener el porcentaje de aceite y además con una mayor concentración de este último (Moggia, 2009).

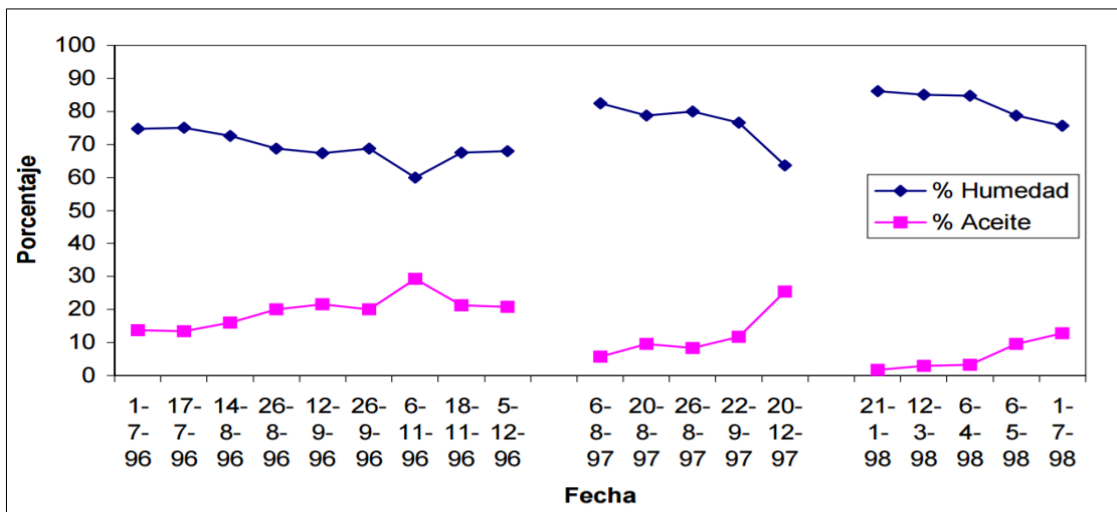


Figura 1. Evolución del porcentaje de aceite y humedad durante 3 años en paltas variedad Fuerte

Fuente: (Olaeta, Undurraga, & Schwartz, 1999)

2.3 RESPIRACIÓN

La palta presenta una fisiología característica, su respiración en un momento determinado alcanza un pico, luego comienza a producirse la maduración y senescencia, debido a este proceso se habla de que es un fruto climatérico con gran tasa de respiración en el clímax (**Cuadro 2**), que precede al ablandamiento y la maduración de consumo (Blanke, 2004). El substrato de la respiración está compuesto por hidratos de carbono provenientes del almidón, pues el cociente respiratorio es alrededor de 1 (Blanke, 2004), en concordancia con la actividad de la α - y la β -amilasa, aunque alguna pérdida de aceite ocurre por oxidación β . Los sólidos solubles totales, especialmente los azúcares C, (*mannohexitulosa* y

perseitol), disminuyen sustancialmente con el aumento de la respiración (Arpaia, 1998).

Cuadro 2. Respiración climática de palta Fuerte con respecto a la temperatura

Temperatura (°C)	5°	7.5°	10°	15°	20°	25°	30°
ml CO ₂ /kg/h (Clímax)	4	20	38	74	113	180	115
Respiración relativa	2	11	21	41	63	100	64
Inicio climaterio DDC	-	12	10	7	6	3	3?
Clímax DDC	-	22	17	13	10	8	4?

Fuente: (Gil, 2004)

DDC: Días después de cosecha

2.4 DESCRIPCIÓN Y DESARROLLO DE LA TUNA

La tuna al igual que otras cactáceas tiene la peculiaridad de bajas necesidades de agua y, por lo tanto, una alta eficiencia en el aprovechamiento de ésta, lo que les permite vivir en condiciones áridas y semiáridas. Esta característica de eficiencia del agua se lo da su metabolismo ácido de las crasuláceas, donde las estomas se abren de noche capturan el dióxido de carbono cuando la traspiración es baja (Gurrieri et al., 2000).

La tuna es una fruta carnosa (67 a 216 g de peso total) que varía en forma tamaño y color dependiendo de la variedad, y tiene la característica de poseer una gran cantidad de semillas, un alto contenido de carbohidratos y una baja acidez lo que le proporciona un sabor dulce agradable (Cantwell, 2005). De manera general, está constituida por una cáscara gruesa y una pulpa jugosa. La cáscara, pulpa y semilla constituyen alrededor del 33 al 50%, 45 al 57 y del 2 al 10% del peso total del fruto, respectivamente (Ochoa & Guerrero, 2010). Durante el desarrollo de la tuna el contenido de pulpa se va incrementando, mientras que

la cáscara se va haciendo más delgada restándole protección, pero ayudando al manejo postcosecha del fruto (Ochoa & Guerrero, 2010).

Según Amaya (2009), precisa que el estudio de los procesos relacionados con el desarrollo de los frutos es de gran importancia para establecer los índices de madurez y adecuación de las estrategias de cosecha, como también para establecer técnicas adecuadas de conservación post cosecha, capaces de aumentar la vida útil, orientada a un mejor aprovechamiento del potencial de comercialización de fruto. La madurez fisiológica corresponde al momento en que el fruto acumula la mayor parte de las reservas (Amaya, 2009). El conocimiento de los estadios de madurez es importante para planificar la cosecha, siendo el contenido de azúcares un indicador de madurez y como factores más influyen el clima en la acumulación de azúcares (Amaya, 2009).

El ciclo de desarrollo de los frutos de tuna se da a partir del inicio de floración en la planta hasta la completa maduración del fruto y el punto máximo de desarrollo y la madurez fisiológica de los frutos se obtiene 80 días después de la antesis,

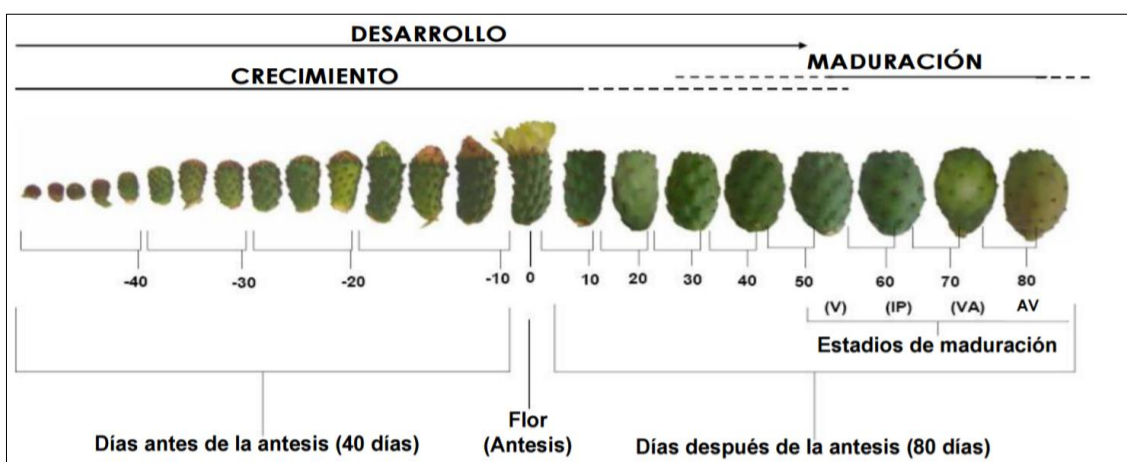


Figura 2. Evolución del desarrollo y maduración de frutos de tuna (*Opuntia ficus-indica*) antes de la antesis.

Fuente: (Amaya, 2009)

Estadios de maduración: V (fruto verde), IP (inicio de pigmentación amarillo); VA (verde amarillo); AV (amarillo verde).

2.5 ÍNDICE DE COSECHA PARA TUNA

El estado de madurez al momento de la cosecha es uno de los principales factores que determinan su calidad, por lo que los frutos deberán cosecharse preferentemente cuando hayan terminado de crecer y de acumular suficientes azúcares (contenido mínimo 11 °Brix), ácido ascórbico y disminución de la firmeza y la acidez (Corrales, 2010).

Para determinar el punto óptimo de corte siempre es recomendable la ayuda de parámetros o índices de cosecha. Al respecto, Cantwell (1995) recomienda el uso de algunos índices externos de madurez para la cosecha de tuna, tales como: 1) tamaño y llenado del fruto; 2) cambios de color de la cáscara; 3) abscisión de gloquídeas o aguates; 4) firmeza del fruto; 5) grado de aplanamiento o profundidad de la cavidad o receptáculo floral. Al respecto Kader (2013) recomienda los siguientes índices de calidad:

- Uniformidad e intensidad de color característico para cada cultivar (verde pálido, amarillo, anaranjado, rojo, o purpura).
- Tamaño de la fruta.
- Ausencia de defectos y pudriciones.
- Hay diferencias significativas entre cultivares en sólidos solubles totales (12-17%), acidez titulable (0.03-0.12%), pH (6.0-6.6), y contenido de ácido ascórbico (20-40 mg/100 g. peso fresco).

Las tunas se han caracterizado como frutos no climatéricos (Lakshminaraya & Estrella, 1990) y Cantwell (2005) debido, entre otras cosas, a que durante su desarrollo no acumulan almidón como carbohidrato de reserva, además, de

acuerdo con Tucker (1993), éstos no presentan un incremento importante de azúcares en postcosecha.

2.6 RESPIRACIÓN DE LA TUNA

Según Corrales & Hernández (2005), la tuna presenta típicamente un patrón respiratorio no climatérico.

Con una baja tasa de respiración [15-20 ml CO₂/kg·h a 0°C (68°F)]. Para calcular el calor producido, multiplique ml CO₂/kg·h por 440 para obtener BTU/ton/día o por 122 para obtener kcal/tn métrico/día (Kader, 1997).

2.7 MANEJO POSTCOSECHA DE LA TUNA

Se estima que cerca del 25-80% de la producción se pierde en postcosecha debido a un manejo y manipulación defectuosa (Cantwell, 2005; Corrales & Hernández, 2005). Al igual que otras frutas, la tuna presenta un elevado carácter perecedero, presentando manchas y podredumbres a escasos 9 días tras su recolección y a 20 días después de su cosecha se ha perdido del 70 al 80% de la producción (Cantwell, 2005; Corrales & Hernández, 2005). Adicionalmente se presenta el problema debido a la estacionalidad de la producción, afectándose con ello la rentabilidad de los sistemas de producción (Olaeta & Schwartz, 1999).

A continuación se presentan de manera resumida las etapas del manejo poscosecha de la tuna (Ochoa & Guerrero, 2010).

➤ Recolección

La recolección de la tuna se realiza generalmente de dos maneras manuales, la primera es comúnmente llamada al torzón donde la tuna se gira y se trocea, mientras que la segunda forma es con cuchillo tratando de cortar una parte del nopal para evitar el daño a la tuna (Amaya, 2009).

➤ Transporte y recepción

Una vez cortados los frutos, estos son depositados en cajas de plástico o madera, para ser transportados hasta la empacadora en donde continúa el acondicionamiento de los frutos (Corrales & Hernandez, 2005).

➤ Desespinado

La tuna no se puede comercializar de forma normal sin antes haber pasado por el desespinado, en donde se elimina las espinas o gloquideos de las tunas. Actualmente, el desespinado se hace de dos formas, la primera en forma mecánica, donde las tunas se hacen pasar por unas bandas transportadoras que contienen rodillos con cerdas de plástico, que eliminan las espinas, la segunda forma es por medio de escobas donde las personas limpian (barrido) las tunas eliminando las espinas. (Wills et al., 1999).

➤ Selección

La tuna se selecciona por calidad y tamaño. Posterior a la limpieza, las tunas caen a una banda transportadora la cual esta provista de una

serie de subdivisiones que se utilizan para separar los frutos seleccionados en base a su tamaño (Corrales & Hernández, 2005).

➤ Empaque

La finalidad de empacar la tuna es proporcionar al producto las condiciones adecuadas para que durante el transporte al centro de comercialización no se dañe, facilitar su manipulación y darle una presentación atractiva que motive su compra y consumo (Wills *et al.*, 1999).

2.8 METODOLOGÍA PARA CUANTIFICAR LA ACTIVIDAD RESPIRATORIA

2.8.1 Métodos Estáticos

Se coloca el producto en un contenedor hermético cerrado y se determina la disminución en los niveles de O₂ o el aumento en la concentración de CO₂ o la concentración de ambos gases después de un tiempo determinado se toma muestras de la atmósfera encerrada en el contenedor (**Figura 3A**) (Kays, 1991). En este sistema cerrado, se debe tener cuidado de no dejar el producto encerrado por más de 1-2 horas, ya que la disminución excesiva de los niveles de O₂ y la alta acumulación de los niveles de CO₂ afectarán subsecuentemente la tasa de respiración. No se recomienda permitir una acumulación de CO₂ mayor o igual al 0.5% (Kays, 1991). Presentándose, la siguiente ecuación:

$$\text{ml de CO}_2 \text{ kg. h} = \frac{(4\% \text{CO}_2 \times 10) \times (\text{vol. espacio libre del contenedor en L})}{(\text{peso fresco de producto en kg}) \times (\text{tiempo de cerrado en contenedor en horas})} \quad \text{ec. (1)}$$

2.8.2 Métodos Dinámicos

Emplea un flujo continuo de aire de composición conocida que fluye a través del contenedor en el que está encerrado el producto (**Figura 3B**) (Kays, 1991). En el momento, en que se colocan los productos en el contenedor se exponen al aire durante una hora, se conecta la manguera de entrada (parte superior del contenedor) en la fuente de aire y se ajusta el flujo de aire a 450-500 ml/min para el caso de los frutos climatéricos y a 300-400 ml/min para los no climatéricos (Kays, 1991). Un flujo de aire excesivo proporciona diferencias extremadamente bajas entre los gases entrantes y salientes del contenedor, resultando muy difícil cuantificar con un nivel aceptable de precisión (Kays, 1991). Cuando los flujos de aire son muy lentos, entonces ocurre una acumulación inapropiada de CO₂ o la disminución inadecuada de O₂, lo cual también afecta los cálculos de la tasa de respiración. Por otro lado, se debe permitir suficiente tiempo al sistema para alcanzar un equilibrio (momento en el que dos determinaciones sucesivas no cambien) (Kays, 1991).

Para fines de cálculos se debe conocer la velocidad de flujo a través del contenedor y el peso del producto, además de la diferencia en la concentración de O₂ y CO₂ de entrada y salida del contenedor (Kays, 1991), presentándose, la siguiente ecuación:

$$\text{ml de CO}_2/\text{kg.hr} = \frac{(\Delta\%CO_2 \times 10) (\text{velocidad de flujo del aire en } \frac{\text{mL}}{\text{min}} \times 60)}{(1000)(\text{peso fresco del producto en kg})} \quad \text{ec. (2)}$$

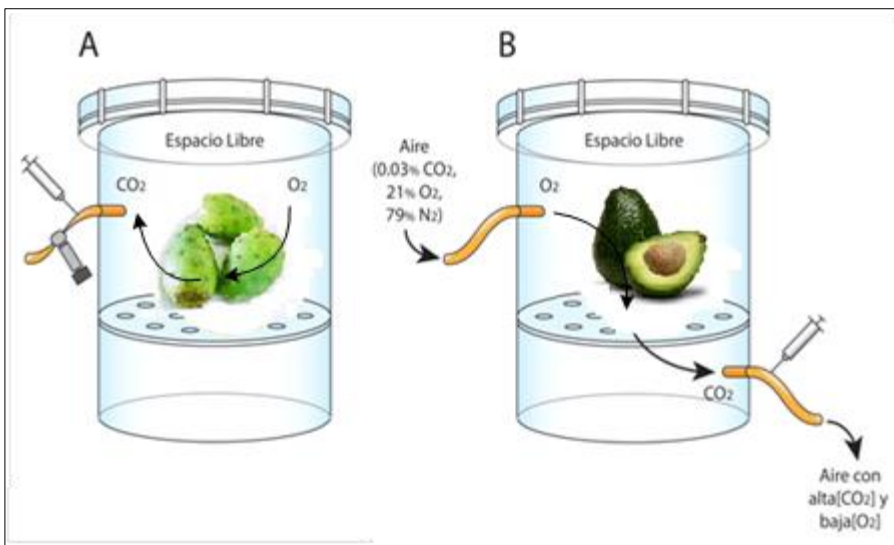


Figura 3. Sistema estático (A) y sistema dinámico (B) para colectar las muestras de gases de los frutos.

Fuente: (Kays, 1991)

2.9 INTENSIDAD RESPIRATORIA (TASA RESPIRATORIA)

La velocidad a que transcurre la respiración de un producto constituye un índice de la actividad metabólica de sus tejidos y una guía útil de su vida comercial (Parra, 2007). Una tasa elevada de respiración va asociada con una corta vida en almacenamiento; además indica la tasa a la cual el fruto se está deteriorando en calidad y valor alimenticio. La intensidad respiratoria (I.R.), es la cantidad de C₀₂ producida (mg ó ml) en el proceso respiratorio por unidad de peso de producto fresco y por unidad de tiempo, es decir: IR = mgC₀₂ kg.h o IR = mlC₀₂ kg.h (Parra, 2007).

2.9.1 Tasa inicial de respiración

Se define en el día inmediatamente posterior a la cosecha. No es representativo de la I.R., ya que el producto se está acondicionando a su nuevo ambiente y empieza a consumir los sustratos de reserva. Depende de producto y la temperatura (Kader, 2013).

2.1.1 Tasa promedio de respiración

Prevalece durante los días posteriores en almacenamiento. Se determina haciendo el promedio aritmético de las I.R. diarias durante un período determinado de tiempo y a una temperatura que se mantiene constante (Parra, 2007).

2.1.2 Tendencia Respiratoria

Es el cambio que ocurre con el tiempo, en la intensidad respiratoria de un producto dependiendo de la tendencia respiratoria, los productos agrícolas se clasifican en productos climatéricos y en productos no-climatéricos (Parra, 2007).

2.10 INSTRUMENTACIÓN DE LA CALIDAD EN FRUTAS Y HORTALIZAS

FRESCAS

Existe en la actualidad una gran diversidad de instrumentos que aportan información relevante en relación con la calidad de frutas y hortalizas frescas: color, textura, sabor, aroma y estado fisiológico general (Barreiro & Ruiz, 2000). La selección de los equipos debe efectuarse tanto en función de los aspectos cualitativos a evaluar, como en función de restricciones de uso y presupuesto (Barreiro & Ruiz, 2000). El hombre, con su continua búsqueda de bienestar

consigue que sistemas y equipos de medición y control muy elaborados efectúen todas aquellas labores rutinarias o peligrosas que no son explícitamente propias del hombre (Barreiro & Ruiz, 2000).

2.11 SENSORES DE GAS CATALÍTICOS vs NDIR

El diseño de un sistema de monitoreo de gases o aplicaciones similares es importante saber decidir entre un sensor de gas de tecnología catalítica o infrarroja (Burket Contromatic S.A., 2015). Ambas tecnologías, presentan ventajas en función de los requisitos de la aplicación final. Se requiere de un análisis exhaustivo del entorno de trabajo para asegurar un rendimiento óptimo, seguridad, fiabilidad a un costo accesible (Burket Contromatic S.A., 2015). Los sensores catalíticos están formados por dos elementos: un elemento detector (D), que contiene una material catalizador y es sensible a los gases combustibles, y un elemento compensador (C), que no reacciona a los gases combustibles. Estos gases, solamente quemarán en el elemento detector, provocando un aumento de temperatura del mismo y el consecuente aumento en el valor de su resistencia. Normalmente, se forma un puente de Wheatstone con ambos elementos (**Figura 4**). Se ajusta una resistencia variable (VR) para mantener el equilibrio del puente en condiciones de aire limpio, sin presencia de gases combustibles. Al detectarse estos gases, solamente la resistencia del elemento detector aumenta su valor, desequilibrando así el puente de Wheatstone y generando así un voltaje medible en la señal de salida (Vout) (Burket Contromatic S.A., 2015). El voltage de salida es directamente proporcional a la concentración de gases presentes.

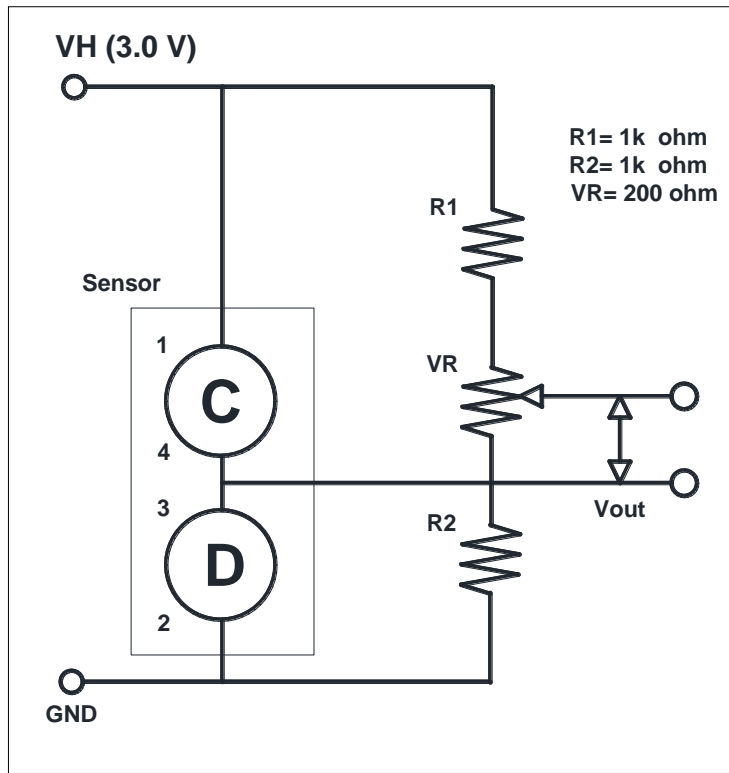


Figura 4. Principio de funcionamiento del sensor catalitico. Puente de wheatstone.

Fuente: (Burket Contromatic S.A., 2015)

Al respecto CO₂Meter (2017), establecen el principio de funcionamiento del sensor por infrarrojo NDIR (Non Dispersive-Infrared Detector) se basa en el hecho de que los gases absorben energía de la luz a una longitud de onda determinada, habitualmente en el rango de infrarrojos. Los elementos de este tipo de sensores son un emisor de infrarrojo, una cámara de muestreo, un filtro de longitud de onda y un detector de infrarrojo, (**Figura 5**) en donde la luz infrarroja se dirige a través de la cámara de muestreo hacia el detector de infrarrojos (CO₂Meter, 2017). El detector tiene un filtro óptico que solo permite el paso de la luz a la longitud de onda determinada y que corresponde con la longitud de onda que las moléculas del gas seleccionado son capaces de absorber (CO₂Meter, 2017). Las moléculas de otros gases no pueden absorber

la luz a esta longitud de onda, así que su presencia no afecta al funcionamiento del sensor. La intensidad de luz infrarroja que llega al detector es inversamente proporcional a la concentración del gas objetivo en la cámara de muestreo, cuando la concentración en la cámara es cero, el detector recibe toda la intensidad de la luz (CO₂Meter, 2017). A medida que aumenta la concentración del gas, la intensidad de luz infrarroja que llega al detector va disminuyendo. La ley de Beer-Lambert (CO₂Meter, 2017).

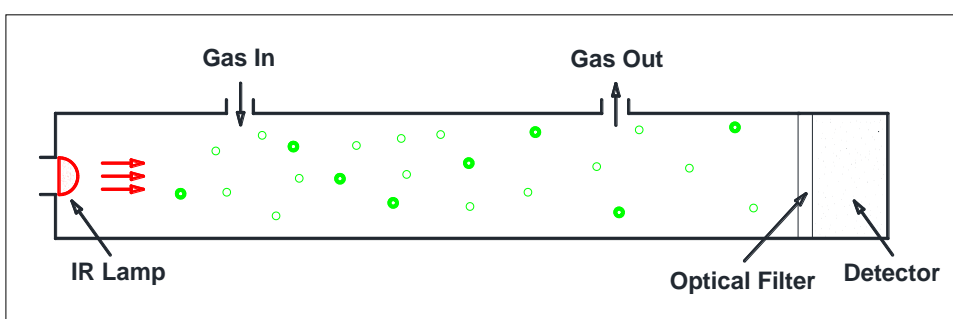


Figura 5. Representación esquemática del sensor infrarrojo no dispersivo NDIR (Non Dispersive Infrared Detector)

Fuente: (CO₂meter, 2016)

2.12 CONSIDERACIONES PARA ESTABLECER LA METODOLOGÍA PARA MEDIR ACTIVIDAD RESPIRATORIA

En general, la actividad respiratoria es específica en intensidad según la especie de que se trate e incluso dentro de cultivares similares, según Ortúñoz, & Del Rio (2015), los factores internos que afectan la actividad respiratoria son:

- **El estado de desarrollo.** Los frutos se caracterizan por exhibir una alta actividad respiratoria en estados jóvenes que disminuye en estados posteriores, con la excepción de los frutos climatéricos, que al madurar, presentan un resurgimiento de la respiración.

- **Composición química de los tejidos.** La relación entre la actividad respiratoria y la composición química varía según el sustrato (carbohidratos, lípidos, proteínas y ácidos orgánicos) empleado en el proceso respiratorio del producto que se considera, esto es, el cociente respiratorio (CR).
- **Tamaño del producto.** Los frutos chicos por unidad de peso o volumen presentan mayor superficie expuesta a la atmósfera y, por lo tanto, la actividad respiratoria es mayor.

2.13 FACTORES EXTERNOS QUE INFLUYEN SOBRE EL CLIMATERIO

RESPIRATORIO

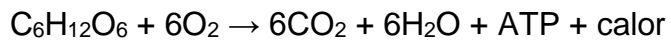
Magaña *et al.* (2004), consideran los siguientes factores externos:

- **Temperatura.** Este factor tiene un efecto directo en la velocidad de la actividad respiratoria: a mayor temperatura, mayor actividad respiratoria, lo que acelera el proceso de maduración. En el caso particular de los frutos climatéricos, las temperaturas superiores a 30-35°C o inferiores a las recomendadas para el almacenamiento refrigerado, pueden suprimir el climaterio respiratorio. Así también, en este tipo de frutas, a medida que la temperatura de almacenamiento disminuye desde alrededor de 25°C, la duración del aumento climático se prolonga y se abate la tasa de respiración en el pico climático.
- **Composición atmosférica.** Las concentraciones del oxígeno y del dióxido de carbono ambientales modifican la velocidad de la actividad respiratoria, esto es, si los niveles de oxígeno son más bajos (<21%) y los de dióxido de

carbono más altos ($>0.03\%$) que los del aire, entonces la respiración se reduce y consecuentemente se prolonga la vida de almacenamiento. Si se rebasan los niveles recomendados se manifiestan daños metabólicos. En el caso de los frutos climatéricos, las bajas concentraciones de O₂ (3-5%) y altas concentraciones de CO₂ (hasta aproximadamente el 10%) pueden prolongar el tiempo en alcanzar el pico climatérico, extendiendo así su vida de almacenamiento.

- **Etileno.** Estimula la respiración de tejidos y órganos vegetales. Sin embargo, esta respuesta difiere entre los tipos de frutos climatéricos y no climatéricos, así, la exposición de frutos climatéricos a concentraciones fisiológicas de etileno (0.01-0.1 ppm o $\mu\text{L/L}$) acorta el tiempo en que ocurre el climaterio estimulando la maduración sin un efecto sustancial en la intensidad respiratoria. Una vez que se ha iniciado la maduración, la remoción del etileno no tiene ya efecto sobre el patrón respiratorio, subsecuente ya que cuentan con el sistema I y II de síntesis auto catalítica de etileno. En el caso de los frutos no climatéricos, la respiración es estimulada por el etileno de manera proporcional a la concentración aplicada; sin embargo, al retirar el etileno la tasa de actividad respiratoria regresa al valor base encontrado antes de dicho tratamiento ya que sólo cuentan con el sistema I de síntesis de etileno.
- **Daños mecánicos y microorganismos.** Provocan un aumento en la actividad respiratoria. La intensidad de la respuesta depende en gran parte de la severidad de los daños y de la variedad de los frutos (probablemente debida también al desencadenamiento de la producción de etileno).

Teóricamente, los cambios en cualquiera de los productos resultantes de la respiración se pueden usar como medida de este proceso.



En vista de que las reacciones involucradas en la respiración se llevan a cabo en un medio acuoso, la pequeña cantidad de agua producida en relación con el volumen total de agua presente en el tejido no se puede medir exactamente. La producción de energía ya sea atrapada químicamente o liberada en forma de calor, es también difícil de medir con exactitud, aunque existen métodos para determinarla (medidas calorimétricas y rayos infrarrojos). Como consecuencia, la utilización de O_2 o la producción de CO_2 se usan casi invariablemente para monitorear la respiración.



CAPÍTULO III

METODOLOGÍA

3.1 LUGAR DE EJECUCIÓN

El trabajo de investigación se realizó en el Laboratorio de Tecnología de Alimentos y Taller Electro Mecánico Holger K. Hansen de la Facultad de Ingeniería Química y Metalurgia de la Universidad Nacional de San Cristóbal de Huamanga, ubicada en el departamento de Ayacucho, Perú (latitud 13°09` Sur y longitud 74°13` Oeste). La fruta utilizada para los diferentes ensayos se obtuvo de la Estación Experimental Agraria “CANAAN” (ubicada en Huanta-Huanchacc Km -2+600).

3.2 MATERIAL EXPERIMENTAL

3.2.1 Palta

La palta (*Persea americana*) variedad Hass estudiada proviene de Huanchacc (2380 msnm) ubicada a 8 Km de la ciudad de Huanta (Ayacucho), donde existe un bosque natural de palta, aproximadamente

de 25 ha con una gran variabilidad genética, considerada como una zona potencial de producción de esta especie.

3.2.2 Tuna

La tuna (*Opuntia ficus-indica*), se obtuvo de la Estación Experimental Agraria Canaán, ubicada en el área mayor N° 13, correspondiente al grupo de transición desértica sub – tropical que cuenta con un banco nacional de germoplasma que alberga 179 plantas provenientes de diversas ciudades del país, de las que se seleccionó el biotipo (PT1-167) debido a su color, rendimiento, tamaño de fruto, sabor dulce y tolerancia a las enfermedades, las imágenes se reportan en el (Anexo 1).

3.3 EQUIPOS Y MATERIALES

3.3.1 Equipos

- ✓ Sistema automatizado de monitoreo y control de CO₂
- ✓ Extractor Soxhlet 250 ml.
- ✓ Anemómetro Air Flow Anemometer Benetech GM 8902
- ✓ Refractómetro Digital de mano ATAGO modelo PAL ganó
- ✓ Penetrómetro digital KOEHLER, modelo K95590 con penetrador tipo aguja
- ✓ Sensor de CO₂ K-33 ICB
- ✓ Bomba (3,5 a 5 V)

3.3.2 Materiales

- ✓ Filtro hidrofóbico (0.22 micrón)
- ✓ Filtro de partículas (150 micrón)
- ✓ Manguera translúcida de silicona atóxica, con propiedades aislantes y antiadherentes.

3.3.3 Software

- ✓ Microsoft Excel XP
- ✓ Software Statgraphics Plus® 5.1.
- ✓ SAS para Windows versión 9.4
- ✓ Software Gaslab v2.0.8.14

3.4 METODOLOGÍA DEL SISTEMA DE MONITOREO Y CONTROL DEL CO₂

Para Implementar el sistema automatizado de monitoreo y control de la tasa respiratoria, y su evaluación en tuna y palta, se siguió paso a paso el diagrama de flujo mostrado en la (**Figura 6**), la descripción completa de los elementos conformantes del sistema de monitoreo y control de CO₂, se presenta en el (**Anexo 2**).

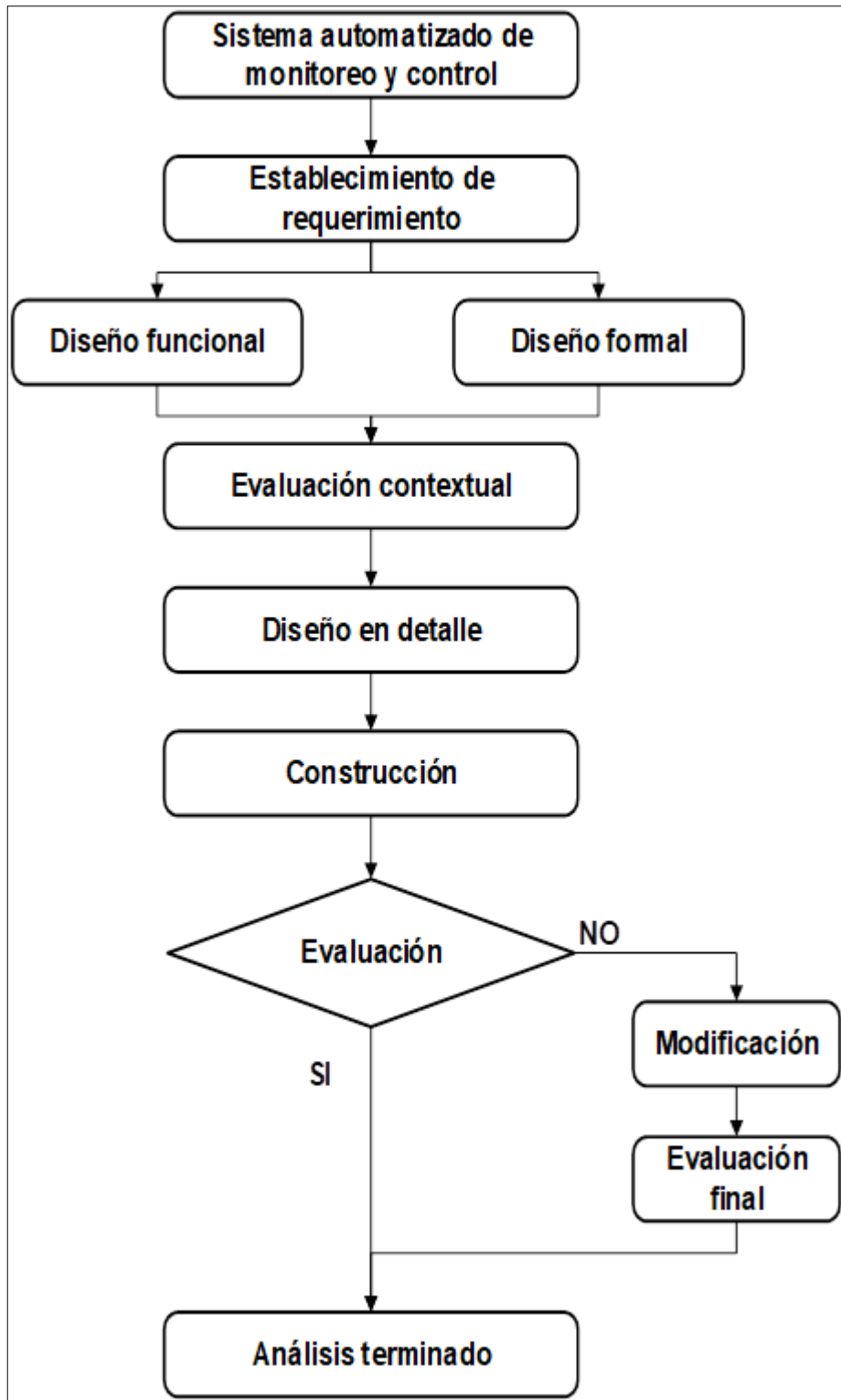


Figura 6. Diagrama de flujo experimental del sistema de monitoreo y control de CO₂

Fuente: Adaptado de (Kader, 1997 y Vilchis, 2002).

3.5 DESCRIPCIÓN DE LAS ETAPAS DEL FLUJO EXPERIMENTAL DEL SISTEMA DE MONITOREO Y CONTROL DE CO₂

3.5.1 Requerimientos generales del sensor

- ✓ Rango de temperatura de almacenamiento: -40 a +70 °C.
- ✓ Entorno de almacenamiento: Entorno no condensante, no corrosivo.
- ✓ Autodiagnóstico: verificación de función completa del módulo del sensor.
- ✓ Rango de temperatura de operación: 0º a 50º C.
- ✓ Rango de humedad de operación: 0 a 95^a HR (no condensante).
- ✓ Entorno de operación: aplicaciones encerradas tales como las incubadoras.
- ✓ Método de medición: Difusión.
- ✓ Tiempo de respuesta (T_{1/e}): Tiempo de difusión 20 seg.
- ✓ Periodo de medición: intervalos de 10 min a 0.5 años.
- ✓ Rango de medición: 0 – 30%.
- ✓ Repetibilidad: ± 0.1 %vol. CO₂ ± 2% del valor medio.
- ✓ Precisión: ± 0.1 %vol. CO₂ ± 2% del valor medio.
- ✓ Entrada de voltaje: calificación máxima 4.5-12 VCC.

3.5.2 Diseño funcional

Se utiliza este diseño para darle sentido a la operatividad y objetivo del sistema de monitoreo y control de la tasa respiratoria, el cual debe resultar (directa o indirectamente) satisfacción a las necesidades de su uso final, en el (**Anexo 2**) se describe con claridad y precisión la funcionalidad de cada uno de los componentes conformantes del sistema, dado que es parte de las especificaciones del sistema (Ormachea, 2007).

3.5.3 Diseño formal

Es el proceso previo de configuración mental en la búsqueda de soluciones, en base al conocimiento, industria, ingeniería, arquitectura y otras disciplinas creativas (Vilchis, 2002)

El proceso previo se muestra en el esquema mostrado en el (**Anexo 2, Figura 11**).

3.5.4 Evaluación contextual y diseño en detalle

En cumplimiento de los requerimientos generales del sensor de CO₂ y en contexto, con el material experimental tuna y palta Hass, se establece el diseño en detalle, del sistema automatizado de monitoreo y control de la tasa respiratoria (**Anexo 2, Figura 12**).

3.5.5 Evaluación del sistema

En el (**Anexo 3**), se muestra la evaluación del sistema de monitoreo y control de la tasa respiratoria sin muestra, a diferencia de la operación del sistema con muestras de tuna.

Para cotejar si el sistema logra percibir diferencias en el monitoreo y control de CO₂ se evaluó dos tratamientos para palta y tuna (con recubrimiento comestible y sin recubrimiento) Cuadro 3. La preparación de las formulaciones formadoras de recubrimiento (FFRs) tuvo como matriz soporte, soluciones acuosas de mucílago de chía y glicerol (MG) en relación de 1:1 p/p y una emulsión hidrofobia compuesto por cera de abeja y ácido oleico (EC) en relación de 1:1 p/p. Las FFRs fueron homogenizadas en un agitador magnético sometiéndolas a un tratamiento térmico de 90 °C a 1000 rpm por 30 minutos (Velásquez & Roque, 2015).

3.6 METODOLOGÍA EXPERIMENTAL

Para determinar el tiempo de cosecha de forma no destructiva en paltas y tuna con el sistema de monitoreo y control, se utilizó la estructura expuesta en el Cuadro 3, los datos fueron analizados siguiendo los lineamientos del Diseño Completo al Azar.

Cuadro 3. Estructura para el diseño experimental

Tratamiento postcosecha	CRC	SRC	CRC	SRC
Especie	Palta		Tuna	
Tasa respiratoria	Y ₁	Y ₂	Y ₃	Y ₄

Leyenda: CRC = Con Recubrimiento Comestible; SRC = Sin Recubrimiento Comestible; Y₁, Y₂, Y₃, Y₄ = Variables dependientes (CO₂) ppm

Para fines de cálculo se consideró la velocidad de flujo a través del cámara de respiración y el peso de la fruta, además de la diferencia en la concentración de CO₂ en la cámara con la siguiente ecuación:



$$\text{ml de CO}_2/\text{kg.hr} = \frac{(\Delta\%CO_2 \times 10) (\text{velocidad de flujo del aire en } \frac{\text{mL}}{\text{min}} \times 60)}{(1000)(\text{peso fresco del producto en kg})} \quad \text{ec. (2)}$$

Fuente: Adaptado de (Kays, 1991),

Las variables que corresponden a la presente investigación son:

3.6.1 Variables independientes:

Tratamiento Postcosecha

CRC : Con Recubrimiento Comestible

SRC : Sin Recubrimiento Comestible

Especie

Palta

Tuna

3.6.2 Variables dependientes

Tasa respiratoria (ml CO₂.kg.h)

CO₂ ppm

Aceite %

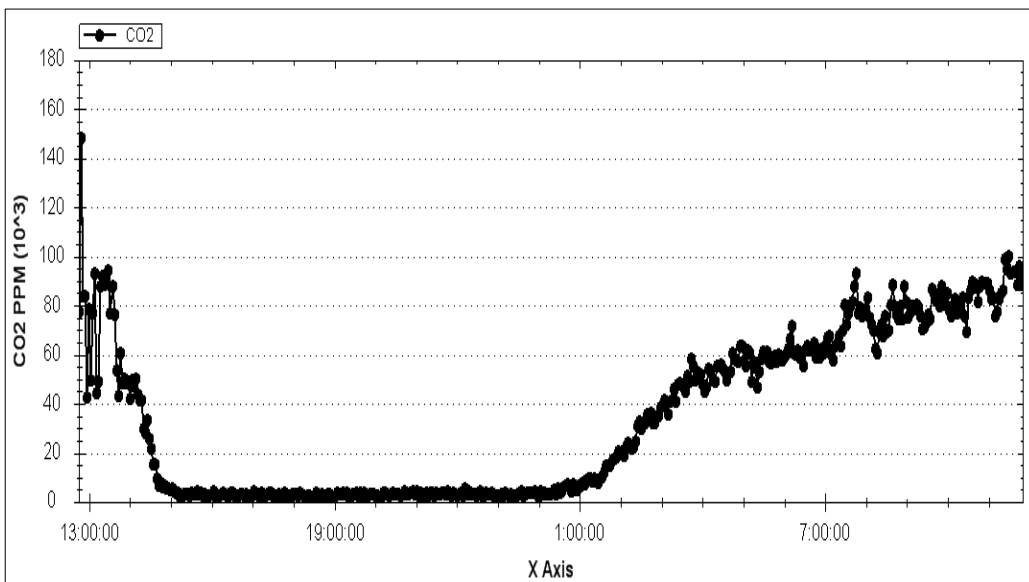
Solidos solubles ° Brix

CAPÍTULO IV

RESULTADOS Y DISCUSIÓN

4.1 RELACIÓN ENTRE EL GRADO DE MADURACIÓN Y LA ACTIVIDAD RESPIRATORIA EN PALTA HASS

Observando la (**Figura 7**) podemos mencionar que, el sistema de monitoreo realiza lecturas continuas, lo que nos permite visualizar de manera más clara, el cúmulo de gases que contienen el sistema, que desprende de la palta, además las lecturas se pueden cambiar en unidades representativas del gas (ppm) o (%). El sistema de monitoreo midió el CO₂ en tiempo real, además conforme se van haciendo las lecturas, se van guardando en un archivo en modo (CSV UTF-8 delimitado por comas), esto nos permitió examinar las lecturas en una hoja electrónica de cálculo, y para la corrección de la tasa de respiración, el dato de concentración de CO₂ se sustituyó en la ecuación 2.

**Figura 6.** Monitoreo y control de CO₂ en palta Hass en postcosecha

Los datos remplazados en la ecuación 1, pueden observarse en la (**Figura 8**), la palta Hass presentó una fisiología característica, su intensidad respiratoria a los 12 días de análisis incrementa visiblemente alcanzando el clímax-climatérico, a los 17 días culminando su madures organoléptica verificándose el post climaterio, iniciando así la senescencia celular de la palta Hass, Blanke, (2004) identifica a la palta como fruto climatérico con gran tasa de respiración en el clímax. Al respecto Gil (2004), reporta incrementos de actividad respiratoria empleando un sistema cerrado de medida de 3-5 veces (palta), 2-3 veces (pera, plátano, tomate). En la (**Figura 9**), se verifica la variación del % de aceite en contraste con el color de la cascara y pulpa, el cual nos da una idea clara sobre el normal proceso fisiológico que desarrolla la palta Hass, durante las 443 horas de evaluación (19 días), el Cociente respiratorio (CO₂ / O₂) fue de 0.97, al respecto Kays, (1997) sostiene que los cocientes respiratorios muy por debajo de 1 se obtienen cuando el fruto utiliza principalmente lípidos como sustrato para la respiración. Wills , McGlasson, Graham, & Joyce, (1999) indican que el ácido oleico C₁₈H₃₄O₂ tienen mucho menos átomos de oxígeno por átomo de carbono

que los azúcares y, por consiguiente, requiere más oxígeno para su conversión en CO₂. los datos completos se reportan en el (**Anexo 5**).



Figura 7. Intensidad respiratoria para palta Hass en postcosecha

A= Pre-climatérico, B= Clímax-climatérico, C= Pos-climatérico

DÍAS	CON RECUBRIMIENTO	SIN RECUBRIMIENTO	CON RECUBRIMIENTO	SIN RECUBRIMIENTO
1 (Madurez de cosecha 9.26% Aceite)				
4				
13				
17				
19 (Madurez de consumo)			 12.06 % aceite	 21.00% aceite
22				

Figura 8. Cambios visuales de la piel - pulpa en relación con el cambio del porcentaje de aceite

4.2 EFECTO DEL TRATAMIENTO POSTCOSECHA (RECUBRIMIENTO COMESTIBLE) EN LA INTENSIDAD RESPIRATORIA DE PALTA HASS

En la (**Figura 10**), se muestran los valores de producción de CO₂. En comparación a los resultados obtenidos en la primera serie (**Anexo 5**), se observan diferencias significativas. Las paltas con recubrimiento comestible recomendado por Velásquez & Roque (2015). Se verifica que recién a los 18 días de control y evaluación se intensifica su intensidad respiratoria formándose retardadamente el clímax climatérico (B), debido a que existe un efecto de barrera a los gases, manteniéndose la respiración y la pérdida de vapor de agua por la disminución de la permeabilidad de la piel de la palta. Miranda, Cardenas, Lopez, & Lara Sagahom (2003), concluyen indicando que las películas de polisacáridos pueden emplearse para extender la vida de anaquel de frutas, hortalizas, reduciendo su deshidratación y obscurecimiento superficial, además los polisacáridos pueden reducir los niveles internos de O₂ y elevar los de CO₂ permitiendo prolongar la vida de anaquel de los productos. Así mismo, Undurraga, Olaeta, & Olivares (2007) consiguieron prolongar hasta 40 días el ablandamiento de paltas Hass cosechados con 10% de aceite y tratados con (Carnauba 17,2% más Shellac 1,8% con 24% de sólidos totales, almacenados a 7°C ± 1°C, con 90 – 95% de humedad relativa frente al testigo que en 20 días logró su ablandamiento en las mismas condiciones.

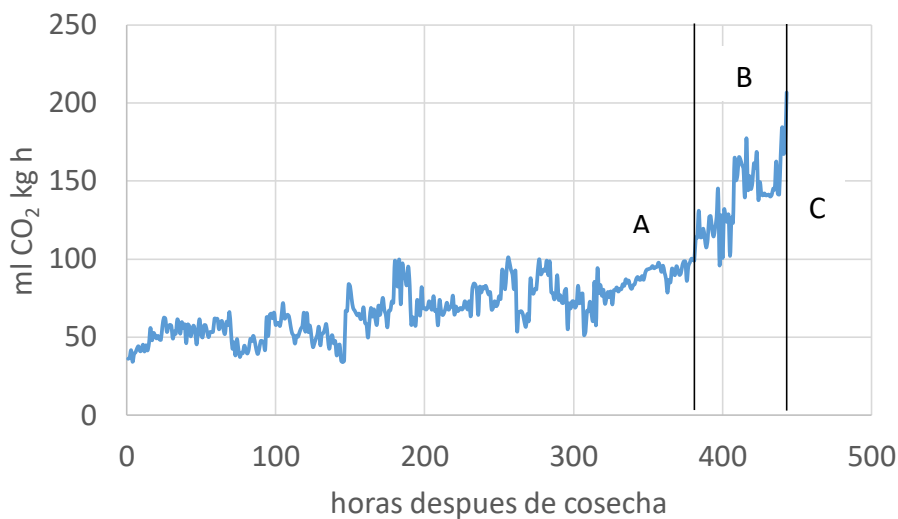


Figura 9. Intensidad respiratoria para palta Hass con tratamiento postcosecha

A= Pre-climatérico, B= Clímax-climatérico, C= Post-climatérico

En los datos graficados para palta Hass con tratamiento postcosecha no se verifica el clímax climatérico ni mucho menos el post-climaterio, a igual tiempo de monitoreo y control de su intensidad respiratoria siendo aún no comestibles a los 19 días con un 12.06% de aceite (**Figura 9**).

El cálculo del coeficiente respiratorio fue de 0.95, según Vargas (2009) quien reporta valores que varían desde 0.73 hasta 1.5 con relación a la longitud de cadena de carbono que caracteriza el ácido graso y temperatura, afirma que el cálculo del coeficiente o cociente respiratorio sirve de indicador del tipo de reacción que predomina en un determinado proceso de oxidación de alimentos, al respecto (Brito, 2005) refiere que los lípidos se distinguen de los hidratos de carbono por el menor contenido de oxígeno en proporción al número de átomos de hidrógeno, por lo que su oxidación requiere una cantidad mayor de oxígeno.

4.3 COMPARACIÓN DEL MONITOREO Y CONTROL DE CO₂ PARA TUNA

(PT1-167)

En la (**Figura 11**) se verifica que las tunas con recubrimiento comestible, presentaron consistentemente menor intensidad respiratoria que las tunas sin este tratamiento, en el ANOVA de la intensidad respiratoria (**Anexo 10**), se encontró diferencia estadística altamente significativa ($P \leq 0.05$) entre los tratamientos, esto implica que la intensidad respiratoria en ml CO₂ kg.h son diferentes, esto nos obliga a verificar el **Cuadro 2** del (**Anexo 10**) de pruebas de comparación múltiples de medias (Duncan) donde la mayor media de 29.95 ml CO₂ kg.h corresponde al (T1= tuna sin recubrimiento) seguido de 6.72 para (T2= tuna con recubrimiento) de dicha relación podemos concluir señalando que las tunas sin recubrimiento respiran 4.46 veces más que las tunas con recubrimiento.



Figura 10. Diferencias en la variación de la intensidad respiratoria entre tunas con recubrimiento y no recubiertas

Según la (**Figura 12**) y datos presentados en el **Anexos 7 y 8** concretaron la tendencia respiratoria de la tuna, y este se clasificó en producto no-climatérico.

Según Parra (2007), debido a la disminución de la intensidad respiratoria durante el periodo de vida del producto.

Los datos obtenidos con el sistema automatizado de monitoreo y control (**Figura 12**), nos permite afirmar que la tuna presentó típicamente un patrón respiratorio no climatérico, tal como lo han indicado algunos autores (Lakshminaraya & Estrella, 1990; Cantwell, 1995; Corrales, 2010), según Gil (2004), son las que desarrollan su proceso de maduración lento en un largo periodo de tiempo, con respiración decreciente y de baja intensidad; la madurez de cosecha es equivalente a la de consumo.

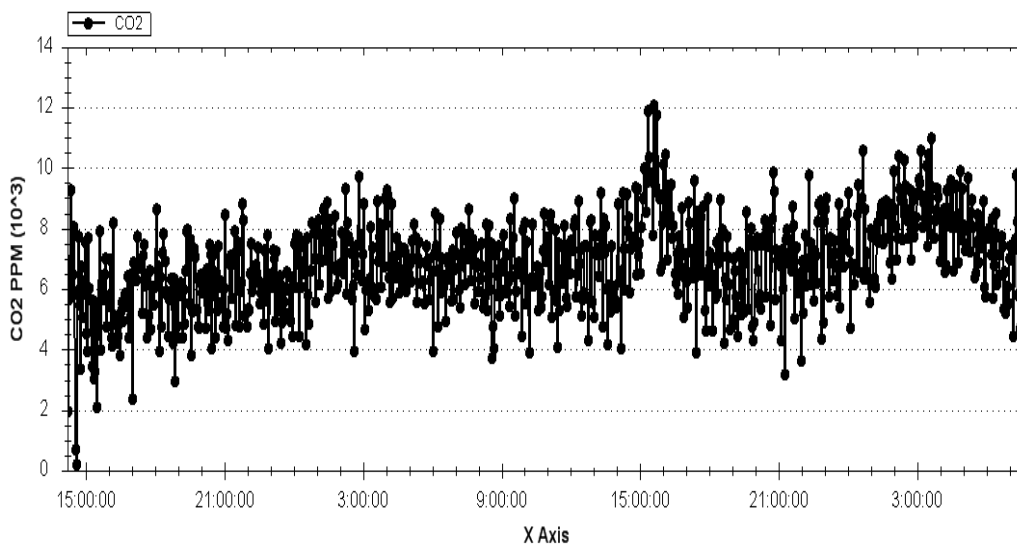


Figura 11. Monitoreo y control de CO₂ en tuna (PT1-167) Hass en postcosecha

El cociente respiratorio en todos los casos tomó valores cercanos de 1.38, lo que muestra que no existen cambios en las rutas metabólicas durante el tiempo de monitoreo y control, por consiguiente el sustrato que se está empleando en el proceso respiratorio son ácidos orgánicos, al respecto Parra (2007), postula que las células de las frutas están capacitadas para usar los ácidos orgánicos como sustrato respiratorio, obteniéndose valores elevados del Cociente Respiratorio, próximos a 1.33, cuando el ácido málico o cítrico es completamente oxidado y

cercano a 1.66 para la oxidación del ácido tartárico. En condiciones anaeróbicas, se observan valores de CR mucho más grandes, presentándose acumulación de etanol, los datos completos se reportan en el **Anexo 6 y 7**.

CONCLUSIONES

- Se implementó un sistema automatizado de monitoreo y control del proceso respiratorio durante la maduración de palta y potencial de deterioro de la tuna.
- Existe una relación entre el grado de maduración y la actividad respiratoria en palta Hass, a los 19 días de monitoreo y control alcanza su madurez de consumo, sin embargo, para paltas con tratamiento postcosecha en ese tiempo de monitoreo y control aún se encuentra en su madurez fisiológica al tardar más en alcanzar el pico climatérico tiene un comportamiento postcosecha mejor.
- En síntesis, la tuna con tratamiento postcosecha tiene una tasa respiratoria menor con respecto a la tuna sin tratamiento, aproximadamente 4.46 veces menos en intensidad.
- El proceso de respiración durante la maduración se puede utilizar como un índice para determinar el potencial de deterioro en palta y tuna.

RECOMENDACIONES

- Se recomienda el uso del sistema automatizado de monitoreo y control de la tasa respiratoria, como técnica no destructiva para determinar indicador de cosecha.
- Desarrollar una base de datos, de la intensidad respiratoria de productos no tradicionales, para establecer la tendencia respiratoria y clasificarlos en productos climatéricos o caso contrario en productos no climatéricos.
- Utilizar el sistema automatizado de monitoreo y control de la tasa respiratoria, para verificar el efecto de diferentes tratamientos postcosecha.



BIBLIOGRAFÍA

- Aharoni, Y. (2004). Frutas de Arboles de Clima Templado. En G. Gil, *Madurez De La Fruta y Manejo Postcosecha* (págs. 25-31). Chile: Universidad Católica de Chile.
- Alvarez. (1994). *El cultivo del aguacate*. Tenerife: Santa Cruz de Tenerife.
- Amaya, J. (2009). *Cultivo de Tuna (Opuntia ficus indica)*. Trujillo: Revaloración de cultivos nativos a la economía de pequeños y medianos agricultores.
- Arpaia , M. (1998). *Factores de calidad: definición y evaluación para productos hortofrutícolas frescos*. Santiago: Fundación Chile. Tecnología de postcosecha de frutas y hortalizas.
- Barreiro, P., & Ruiz Altisent, M. (26 Agosto 2000). Instrumentación de la calidad en frutas y hortalizas frescas. *Horticultura Internacional* , 2-6.
- Blanke, M. (2004). Frutas de Plantas Siempreverdes y de Clima Subtropical. En G. Gil , *Madurez de la Fruta y Manejo Postcosecha* (págs. 233-265). Chile: Ediciones Universidad Católica de Chile.

Brito, M. A. (2005). *Efecto de diferentes coberturas [Primafresh 31 K y Britex 701] sobre el comportamiento en almacenaje refrigerado de paltas (Persea americana Mill.) cv. Hass en distintos niveles de madurez.* Quillota Chile: Tesis (Ing Agr) Fac. de Agronomia Universidad Catolica de Valparaiso.

Burket Contromatic S.A. (Junio 2015). El mercado de los sensores de gas. *Automatica e Instrumentación*, 10-11.

Calabrese, F. (2009). *El Aguacate.* España: Mundi-Prensa Libros., S.A. 78-82.

Cantwell, M. (2005). Postharvest management of fruit and vegetables stems. *FAO, plant production and protection paper*, 120-143.

Cardenas , A., Camacho, I., Ludeña, J., Macedo, M., & Navarro, H. (2012). *Estudio de la cadena de palta de Iuricocha con criterios de equidad, inclusión y sostenibilidad ambiental.* Lima: Centro Peruano de Estudios Sociales – CEPES.

CO₂meter. (21 de abril de 2016). *MetrosCO2.com.* Obtenido de <https://www.metrosco2.com/collections/co2-gas-sensors>

Corrales Garcia, J., & Hernandez Silva, J. (2005). Cambios en la calidad postcosecha de variedades de tuna con y sin semilla. *Revista Fitotecnia Mexicana* enero-marzo, 9-16.

Corrales, G. (2010). Postcosecha de la tuna y el nopal verdura. *Congreso sobre conocimiento y aprovechamiento del nopal VII Nacional. V Internacional Memorias* (págs. 88-98). Mexico: Redalyc.

Cowan , A. (2004). Frutas de Plantas Siempreverdes y de Clima Sub Tropical.

En G. Gil , *Madurez de la Fruta y Manejo Postcosecha* (págs. 233-265).

Chile: Ediciones Universidad Católica de Chile.

Davenport, J., & Ellis, S. (2004). Chemical changes during growth and storage of the avocado fruit. En G. Gil, *Madurez De La Fruta y Manejo Postcosecha* (págs. 149-267). Chile: Universidad Católica de Chile.

Esteban. (1993). *Estimación del contenido de aceite a través de la humedad y su relación con la palatabilidad en frutos de paltos de las variedades Negra de la cruz, Bacon, Edranol y Hass desde la última etapa de desarrollo hasta madurez fisiológica*. Chile: Taller Licenciatura. Ing. Agr. Quillota, Facultad de Agronomía, Universidad Católica de Valparaíso.

Gil, G. (2004). *Madurez de la Fruta y Manejo Postcosecha*. Santiago Chile: Universidad Católica de Chile.

Gurrieri, S., Miceli, L., Lanza, C., Tomaselli, F., Bonomo , R., & Rizzarelli, E. (2000). Chemical characterization of Sicilian prickly pear (*Opuntia Ficus indica*) and perspectives for the storage of its juice. *Journal of Agricultural and Food Chemistry* , 48: 5424-5431.

Kader, A. A. 2007a. Biología y tecnología poscosecha: Un panorama. In *Tecnología Poscosecha de Productos Hortofrutícolas*. 3^a edición. Kader, A. (Ed.). University of California, Division of Agriculture and Natural Resources, Oakland, California, USA. pp. 43-54.

Kader, A. (30 de Agosto de 2013). *Recomendaciones para mantener la calidad postcosecha en tuna*. Obtenido de UC Davis Postharvest Technology: <http://ucanr.edu/sites/postharvest/frutasymelones/Tuna/>

Kader, A. A. (1997). Respiration and gas exchange of vegetables. In J. Weichmann (Ed.). *Postharvest physiology of vegetables* (pp. 25–43). New York, USA: Marcel Dekker.

Kays, S. (1991). *Postharvest physiology of perishable plant products*. New York : Van Nostrand Reinhold.

Kays, S. (1997). *Postharvest physiology of perishable plant products*. Athens, Georgia: Exon Press.

Lakshminaraya, S., & Estrella, I. (1990). *Postharvest respiratory behavior of tuna*. New York: Foods; Chemistry and Nutrition. Vol. 1. Academic Press.

Magaña, W., Balbin, M., Corrales, J., Rodriguez, A., & Saucedo, E. (2004). Efecto de la frigoconservacion en la comportamiento fisiológico de frutas de pitahaya (*Hylocereus undatus Hawoeth*). *Cultivos Tropicales Instituto Nacional de Ciencias Agricolas ISSN:0258-5936*, 33-39.

Martinez, O. (1994). *Variación estacional en el contenido de aceite, contenido de humedad, tamaño y palatabilidad en frutos de palto (Persea americana Mill) cvs. Negra de la Cruz, Bacon, Zutano, Fuerte, Edranol y Hass*. Chile: Tesis Ing. Agr. Quillota, Universidad Católica de Valparaíso, Facultad de Agronomía.

Martinez Navarrete, N., Camacho Vidal, D., & Martinez Lahuerta, J. (Volumen 12, Issue2, Diciembre 2008). Los compuestos bioactivos de las frutas y sus efectos en la salud. *Actividad Dietetica* , 64-6

MINAG. (2012). Produccion Nacional de Tuna. *Andina*, 12-13.



Miranda, P., Cardenas, G., Lopez, D., & Lara Sagahom, A. (2003).

Comportamiento de películas de quitosán compuesto en un modelo de almacenamiento de aguacate . *Journal of the Mexican Chemical Society* , 331-336.

Moggia Lucchini, C. E. (2009). *Efectos del permanganato de potasio como absobedor de etileno sobre la evolución en madurez de frutos de palto cultivar Fuerte en almacenamiento refrigerado*. Quillota Chile: Tesis Pregrado Universidad Católica de Valparaíso Fac. Agronomía.

Monroy Gutierrez, T., Martínez Damían, T., Barrientos Priego , A., & Vargas Madriz, H. (2016). Respiración, etileno y metabolitos anaerobios de tuna, xocotuna y xoconostle en postcosecha. *Biblioteca Digital Repositorio Académico Universidad del Zulia* (págs. 50-62). México: Sistema de servicios bibliotecarios y de información.

Ochoa Velasco, C., & Guerrero Beltran , J. (2010). La tuna: una perspectiva de su producción, propiedades y métodos de conservación . *Temas selectos de Ingeniería de Alimentos*, 49-63.

Olaeta, J., Undurraga, P., & Schwartz, M. (1999). Determinación de la evolución y caracterización de los aceites en paltas (*persea americana mill.*) cvs. Fuerte y Hass cultivados en Chile. *Chapingo Serie Horticultura*, 117-122.

Olaeta, J. A., & Undurraga, P. L. (2003). Caracterización y evaluación en almacenaje refrigerado del CV. de palto Isabel (*Persea americana Mill.*). *Actas V Congreso Mundial del Aguacate* (págs. 659-664). Chile: Facultad de Agronomía Pontificia Universidad Católica de Valparaíso-Chile.

Ortuño, A., Días , L., & Del Rio, A. (2015 ISSN 1697-0071). Evolución de la fisiología vegetal en los ultimos 100 años . *Revista Eurobacteria. Cien años de avances en ciencias de la vida*, 74-81.

Ormachea, O. (2007). Diseño y construcción de un prototipo funcional de generación óptica cuantica (laser). *UPB-Investigación & Desarrollo*, N° 7: 71-82.

Parra Coronado, A. (2007). *Técnicas de almacenamiento y conservación de frutas y hortalizas frescas*. Bogota, D. C.: Universidad Nacional de Colombia Facultad de Ingeniería Agrícola .

Schouten , R., Zhang, X., Verschor, J., Otma, E., Tijssens, L., & Van Kooten, O. (2009). Development of colour of broccoli heads as affected by controlled atmosphere storage and temperature. En Tomás-Barberán, *Postharvest Biology and Technology* (págs. 205-220). New York, NY: Oxford University.

Saltveit, M. (2004). Effect of 1-methylcyclopropene on phenylpropanoid metabolism, the accumulation of phenolic compounds, and browning of whole and fresh-cut "iceberg" lettuce. *postharvest Biology and Technology*, volumen XV (número 3) 75-80.

Tucker, G. (1993). *Biochemistry of fruit ripening*. London: Introduction. In: G.B. Undurraga, P., Olaeta, J., & Olivares, D. (2007). Efecto de dos coverturas y dos tiempo de almacenamiento refrigerado sobre el comportamiento postcosecha de palta CV. Hass. *Proceedings VI World Avocado Congress (Actas VI Congreso Mundial del Aguacate)*, 12-16.

Vargas O., W. (2009). *Tecnología del manejo de postcosecha de frutas y hortalizas*. Colombia : Instituto Interamericano de Cooperación para la Agricultura IICA-OEA.

Velasquez Ccosi, P., & Roque, B. (2015). Evaluación de recubrimientos comestibles a base de mucilago de chía (*Salvia hispanica L.*) sobre la conservación postcosecha de palta (*Persea americana Mill.*) variedad Hass. *Agroindustria y Negocios*, 17-21.

Vilchis, L. (2002). *Metodología del diseño Fundamentos Teóricos*. Mexico: Editorial Claves Latinoamericanas ISBN-968-843-172-9.

Wills , R., McGlasson, B., Graham, D., & Joyce, D. (1999). *Introducción a la fisiología y manipulación postcosecha de frutas, hortalizas y plantas ornamentales*. Zaragoza España: Acribia 2da edición .



ANEXOS

Anexo 1. Materia prima objeto de estudio



Figura 12. Palta Hass en árbol

Figura 13. Carga de palta Hass



Figura 14. Banco nacional de germoplasma de tuna

Estación Experimental Agraria Canaán



Figura 15. Biotipo (PT1-167)

Anexo 2. Descripción de los elementos conformantes del sistema de monitoreo y control de CO₂

Aquí, se estableció las características de cada uno de los elementos conformantes del sistema de monitoreo y control de CO₂ en base a los aspectos técnicos y matemáticos que requieren para que funcione adecuadamente (Diseño formal); cada pieza del equipo tiene una función determinada que hace que funcione en conjunto (Diseño funcional), juntando ambos principios de diseño, se implementa el sistema automatizado de monitoreo y control de la taza respiratoria (Vilchis, 2002).

3.1.1 Sensor infrarrojo

Características: El K-33 ICB está diseñado para medir porcentajes de dióxido de carbono hasta 30%. Es útil para aplicaciones biológicas o químicas donde se debe mantener niveles de CO₂ artificialmente altos en un aparato cerrado. El sensor K-33 ICB puede medir CO₂ del aire en el ambiente o puede utilizar la tapa de adaptador de tubo de 0.8 mm para extraer gas de un local remoto. Tiene que aplicarse un vacío (flujo de 1.5 litros/min) a uno de los tubos mientras que el otro tubo se coloca directamente en el flujo de aire. Utilizando un filtro para atrapar líquido, el sensor puede ser configurado para tomar una muestra de CO₂ de una muestra conteniendo casi 100% humedad. Con múltiples opciones de entrada y salida, y apoyo para comunicaciones I2C, RS 485 y Modbus, el K-33 ICB combina la calidad de la tecnología de sensor NDIR doble infrarrojo con opciones de configuración para satisfacer hasta las más exigentes aplicaciones.

Especificaciones

- Rango de Medición: 0 – 300 000 ppm (0 – 30%).
- Medida CO₂: infrarrojo no dispersivo (NDIR).
- Precisión: $\pm 0.2\%$ vol. de CO₂ $\pm 3\%$ del valor medido.
- Método de Muestreo: difusión o extracción por tubo.
- Expectativa de Vida del Sensor: > 15 años.
- Intervalo de Mantenimiento: no requiere mantenimiento.
- Auto-Diagnóstico: verificación de toda función del módulo sensor

Eléctrico / Mecánico.

- Entradas de Energía: 5 – 14 VCC clasificación máx., estabilizado dentro de 10%.
- Dimensiones: 50.8 x 57.15 x 15.748 mm.



Figura 16. Sensor de CO₂ 30% K-33 ICB

Fuente: (CO₂meter, 2016)

3.1.2 Bomba de aire

Características: Este Kit de bomba de sensor contiene todos los accesorios necesarios para extraer muestras a analizar, sus especificaciones se muestran en el cuadro 3.

Cuadro 4. Especificaciones técnicas de la bomba

Pneumatic Data	
Description	2002VD/0,5/E/LC
Part number	3,5 V 20020215 (3,5 to 5 V)
Max. flow	500 ml/min
Max. intermittent duty	380 to 400 mbar
Max. continuous pressure	150 mbar
Max. restart pressure	150 mbar
Max. vacuum	-360 to -400 mbar
Max. restart vacuum	-150 mbar

Electrical Data	
Motor type	Permanent magnet
Rated power	3,5 to 5 V/90 mA
Protection class	IP00
Bearing type	Sleeve bearing

General Data	
Ambient temperature	10 to 50 °C
Media temperature	10 to 50 °C
Weight	17 g
Port direction	D

Wetted Parts	Options
Pump head	Phenol resin
Diaphragm, valves	EPDM FPM (Viton®), Silicone

Fuente: CO₂Meter.com**Figura 17.** Bomba de aireFuente: (CO₂meter, 2016)

3.1.3 Filtros

a) Filtro de partículas (150 micrón)

Características: Es un dispositivo que elimina partículas sólidas, contaminantes de 150 micrones, como por ejemplo polvo, polen y bacterias de la cámara de respiración donde se mantiene al producto de análisis.

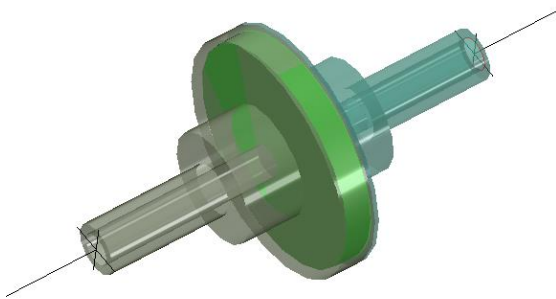


Figura 18. Filtro de partículas

Fuente: (CO₂meter, 2016)

b) Filtro hidrofóbico (0.22 micrón)

Características: Para la filtración de gases y vapor de agua producido en la cámara de respiración donde se mantiene a la fruta, no se humedece con agua ya que la repele; su función es proteger al Sensor de CO₂ K-33 ICB de la humedad vulnerable en la trampa de agua, producida por efecto de la respiración de los productos de análisis.



Figura 19. Filtro hidrofóbico

Fuente: (CO₂meter, 2016)

c) **Trampa de agua**

Características: Este dispositivo es utilizado como recolector del vapor de agua residual condensada que queda en las mangueras lisas producida en la en la cámara de respiración cuya función en retener el paso del agua aspirado por la bomba de aire.

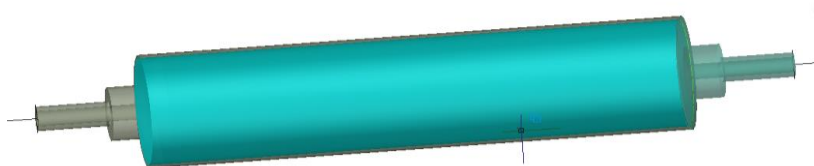


Figura 20. Trampa de agua

Fuente: (CO₂meter, 2016)

3.1.4 Cámara de respiración

Características: Es una cámara cilíndrica con una capacidad de 5.000 cm³ y sellada herméticamente; posee dos tubuladuras una larga que es la de la entrada del oxígeno (O₂), y una corta para la salida del dióxido de carbono (CO₂). En el interior de la cámara, también se encuentra un termómetro de alcohol de -10°C a 110°C, con el fin de poder determinar el delta de temperatura (ΔT) durante el proceso de respiración. La función de esta cámara es permitir el intercambio gaseoso de la fruta durante el proceso de respiración.

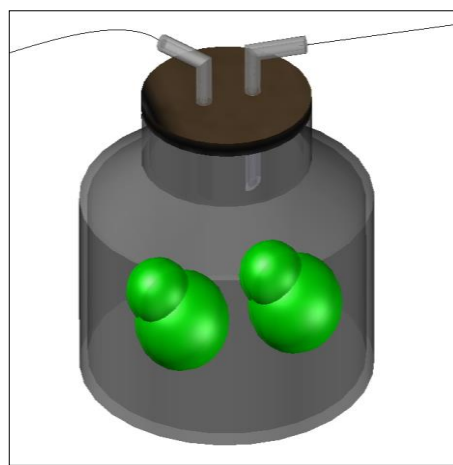


Figura 21. Cámara de respiración

3.2 EVALUACIÓN DEL SISTEMA AUTOMATIZADO DE MONITOREO Y CONTROL DE LA TASA RESPIRATORIA

Las muestras cosechadas, se secaron con la finalidad de eliminar la humedad externa, para luego ser pesada exactamente, 1 kg y depositarlas en la cámara de respiración dejándola selladas de forma hermética para poner en marcha el equipo. El tiempo que debe permanecer en la cámara o realizar el análisis, fue determinado de acuerdo a la vida útil del producto

desde el momento de su cosecha, cumplido este tiempo el flujo de aire se suspende.

Se midió diariamente el CO₂ producido de las diferentes muestras empleadas, a partir de la cosecha durante varios días. El método, consiste en mantener un flujo constante y conocido de aire sobre la muestra (fruto o grupo de frutos) de peso previamente determinado y llevar al equilibrio con ciertos accesorios purificadores de gas (filtro de partículas, trampa de agua y filtro hidrofóbico), el CO₂ liberado por los frutos es acarreado por el flujo de aire, el cual pasar por la celda del sensor (K-33 ICB), registrándose los valores de CO₂ en una Central Processing Unit (CPU) Figura 7.

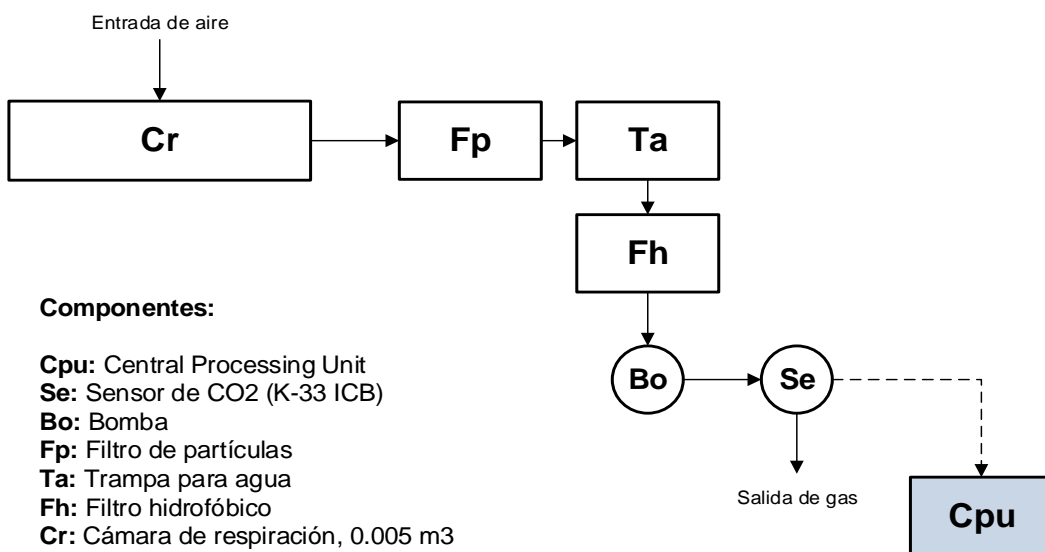


Figura 22. Esquema del sistema automatizado de monitoreo y control de la tasa de respiratoria

Fuente: (CO₂meter, 2016)

El sistema de monitoreo tiene la capacidad de medir el CO₂ en tiempo real, además conforme se van haciendo las lecturas, se van guardando en un archivo en modo (CSV UTF-8 delimitado por comas), esto permite que

las lecturas llevadas a cabo posteriormente se puedan leer desde cualquier hoja electrónica de cálculo. Para la corrección de la tasa de respiración, el dato de concentración de CO₂ se sustituyó en la siguiente ecuación:

$$ml\ CO_2\ kg^{-1}h^{-1} = (\%CO_2 \times 100 \times \text{Flujo de aire}/\text{Peso del fruto}) \quad \text{Ec. 1}$$

El sistema consiste en utilizar un sensor de CO₂ de precisión ± 0.2% vol. de CO₂ ± 3% del valor medio, bomba de aire, una trampa de agua, filtros (hidrofóbico y de partículas) y una cámara de respiración con un volumen de 0,005m³ y manguera translúcida de silicona atóxica. El equipo permite determinar CO₂ en unidades representativas del gas (ppm) o (%), dichos datos fueron remplazados en la Ec. 1 para obtener la intensidad respiratoria por unidad de masa y tiempo (CO₂/kg.h) Figura 8.

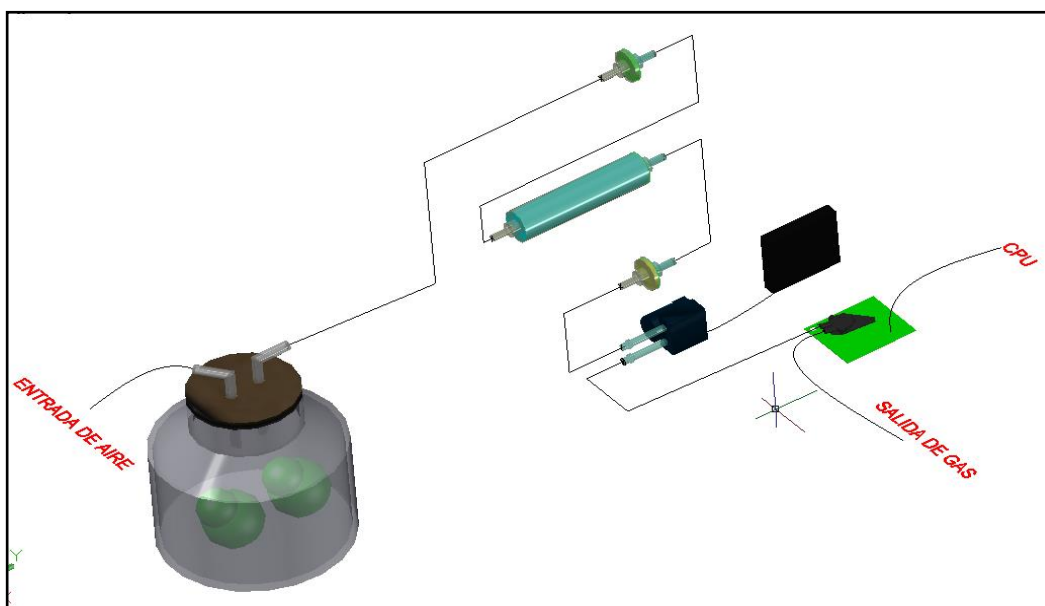


Figura 23. Diseño en detalle del sistema automatizado de monitoreo y control de la tasa respiratoria

Anexo 3. Evaluación del sistema de monitoreo y control de tasa respiratoria.

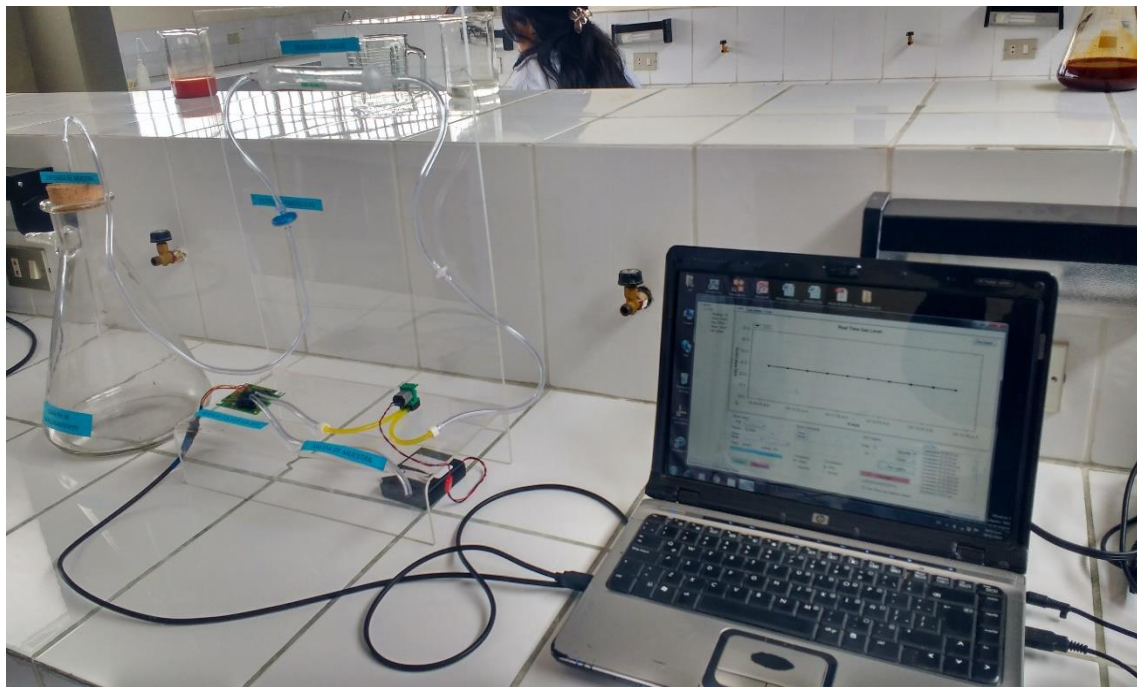


Figura 24. Operación del sistema sin muestra



Figura 25. Operación del sistema con frutos de tuna

Anexo 4. Tratamiento poscosecha en tuna y palta con recubrimiento comestible y verificación de los principales indicadores de madurez



Figura 26. Biotipo Susy Diaz (PT1-167) con recubrimiento a base de chía (Roque 2014)



Figura 27. 14.9°Brix, estado de madurez al momento de la cosecha



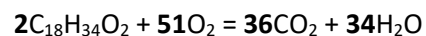
Figura 28. Recubrimiento a base de chía

Fuente: (Velásquez & Roque 2015)



Figura 29. Método de extracción de grasa por Soxhlet

Anexo 5. Datos obtenidos con el sistema de monitoreo y control de la tasa respiratoria en palta HASS



Nº	Fecha/Hora	CO ₂ (ppm)	CO ₂ (%)	CO ₂ (g)	O ₂ (g)	O ₂ (ppm)	CO ₂ /O ₂	ml CO ₂ kg h
1	03/08/2017 12:57	35860.67	3.59	35.86	36.94	36940.36	0.97	120
2	03/08/2017 13:57	35077.62	3.51	35.08	36.13	36133.73	0.97	117
3	03/08/2017 14:57	28517.73	2.85	28.52	29.38	29376.34	0.97	95
4	03/08/2017 15:59	29263.64	2.93	29.26	30.14	30144.70	0.97	98
5	03/08/2017 16:59	27790.00	2.78	27.79	28.63	28626.70	0.97	93
6	03/08/2017 17:59	26105.00	2.61	26.11	26.89	26890.97	0.97	87
7	03/08/2017 18:58	25864.76	2.59	25.86	26.64	26643.50	0.97	86
8	03/08/2017 19:58	26257.14	2.63	26.26	27.05	27047.69	0.97	88
9	03/08/2017 20:58	25328.18	2.53	25.33	26.09	26090.76	0.97	84
10	03/08/2017 21:57	24495.71	2.45	24.50	25.23	25233.23	0.97	82
11	03/08/2017 22:57	26581.36	2.66	26.58	27.38	27381.67	0.97	89
12	03/08/2017 23:59	26247.27	2.62	26.25	27.04	27037.52	0.97	87
13	03/09/2017 00:59	26463.33	2.65	26.46	27.26	27260.09	0.97	88
14	03/09/2017 01:59	26449.55	2.64	26.45	27.25	27245.89	0.97	88
15	03/09/2017 02:58	25812.86	2.58	25.81	26.59	26590.03	0.97	86
16	03/09/2017 03:58	25789.52	2.58	25.79	26.57	26565.99	0.97	86
17	03/09/2017 04:58	23416.82	2.34	23.42	24.12	24121.85	0.97	78
18	03/09/2017 05:58	24809.52	2.48	24.81	25.56	25556.49	0.97	83
19	03/09/2017 06:57	24401.82	2.44	24.40	25.14	25136.51	0.97	81
20	03/09/2017 07:57	23769.09	2.38	23.77	24.48	24484.73	0.97	79
21	03/09/2017 08:59	24275.45	2.43	24.28	25.01	25006.34	0.97	81
22	03/09/2017 09:59	23601.43	2.36	23.60	24.31	24312.02	0.97	79
23	03/09/2017 10:59	23520.00	2.35	23.52	24.23	24228.14	0.97	78
24	03/09/2017 11:58	26070.91	2.61	26.07	26.86	26855.85	0.97	87
25	03/09/2017 12:58	27747.14	2.77	27.75	28.58	28582.55	0.97	92
26	03/09/2017 13:58	27568.64	2.76	27.57	28.40	28398.67	0.97	92
27	03/09/2017 14:57	25033.81	2.50	25.03	25.79	25787.53	0.97	83
28	03/09/2017 15:57	25981.90	2.60	25.98	26.76	26764.17	0.97	87
29	03/09/2017 16:57	26378.26	2.64	26.38	27.17	27172.46	0.97	88
30	03/09/2017 17:59	26188.10	2.62	26.19	26.98	26976.56	0.97	87
31	03/09/2017 18:59	23741.36	2.37	23.74	24.46	24456.17	0.97	79
32	03/09/2017 19:59	25122.86	2.51	25.12	25.88	25879.25	0.97	84
33	03/09/2017 20:58	24700.95	2.47	24.70	25.44	25444.65	0.97	82
34	03/09/2017 21:58	27389.09	2.74	27.39	28.21	28213.72	0.97	91
35	03/09/2017 22:58	26605.71	2.66	26.61	27.41	27406.76	0.97	89
36	03/09/2017 23:57	24679.55	2.47	24.68	25.42	25422.60	0.97	82
37	03/10/2017 00:57	26891.43	2.69	26.89	27.70	27701.07	0.97	90

38	03/10/2017 01:57	25826.52	2.58	25.83	26.60	26604.11	0.97	86
39	03/10/2017 02:59	26440.00	2.64	26.44	27.24	27236.05	0.97	88
40	03/10/2017 03:59	28848.10	2.88	28.85	29.72	29716.65	0.97	96
41	03/10/2017 04:59	26430.45	2.64	26.43	27.23	27226.22	0.97	88
42	03/10/2017 05:58	26145.24	2.61	26.15	26.93	26932.42	0.97	87
43	03/10/2017 06:58	24171.36	2.42	24.17	24.90	24899.11	0.97	81
44	03/10/2017 07:58	25444.76	2.54	25.44	26.21	26210.85	0.97	85
45	03/10/2017 08:57	26232.38	2.62	26.23	27.02	27022.18	0.97	87
46	03/10/2017 09:57	24993.91	2.50	24.99	25.75	25746.43	0.97	83
47	03/10/2017 10:59	22621.43	2.26	22.62	23.30	23302.51	0.97	75
48	03/10/2017 11:59	25591.82	2.56	25.59	26.36	26362.33	0.97	85
49	03/10/2017 12:59	27437.14	2.74	27.44	28.26	28263.22	0.97	91
50	03/10/2017 13:59	24480.45	2.45	24.48	25.22	25217.51	0.97	82
51	03/10/2017 14:58	23979.05	2.40	23.98	24.70	24701.01	0.97	80
52	03/10/2017 15:58	26271.43	2.63	26.27	27.06	27062.41	0.97	88
53	03/10/2017 16:58	26293.18	2.63	26.29	27.08	27084.82	0.97	88
54	03/10/2017 17:57	25057.14	2.51	25.06	25.81	25811.56	0.97	84
55	03/10/2017 18:57	24005.22	2.40	24.01	24.73	24727.96	0.97	80
56	03/10/2017 19:59	24974.76	2.50	24.97	25.73	25726.70	0.97	83
57	03/10/2017 20:59	24974.76	2.50	24.97	25.73	25726.70	0.97	83
58	03/10/2017 21:59	25066.19	2.51	25.07	25.82	25820.88	0.97	84
59	03/10/2017 22:58	27569.09	2.76	27.57	28.40	28399.14	0.97	92
60	03/10/2017 23:58	27516.67	2.75	27.52	28.35	28345.14	0.97	92
61	03/11/2017 00:58	27502.73	2.75	27.50	28.33	28330.78	0.97	92
62	03/11/2017 01:57	25522.38	2.55	25.52	26.29	26290.81	0.97	85
63	03/11/2017 02:57	26799.05	2.68	26.80	27.61	27605.91	0.97	89
64	03/11/2017 03:57	27100.45	2.71	27.10	27.92	27916.39	0.97	90
65	03/11/2017 04:59	25455.91	2.55	25.46	26.22	26222.33	0.97	85
66	03/11/2017 05:59	24650.00	2.47	24.65	25.39	25392.16	0.97	82
67	03/11/2017 06:59	26957.62	2.70	26.96	27.77	27769.26	0.97	90
68	03/11/2017 07:50	26371.11	2.64	26.37	27.17	27165.09	0.97	88
69	03/13/17 11:57:11.281	28847.00	2.88	28.85	29.72	29715.52	0.97	96
70	03/13/17 12:59:42.343	25277.27	2.53	25.28	26.04	26038.32	0.97	84
71	03/13/17 13:59:22.921	21824.09	2.18	21.82	22.48	22481.17	0.97	73
72	03/13/17 14:59:03.484	23009.05	2.30	23.01	23.70	23701.80	0.97	77
73	03/13/17 15:58:44.062	20490.48	2.05	20.49	21.11	21107.40	0.97	68
74	03/13/17 16:58:24.625	23635.91	2.36	23.64	24.35	24347.54	0.97	79
75	03/13/17 17:58:05.187	21745.24	2.17	21.75	22.40	22399.94	0.97	72
76	03/13/17 18:57:45.765	20210.00	2.02	20.21	20.82	20818.48	0.97	67
77	03/13/17 19:57:26.328	21041.90	2.10	21.04	21.68	21675.43	0.97	70
78	03/13/17 20:59:57.406	20942.73	2.09	20.94	21.57	21573.27	0.97	70
79	03/13/17 21:59:37.968	22379.09	2.24	22.38	23.05	23052.88	0.97	75
80	03/13/17 22:59:18.546	21541.90	2.15	21.54	22.19	22190.49	0.97	72
81	03/13/17 23:58:59.109	20865.00	2.09	20.87	21.49	21493.20	0.97	70

82	03/14/17 0:58:39.671	21668.10	2.17	21.67	22.32	22320.48	0.97	72	
83	03/14/17 1:58:20.250	23657.73	2.37	23.66	24.37	24370.01	0.97	79	
84	03/14/17 2:58:00.812	23227.14	2.32	23.23	23.93	23926.46	0.97	77	
85	03/14/17 3:57:41.390	24280.00	2.43	24.28	25.01	25011.02	0.97	81	
86	03/14/17 4:57:21.953	23234.09	2.32	23.23	23.93	23933.62	0.97	77	
87	03/14/17 5:59:53.031	21690.45	2.17	21.69	22.34	22343.51	0.97	72	
88	03/14/17 6:59:33.593	20766.36	2.08	20.77	21.39	21391.60	0.97	69	
89	03/14/17 7:59:14.156	21773.81	2.18	21.77	22.43	22429.37	0.97	73	
90	03/14/17 8:58:54.734	23258.18	2.33	23.26	23.96	23958.44	0.97	78	
91	03/14/17 9:58:35.296	23258.18	2.33	23.26	23.96	23958.44	0.97	78	
92	03/14/17 10:58:15.875	22954.76	2.30	22.95	23.65	23645.88	0.97	77	
93	03/14/17 11:57:56.437	21633.64	2.16	21.63	22.28	22284.98	0.97	72	
94	03/14/17 12:57:37.000	27875.24	2.79	27.88	28.71	28714.50	0.97	93	
95	03/14/17 13:57:17.578	34220.48	3.42	34.22	35.25	35250.78	0.97	114	
96	03/14/17 14:59:48.640	28219.13	2.82	28.22	29.07	29068.75	0.97	94	
97	03/14/17 15:59:29.218	28548.57	2.85	28.55	29.41	29408.11	0.97	95	
98	03/14/17 16:59:09.781	27636.36	2.76	27.64	28.47	28468.44	0.97	92	
99	03/14/17 17:58:50.359	28723.81	2.87	28.72	29.59	29588.62	0.97	96	
100	03/14/17 18:58:30.921	26383.64	2.64	26.38	27.18	27177.99	0.97	88	
101	03/14/17 19:58:11.484	26699.05	2.67	26.70	27.50	27502.90	0.97	89	
102	03/14/17 20:57:52.062	26760.48	2.68	26.76	27.57	27566.18	0.97	89	
103	03/14/17 21:57:32.625	26202.27	2.62	26.20	26.99	26991.17	0.97	87	
104	03/14/17 22:57:13.203	28270.48	2.83	28.27	29.12	29121.64	0.97	94	
105	03/14/17 23:59:44.265	30573.48	3.06	30.57	31.49	31493.98	0.97	102	
106	03/15/17 0:59:24.843	27607.14	2.76	27.61	28.44	28438.34	0.97	92	
107	03/15/17 1:59:05.406	27970.95	2.80	27.97	28.81	28813.10	0.97	93	
108	03/15/17 2:58:45.968	28336.82	2.83	28.34	29.19	29189.98	0.97	94	
109	03/15/17 3:58:26.546	27953.33	2.80	27.95	28.79	28794.95	0.97	93	
110	03/15/17 4:58:07.109	26246.36	2.62	26.25	27.04	27036.59	0.97	87	
111	03/15/17 5:57:47.687	24820.95	2.48	24.82	25.57	25568.26	0.97	83	
112	03/15/17 6:57:28.250	24273.64	2.43	24.27	25.00	25004.47	0.97	81	
113	03/15/17 7:59:59.328	22769.09	2.28	22.77	23.45	23454.62	0.97	76	
114	03/15/17 8:59:39.890	24284.29	2.43	24.28	25.02	25015.44	0.97	81	
115	03/15/17 9:59:20.453	24078.18	2.41	24.08	24.80	24803.13	0.97	80	
116	03/15/17 10:59:01.031	24926.19	2.49	24.93	25.68	25676.67	0.97	83	
117	03/15/17 11:44:29.078	25666.25	2.57	25.67	26.44	26439.01	0.97	86	
118	03/16/17 12:59:40.140	26207.50	2.62	26.21	27.00	26996.55	0.97	87	
119	03/16/17 13:59:20.703	28727.14	2.87	28.73	29.59	29592.06	0.97	96	
120	03/16/17 14:59:01.265	25052.38	2.51	25.05	25.81	25806.66	0.97	84	
121	03/16/17 15:58:41.843	28670.00	2.87	28.67	29.53	29533.19	0.97	96	
122	03/16/17 16:58:22.406	25026.19	2.50	25.03	25.78	25779.68	0.97	83	
123	03/16/17 17:58:02.984	26263.18	2.63	26.26	27.05	27053.91	0.97	88	
124	03/16/17 18:57:43.546	24169.52	2.42	24.17	24.90	24897.22	0.97	81	
125	03/16/17 19:57:24.109	22132.38	2.21	22.13	22.80	22798.74	0.97	74	

126	03/16/17 20:59:55.187	22801.74	2.28	22.80	23.49	23488.25	0.97	76	
127	03/16/17 21:59:35.750	23711.43	2.37	23.71	24.43	24425.33	0.97	79	
128	03/16/17 22:59:16.328	24493.64	2.45	24.49	25.23	25231.09	0.97	82	
129	03/16/17 23:58:56.890	25988.10	2.60	25.99	26.77	26770.54	0.97	87	
130	03/17/17 0:58:37.468	22451.82	2.25	22.45	23.13	23127.80	0.97	75	
131	03/17/17 1:58:18.031	24637.62	2.46	24.64	25.38	25379.41	0.97	82	
132	03/17/17 2:57:58.593	24770.95	2.48	24.77	25.52	25516.75	0.97	83	
133	03/17/17 3:57:39.171	25571.82	2.56	25.57	26.34	26341.73	0.97	85	
134	03/17/17 4:57:19.734	26515.71	2.65	26.52	27.31	27314.05	0.97	88	
135	03/17/17 5:59:50.812	24010.43	2.40	24.01	24.73	24733.34	0.97	80	
136	03/17/17 6:56:40.875	21770.50	2.18	21.77	22.43	22425.96	0.97	73	
137	03/17/17 7:59:11.953	23597.27	2.36	23.60	24.31	24307.74	0.97	79	
138	03/17/17 8:58:52.515	24384.09	2.44	24.38	25.12	25118.25	0.97	81	
139	03/17/17 9:58:33.078	22809.52	2.28	22.81	23.50	23496.27	0.97	76	
140	03/17/17 10:58:13.656	23264.55	2.33	23.26	23.96	23964.99	0.97	78	
141	03/17/17 11:57:54.218	20491.43	2.05	20.49	21.11	21108.38	0.97	68	
142	03/17/17 13:57:15.359	22325.00	2.23	22.33	23.00	22997.16	0.97	74	
143	03/17/17 13:57:15.359	22559.52	2.26	22.56	23.24	23238.74	0.97	75	
144	03/17/17 14:59:46.437	19500.45	1.95	19.50	20.09	20087.57	0.97	65	
145	03/17/17 15:59:27.000	17219.09	1.72	17.22	17.74	17737.52	0.97	57	
146	03/17/17 16:59:07.562	15519.05	1.55	15.52	15.99	15986.29	0.97	52	
147	03/17/17 17:44:35.625	16055.63	1.61	16.06	16.54	16539.03	0.97	54	
148	03/18/17 20:59:25.750	15020.24	1.50	15.02	15.47	15472.46	0.97	50	
149	03/18/17 21:59:06.312	34160.48	3.42	34.16	35.19	35188.98	0.97	114	
150	03/18/17 22:58:46.890	33768.18	3.38	33.77	34.78	34784.87	0.97	113	
151	03/18/17 23:58:27.453	31398.10	3.14	31.40	32.34	32343.43	0.97	105	
152	03/19/17 0:58:08.015	32620.91	3.26	32.62	33.60	33603.06	0.97	109	
153	03/19/17 1:57:48.593	29147.73	2.91	29.15	30.03	30025.30	0.97	97	
154	03/19/17 2:57:29.156	28596.19	2.86	28.60	29.46	29457.16	0.97	95	
155	03/19/17 3:57:09.734	28175.45	2.82	28.18	29.02	29023.76	0.97	94	
156	03/19/17 4:59:40.796	28532.27	2.85	28.53	29.39	29391.32	0.97	95	
157	03/19/17 5:59:21.375	27468.18	2.75	27.47	28.30	28295.19	0.97	92	
158	03/19/17 6:59:01.937	27805.71	2.78	27.81	28.64	28642.89	0.97	93	
159	03/19/17 7:58:42.500	29749.52	2.97	29.75	30.65	30645.22	0.97	99	
160	03/19/17 8:58:23.078	26770.00	2.68	26.77	27.58	27575.99	0.97	89	
161	03/19/17 10:57:44.203	26480.95	2.65	26.48	27.28	27278.24	0.97	88	
162	03/19/17 10:57:44.203	23925.45	2.39	23.93	24.65	24645.80	0.97	80	
163	03/19/17 11:57:24.781	27101.90	2.71	27.10	27.92	27917.89	0.97	90	
164	03/19/17 12:59:55.843	29636.82	2.96	29.64	30.53	30529.12	0.97	99	
165	03/19/17 13:59:36.421	27952.73	2.80	27.95	28.79	28794.33	0.97	93	
166	03/19/17 14:59:16.984	29368.10	2.94	29.37	30.25	30252.31	0.97	98	
167	03/19/17 15:58:57.562	27420.45	2.74	27.42	28.25	28246.03	0.97	91	
168	03/19/17 16:58:38.125	26445.24	2.64	26.45	27.24	27241.45	0.97	88	
169	03/19/17 17:58:18.687	30056.67	3.01	30.06	30.96	30961.61	0.97	100	

170	03/19/17 18:57:59.265	28269.55	2.83	28.27	29.12	29120.68	0.97	94	
171	03/19/17 19:57:39.828	29998.57	3.00	30.00	30.90	30901.77	0.97	100	
172	03/19/17 20:57:20.406	31556.82	3.16	31.56	32.51	32506.93	0.97	105	
173	03/19/17 21:59:51.468	31247.27	3.12	31.25	32.19	32188.06	0.97	104	
174	03/19/17 22:59:32.046	36343.18	3.63	36.34	37.44	37437.40	0.97	121	
175	03/19/17 23:59:12.609	35890.48	3.59	35.89	36.97	36971.06	0.97	120	
176	03/20/17 0:58:53.171	39063.33	3.91	39.06	40.24	40239.45	0.97	130	
177	03/20/17 1:58:33.750	39174.09	3.92	39.17	40.35	40353.54	0.97	131	
178	03/20/17 2:58:14.312	40877.62	4.09	40.88	42.11	42108.36	0.97	136	
179	03/20/17 3:57:54.890	40635.00	4.06	40.64	41.86	41858.44	0.97	135	
180	03/20/17 4:57:35.453	38601.90	3.86	38.60	39.76	39764.13	0.97	129	
181	03/20/17 5:57:16.015	35651.43	3.57	35.65	36.72	36724.82	0.97	119	
182	03/20/17 6:59:47.093	33835.65	3.38	33.84	34.85	34854.37	0.97	113	
183	03/20/17 7:59:27.656	38905.24	3.89	38.91	40.08	40076.59	0.97	130	
184	03/20/17 8:59:08.234	40320.91	4.03	40.32	41.53	41534.89	0.97	134	
185	03/20/17 9:58:48.796	38010.00	3.80	38.01	39.15	39154.40	0.97	127	
186	03/20/17 10:58:29.375	36353.18	3.64	36.35	37.45	37447.70	0.97	121	
187	03/20/17 11:58:09.937	35332.38	3.53	35.33	36.40	36396.17	0.97	118	
188	03/20/17 12:57:50.500	34015.24	3.40	34.02	35.04	35039.37	0.97	113	
189	03/20/17 13:57:31.078	47583.64	4.76	47.58	49.02	49016.28	0.97	159	
190	03/20/17 14:57:11.640	33887.14	3.39	33.89	34.91	34907.41	0.97	113	
191	03/20/17 15:59:42.718	26470.00	2.65	26.47	27.27	27266.96	0.97	88	
192	03/20/17 16:59:23.281	27791.43	2.78	27.79	28.63	28628.17	0.97	93	
193	03/20/17 17:59:03.859	27440.95	2.74	27.44	28.27	28267.14	0.97	91	
194	03/20/17 18:58:44.421	26297.73	2.63	26.30	27.09	27089.50	0.97	88	
195	03/20/17 19:58:24.984	31117.14	3.11	31.12	32.05	32054.02	0.97	104	
196	03/20/17 20:58:05.562	29218.18	2.92	29.22	30.10	30097.88	0.97	97	
197	03/20/17 21:57:46.125	28273.33	2.83	28.27	29.12	29124.58	0.97	94	
198	03/20/17 22:57:26.703	33637.14	3.36	33.64	34.65	34649.89	0.97	112	
199	03/20/17 23:59:57.765	47583.64	4.76	47.58	49.02	49016.28	0.97	159	
200	03/21/17 0:59:24.843	36635.24	3.66	36.64	37.74	37738.25	0.97	122	
201	03/21/17 1:59:05.406	39310.00	3.93	39.31	40.49	40493.54	0.97	131	
202	03/21/17 2:58:45.968	39680.00	3.97	39.68	40.87	40874.68	0.97	132	
203	03/21/17 3:58:26.546	40922.73	4.09	40.92	42.15	42154.83	0.97	136	
204	03/21/17 4:58:07.109	39969.05	4.00	39.97	41.17	41172.43	0.97	133	
205	03/21/17 5:57:47.687	38361.90	3.84	38.36	39.52	39516.90	0.97	128	
206	03/21/17 6:57:28.250	36898.18	3.69	36.90	38.01	38009.11	0.97	123	
207	03/21/17 7:59:59.328	36036.67	3.60	36.04	37.12	37121.66	0.97	120	
208	03/21/17 8:59:39.890	33207.53	3.32	33.21	34.21	34207.33	0.97	111	
209	03/21/17 9:59:20.453	26297.73	2.63	26.30	27.09	27089.50	0.97	88	
210	03/21/17 10:59:01.031	31117.14	3.11	31.12	32.05	32054.02	0.97	104	
211	03/21/17 11:44:29.078	29218.18	2.92	29.22	30.10	30097.88	0.97	97	
212	03/21/17 12:59:40.140	28273.33	2.83	28.27	29.12	29124.58	0.97	94	
213	03/21/17 13:59:20.703	33637.14	3.36	33.64	34.65	34649.89	0.97	112	

214	03/21/17 14:59:01.265	47583.64	4.76	47.58	49.02	49016.28	0.97	159	
215	03/21/17 15:58:41.843	36635.24	3.66	36.64	37.74	37738.25	0.97	122	
216	03/21/17 16:58:22.406	39310.55	3.93	39.31	40.49	40494.11	0.97	131	
217	03/21/17 17:58:02.984	39680.24	3.97	39.68	40.87	40874.93	0.97	132	
218	03/21/17 18:57:43.546	40922.73	4.09	40.92	42.15	42154.83	0.97	136	
219	03/21/17 19:57:24.109	39969.05	4.00	39.97	41.17	41172.43	0.97	133	
220	03/21/17 20:59:55.187	38361.90	3.84	38.36	39.52	39516.90	0.97	128	
221	03/21/17 21:59:35.750	36898.18	3.69	36.90	38.01	38009.11	0.97	123	
222	03/21/17 22:59:16.328	36036.67	3.60	36.04	37.12	37121.66	0.97	120	
223	03/21/17 23:58:56.890	33207.50	3.32	33.21	34.21	34207.31	0.97	111	
224	03/22/17 0:58:37.468	36635.24	3.66	36.64	37.74	37738.25	0.97	122	
225	03/22/17 1:58:18.031	39310.29	3.93	39.31	40.49	40493.84	0.97	131	
226	03/22/17 2:57:58.593	39680.00	3.97	39.68	40.87	40874.68	0.97	132	
227	03/22/17 3:57:39.171	40922.73	4.09	40.92	42.15	42154.83	0.97	136	
228	03/22/17 4:57:19.734	39969.05	4.00	39.97	41.17	41172.43	0.97	133	
229	03/22/17 5:59:50.812	38361.90	3.84	38.36	39.52	39516.90	0.97	128	
230	03/22/17 6:56:40.875	36898.18	3.69	36.90	38.01	38009.11	0.97	123	
231	03/22/17 7:59:11.953	36036.67	3.60	36.04	37.12	37121.66	0.97	120	
232	03/22/17 8:58:52.515	33207.50	3.32	33.21	34.21	34207.31	0.97	111	
233	03/22/17 9:58:33.078	26297.73	2.63	26.30	27.09	27089.50	0.97	88	
234	03/22/17 10:58:13.656	31117.14	3.11	31.12	32.05	32054.02	0.97	104	
235	03/22/17 11:57:54.218	29218.18	2.92	29.22	30.10	30097.88	0.97	97	
236	03/22/17 13:57:15.359	28273.33	2.83	28.27	29.12	29124.58	0.97	94	
237	03/22/17 13:57:15.359	33637.14	3.36	33.64	34.65	34649.89	0.97	112	
238	03/22/17 14:59:46.437	47583.64	4.76	47.58	49.02	49016.28	0.97	159	
239	03/22/17 15:59:27.000	36635.24	3.66	36.64	37.74	37738.25	0.97	122	
240	03/22/17 16:59:07.562	38361.90	3.84	38.36	39.52	39516.90	0.97	128	
241	03/22/17 17:44:35.625	36898.18	3.69	36.90	38.01	38009.11	0.97	123	
242	03/22/17 20:59:25.750	36036.67	3.60	36.04	37.12	37121.66	0.97	120	
243	03/22/17 21:59:06.312	33207.50	3.32	33.21	34.21	34207.31	0.97	111	
244	03/22/17 22:58:46.890	36635.24	3.66	36.64	37.74	37738.25	0.97	122	
245	03/22/17 23:58:27.453	39310.29	3.93	39.31	40.49	40493.84	0.97	131	
246	03/23/17 0:58:08.015	39680.00	3.97	39.68	40.87	40874.68	0.97	132	
247	03/23/17 1:57:48.593	40922.73	4.09	40.92	42.15	42154.83	0.97	136	
248	03/23/17 2:57:29.156	39969.05	4.00	39.97	41.17	41172.43	0.97	133	
249	03/23/17 3:57:09.734	38361.90	3.84	38.36	39.52	39516.90	0.97	128	
250	03/23/17 4:59:40.796	36898.18	3.69	36.90	38.01	38009.11	0.97	123	
251	03/23/17 5:59:21.375	38361.90	3.84	38.36	39.52	39516.90	0.97	128	
252	03/23/17 6:59:01.937	36898.18	3.69	36.90	38.01	38009.11	0.97	123	
253	03/23/17 7:58:42.500	36036.67	3.60	36.04	37.12	37121.66	0.97	120	
254	03/23/17 8:58:23.078	33207.50	3.32	33.21	34.21	34207.31	0.97	111	
255	03/23/17 10:57:44.203	36635.24	3.66	36.64	37.74	37738.25	0.97	122	
256	03/23/17 10:57:44.203	39310.29	3.93	39.31	40.49	40493.84	0.97	131	
257	03/23/17 11:57:24.781	38361.90	3.84	38.36	39.52	39516.90	0.97	128	

258	03/23/17 12:59:55.843	36898.18	3.69	36.90	38.01	38009.11	0.97	123	
259	03/23/17 13:59:36.421	36036.67	3.60	36.04	37.12	37121.66	0.97	120	
260	03/23/17 14:59:16.984	33207.50	3.32	33.21	34.21	34207.31	0.97	111	
261	03/23/17 15:58:57.562	36635.24	3.66	36.64	37.74	37738.25	0.97	122	
262	03/23/17 16:58:38.125	39310.29	3.93	39.31	40.49	40493.84	0.97	131	
263	03/23/17 17:58:18.687	39680.00	3.97	39.68	40.87	40874.68	0.97	132	
264	03/23/17 18:57:59.265	40922.73	4.09	40.92	42.15	42154.83	0.97	136	
265	03/23/17 19:57:39.828	39969.05	4.00	39.97	41.17	41172.43	0.97	133	
266	03/23/17 20:57:20.406	38361.90	3.84	38.36	39.52	39516.90	0.97	128	
267	03/23/17 21:59:51.468	36898.18	3.69	36.90	38.01	38009.11	0.97	123	
268	03/23/17 22:59:32.046	36036.67	3.60	36.04	37.12	37121.66	0.97	120	
269	03/24/17 15:57:45.078	31481.50	3.15	31.48	32.43	32429.34	0.97	105	
270	03/24/17 16:57:25.656	53158.57	5.32	53.16	54.76	54759.07	0.97	177	
271	03/24/17 17:59:56.718	35180.00	3.52	35.18	36.24	36239.20	0.97	117	
272	03/24/17 18:59:37.296	32704.76	3.27	32.70	33.69	33689.43	0.97	109	
273	03/24/17 19:59:17.859	32347.27	3.23	32.35	33.32	33321.18	0.97	108	
274	03/24/17 20:58:58.437	33276.19	3.33	33.28	34.28	34278.07	0.97	111	
275	03/24/17 21:58:39.000	33197.62	3.32	33.20	34.20	34197.13	0.97	111	
276	03/24/17 22:58:19.562	36824.55	3.68	36.82	37.93	37933.26	0.97	123	
277	03/24/17 23:58:00.140	38980.00	3.90	38.98	40.15	40153.61	0.97	130	
278	03/25/17 0:57:40.703	36121.36	3.61	36.12	37.21	37208.90	0.97	120	
279	03/25/17 1:57:21.265	36537.62	3.65	36.54	37.64	37637.69	0.97	122	
280	03/25/17 2:59:52.343	37048.18	3.70	37.05	38.16	38163.63	0.97	123	
281	03/25/17 3:59:32.906	36779.09	3.68	36.78	37.89	37886.43	0.97	123	
282	03/25/17 4:59:13.484	38727.14	3.87	38.73	39.89	39893.14	0.97	129	
283	03/25/17 5:58:54.046	45910.91	4.59	45.91	47.29	47293.19	0.97	153	
284	03/25/17 6:58:34.625	68540.48	6.85	68.54	70.60	70604.09	0.97	228	
285	03/25/17 7:58:15.187	88661.36	8.87	88.66	91.33	91330.77	0.97	296	
286	03/25/17 8:57:55.750	112513.33	11.25	112.51	115.90	115900.87	0.97	375	
287	03/25/17 9:57:36.328	140262.38	14.03	140.26	144.49	144485.39	0.97	468	
288	03/25/17 10:57:16.890	162035.00	16.20	162.04	166.91	166913.54	0.97	540	
289	03/25/17 11:59:47.968	175925.00	17.59	175.93	181.22	181221.74	0.97	586	
290	03/25/17 12:59:28.531	188222.27	18.82	188.22	193.89	193889.25	0.97	627	
291	03/25/17 13:59:09.109	222094.29	22.21	222.09	228.78	228781.09	0.97	740	
292	03/25/17 14:58:49.671	216722.86	21.67	216.72	223.25	223247.94	0.97	722	
293	03/25/17 15:58:30.234	215592.73	21.56	215.59	222.08	222083.78	0.97	719	
294	03/25/17 16:58:10.812	224882.38	22.49	224.88	231.65	231653.12	0.97	750	
295	03/25/17 17:57:51.375	203244.09	20.32	203.24	209.36	209363.35	0.97	677	
296	03/25/17 18:57:31.953	176531.91	17.65	176.53	181.85	181846.91	0.97	588	
297	03/25/17 19:57:12.515	180431.36	18.04	180.43	185.86	185863.78	0.97	601	
298	03/25/17 20:59:43.593	189529.55	18.95	189.53	195.24	195235.89	0.97	632	
299	03/25/17 21:59:24.156	178851.82	17.89	178.85	184.24	184236.68	0.97	596	
300	03/25/17 22:59:04.718	178851.82	17.89	178.85	184.24	184236.68	0.97	596	
301	03/25/17 23:58:45.296	189667.14	18.97	189.67	195.38	195377.63	0.97	632	

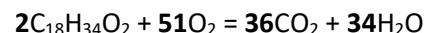
302	03/26/17 0:58:25.859	194305.46	19.43	194.31	200.16	200155.59	0.97	648
303	03/26/17 1:58:06.437	213903.33	21.39	213.90	220.34	220343.52	0.97	713
304	03/26/17 2:57:47.000	220548.57	22.05	220.55	227.19	227188.83	0.97	735
305	03/26/17 3:57:27.562	210220.46	21.02	210.22	216.55	216549.75	0.97	701
306	03/26/17 4:59:58.640	214385.46	21.44	214.39	220.84	220840.15	0.97	715
307	03/26/17 5:59:39.203	214454.09	21.45	214.45	220.91	220910.86	0.97	715
308	03/26/17 6:59:19.781	215085.24	21.51	215.09	221.56	221561.01	0.97	717
309	03/26/17 7:59:00.343	212183.33	21.22	212.18	218.57	218571.73	0.97	707
310	03/26/17 8:58:40.921	188250.91	18.83	188.25	193.92	193918.76	0.97	628
311	03/26/17 9:58:21.484	203984.29	20.40	203.98	210.13	210125.84	0.97	680
312	03/26/17 10:58:02.046	218560.00	21.86	218.56	225.14	225140.39	0.97	729
313	03/26/17 11:57:42.625	219234.29	21.92	219.23	225.83	225834.98	0.97	731
314	03/26/17 12:57:23.187	250656.82	25.07	250.66	258.20	258203.58	0.97	836
315	03/26/17 13:59:54.265	246260.44	24.63	246.26	253.67	253674.82	0.97	821
316	03/26/17 14:59:34.828	240142.38	24.01	240.14	247.37	247372.57	0.97	800
317	03/26/17 15:59:15.406	202585.00	20.26	202.59	208.68	208684.42	0.97	675
318	03/26/17 16:58:55.968	206038.10	20.60	206.04	212.24	212241.48	0.97	687
319	03/26/17 17:58:36.531	201964.09	20.20	201.96	208.04	208044.81	0.97	673
320	03/26/17 18:58:17.109	193107.62	19.31	193.11	198.92	198921.69	0.97	644
321	03/26/17 19:57:57.671	197452.38	19.75	197.45	203.40	203397.26	0.97	658
322	03/26/17 20:57:38.250	211390.46	21.14	211.39	217.75	217754.98	0.97	705
323	03/26/17 21:57:18.812	244706.52	24.47	244.71	252.07	252074.13	0.97	816
324	03/26/17 22:59:49.890	244706.52	24.47	244.71	252.07	252074.13	0.97	816
325	03/26/17 23:59:30.453	239772.38	23.98	239.77	246.99	246991.43	0.97	799
326	03/27/17 0:59:11.015	229295.00	22.93	229.30	236.20	236198.60	0.97	764
327	03/27/17 1:58:51.593	243997.62	24.40	244.00	251.34	251343.88	0.97	813
328	03/27/17 2:58:32.156	243997.62	24.40	244.00	251.34	251343.88	0.97	813
329	03/27/17 3:58:12.734	224571.82	22.46	224.57	231.33	231333.21	0.97	749
330	03/27/17 4:57:53.296	216765.24	21.68	216.77	223.29	223291.59	0.97	723
331	03/27/17 5:46:11.843	195324.71	19.53	195.32	201.21	201205.53	0.97	651
332	03/27/17 8:57:14.828	195222.22	19.52	195.22	201.10	201099.96	0.97	651
333	03/27/17 9:59:45.906	228186.82	22.82	228.19	235.06	235057.05	0.97	761
334	03/27/17 10:59:26.468	263890.00	26.39	263.89	271.84	271835.18	0.97	880
335	03/27/17 11:07:57.984	262136.67	26.21	262.14	270.03	270029.06	0.97	874
336	03/27/17 12:57:26.656	253070.00	25.31	253.07	260.69	260689.41	0.97	844
337	03/27/17 13:59:57.734	202325.91	20.23	202.33	208.42	208417.53	0.97	674
338	03/27/17 14:59:38.296	202661.82	20.27	202.66	208.76	208763.55	0.97	676
339	03/27/17 15:59:18.859	241894.09	24.19	241.89	249.18	249177.02	0.97	806
340	03/27/17 16:58:59.437	238007.62	23.80	238.01	245.17	245173.54	0.97	793
341	03/27/17 17:58:40.000	240194.09	24.02	240.19	247.43	247425.84	0.97	801
342	03/27/17 18:58:20.578	240643.81	24.06	240.64	247.89	247889.10	0.97	802
343	03/27/17 19:58:01.140	235574.29	23.56	235.57	242.67	242666.95	0.97	785
344	03/27/17 20:57:41.703	239090.91	23.91	239.09	246.29	246289.44	0.97	797
345	03/27/17 21:57:22.281	242073.33	24.21	242.07	249.36	249361.66	0.97	807

346	03/27/17 22:59:53.343	239760.91	23.98	239.76	246.98	246979.62	0.97	799	
347	03/27/17 23:59:33.921	244029.55	24.40	244.03	251.38	251376.78	0.97	813	
348	03/28/17 0:59:14.484	241298.64	24.13	241.30	248.56	248563.64	0.97	804	
349	03/28/17 1:58:55.062	249052.38	24.91	249.05	256.55	256550.83	0.97	830	
350	03/28/17 2:58:35.625	259950.95	26.00	259.95	267.78	267777.54	0.97	867	
351	03/28/17 3:58:16.187	290279.09	29.03	290.28	299.02	299018.79	0.97	968	
352	03/28/17 4:57:56.765	221309.52	22.13	221.31	227.97	227972.69	0.97	738	
353	03/28/17 5:57:37.328	247677.27	24.77	247.68	255.13	255134.32	0.97	826	
354	03/28/17 6:57:17.906	245244.29	24.52	245.24	252.63	252628.09	0.97	817	
355	03/28/17 7:59:48.968	243833.33	24.38	243.83	251.17	251174.65	0.97	813	
356	03/28/17 8:59:29.546	259543.48	25.95	259.54	267.36	267357.80	0.97	865	
357	03/28/17 9:59:10.109	198329.05	19.83	198.33	204.30	204300.33	0.97	661	
358	03/28/17 10:58:50.671	203621.36	20.36	203.62	209.75	209751.98	0.97	679	
359	03/28/17 11:58:31.250	196550.00	19.66	196.55	202.47	202467.71	0.97	655	
360	03/28/17 12:58:11.812	217753.33	21.78	217.75	224.31	224309.43	0.97	726	
361	03/28/17 13:57:52.390	252523.64	25.25	252.52	260.13	260126.61	0.97	842	
362	03/28/17 14:57:32.953	278237.62	27.82	278.24	286.61	286614.78	0.97	927	
363	03/28/17 15:57:13.515	243562.27	24.36	243.56	250.90	250895.43	0.97	812	
364	03/28/17 16:59:44.593	242004.29	24.20	242.00	249.29	249290.54	0.97	807	
365	03/28/17 17:59:25.156	240551.74	24.06	240.55	247.79	247794.26	0.97	802	
366	03/28/17 18:59:05.734	240551.74	24.06	240.55	247.79	247794.26	0.97	802	
367	03/28/17 19:58:46.296	238712.38	23.87	238.71	245.90	245899.52	0.97	796	
368	03/28/17 20:58:26.875	245933.18	24.59	245.93	253.34	253337.72	0.97	820	
369	03/28/17 21:58:07.437	245619.52	24.56	245.62	253.01	253014.62	0.97	819	
370	03/28/17 22:57:48.000	272970.95	27.30	272.97	281.19	281189.54	0.97	910	
371	03/28/17 23:57:28.578	272970.95	27.30	272.97	281.19	281189.54	0.97	910	
372	03/29/17 0:59:59.640	216282.86	21.63	216.28	222.79	222794.69	0.97	721	
373	03/29/17 1:59:40.218	257815.65	25.78	257.82	265.58	265577.95	0.97	859	
374	03/29/17 2:59:20.781	254574.29	25.46	254.57	262.24	262239.00	0.97	849	
375	03/29/17 12:57:15.968	289520.00	28.95	289.52	298.24	298236.85	0.97	965	
376	03/29/17 13:59:47.031	267409.09	26.74	267.41	275.46	275460.23	0.97	891	
377	03/29/17 14:59:27.609	223616.19	22.36	223.62	230.35	230348.81	0.97	745	
378	03/29/17 15:59:08.171	223320.91	22.33	223.32	230.04	230044.64	0.97	744	
379	03/29/17 16:58:48.734	222955.71	22.30	222.96	229.67	229668.45	0.97	743	
380	03/29/17 17:58:29.312	222960.91	22.30	222.96	229.67	229673.80	0.97	743	
381	03/29/17 18:58:09.875	222738.10	22.27	222.74	229.44	229444.28	0.97	742	
382	03/29/17 19:57:50.453	223146.36	22.31	223.15	229.86	229864.84	0.97	744	
383	03/29/17 20:57:31.015	223157.14	22.32	223.16	229.88	229875.94	0.97	744	
384	03/29/17 21:57:11.578	223307.14	22.33	223.31	230.03	230030.46	0.97	744	
385	03/29/17 22:59:42.656	223254.78	22.33	223.25	229.98	229976.52	0.97	744	
386	03/29/17 23:59:23.218	223222.86	22.32	223.22	229.94	229943.64	0.97	744	
387	03/30/17 0:59:03.796	234860.91	23.49	234.86	241.93	241932.09	0.97	783	
388	03/30/17 1:58:44.359	212140.00	21.21	212.14	218.53	218527.10	0.97	707	
389	03/30/17 2:58:24.937	229228.10	22.92	229.23	236.13	236129.68	0.97	764	

390	03/30/17 3:58:05.500	246485.46	24.65	246.49	253.91	253906.62	0.97	822	
391	03/30/17 4:57:46.062	254066.67	25.41	254.07	261.72	261716.09	0.97	847	
392	03/30/17 5:57:26.640	257261.82	25.73	257.26	265.01	265007.44	0.97	858	
393	03/30/17 6:59:57.703	261599.55	26.16	261.60	269.48	269475.77	0.97	872	
394	03/30/17 7:59:38.281	273353.81	27.34	273.35	281.58	281583.93	0.97	911	
395	03/30/17 8:59:18.843	275084.55	27.51	275.08	283.37	283366.78	0.97	917	
396	03/30/17 9:58:59.421	279097.14	27.91	279.10	287.50	287500.18	0.97	930	
397	03/30/17 10:58:39.984	282340.00	28.23	282.34	290.84	290840.67	0.97	941	
398	03/30/17 11:58:20.546	289767.14	28.98	289.77	298.49	298491.43	0.97	966	
399	03/30/17 12:58:01.125	297432.27	29.74	297.43	306.39	306387.34	0.97	991	
400	03/30/17 13:57:41.687	203204.76	20.32	203.20	209.32	209322.84	0.97	677	
401	03/30/17 14:57:22.265	200500.95	20.05	200.50	206.54	206537.62	0.97	668	
402	03/30/17 15:59:53.328	195217.83	19.52	195.22	201.10	201095.44	0.97	651	
403	03/30/17 15:59:53.328	181138.10	18.11	181.14	186.59	186591.79	0.97	604	
404	03/30/17 17:59:14.468	174495.46	17.45	174.50	179.75	179749.15	0.97	582	
405	03/30/17 18:58:55.031	183614.76	18.36	183.61	189.14	189143.02	0.97	612	
406	03/30/17 19:58:35.609	177018.10	17.70	177.02	182.35	182347.75	0.97	590	
407	03/30/17 20:58:16.171	178022.27	17.80	178.02	183.38	183382.15	0.97	593	
408	03/30/17 21:57:56.734	82029.52	8.20	82.03	84.50	84499.26	0.97	273	
409	03/30/17 22:57:37.312	84220.91	8.42	84.22	86.76	86756.63	0.97	281	
410	03/30/17 23:57:17.875	85208.57	8.52	85.21	87.77	87774.03	0.97	284	
411	03/31/17 0:59:48.953	98563.04	9.86	98.56	101.53	101530.57	0.97	329	
412	03/31/17 1:59:29.515	98098.10	9.81	98.10	101.05	101051.63	0.97	327	
413	03/31/17 2:59:10.093	97108.57	9.71	97.11	100.03	100032.31	0.97	324	
414	03/31/17 3:58:50.656	86322.27	8.63	86.32	88.92	88921.26	0.97	288	
415	03/31/17 4:58:31.218	70974.29	7.10	70.97	73.11	73111.18	0.97	237	
416	03/31/17 5:58:11.796	67234.09	6.72	67.23	69.26	69258.37	0.97	224	
417	03/31/17 6:57:52.359	52442.86	5.24	52.44	54.02	54021.80	0.97	175	
418	03/31/17 7:57:32.937	74966.19	7.50	74.97	77.22	77223.27	0.97	250	
419	03/31/17 8:57:13.500	82484.09	8.25	82.48	84.97	84967.52	0.97	275	
420	03/31/17 9:59:44.578	83683.18	8.37	83.68	86.20	86202.71	0.97	279	
421	03/31/17 10:36:41.109	97384.62	9.74	97.38	100.32	100316.66	0.97	325	
422	03/31/17 11:59:05.703	96536.19	9.65	96.54	99.44	99442.70	0.97	322	
423	03/31/17 12:58:46.281	108458.10	10.85	108.46	111.72	111723.55	0.97	362	
424	03/31/17 13:58:26.843	96455.00	9.65	96.46	99.36	99359.06	0.97	322	
425	03/31/17 14:58:07.421	23815.24	2.38	23.82	24.53	24532.27	0.97	79	
426	03/31/17 15:57:47.984	3558.64	0.36	3.56	3.67	3665.78	0.97	12	
427	03/31/17 16:57:28.546	3235.24	0.32	3.24	3.33	3332.64	0.97	11	
428	03/31/17 17:59:59.625	3629.13	0.36	3.63	3.74	3738.40	0.97	12	
429	03/31/17 18:59:40.187	3254.76	0.33	3.25	3.35	3352.76	0.97	11	
430	03/31/17 19:59:20.765	3295.24	0.33	3.30	3.39	3394.45	0.97	11	
431	03/31/17 20:59:01.328	3405.45	0.34	3.41	3.51	3507.99	0.97	11	
432	03/31/17 21:58:41.906	3013.81	0.30	3.01	3.10	3104.55	0.97	10	
433	03/31/17 22:58:22.468	3371.82	0.34	3.37	3.47	3473.34	0.97	11	

434	03/31/17 23:58:03.031	4563.81	0.46	4.56	4.70	4701.22	0.97	15	
435	04/01/2017 00:57	12384.76	1.24	12.38	12.76	12757.64	0.97	41	
436	04/01/2017 01:57	27764.55	2.78	27.76	28.60	28600.48	0.97	93	
437	04/01/2017 02:59	41596.82	4.16	41.60	42.85	42849.21	0.97	139	
438	04/01/2017 03:59	51441.36	5.14	51.44	52.99	52990.16	0.97	171	
439	04/01/2017 04:59	59025.24	5.90	59.03	60.80	60802.37	0.97	197	
440	04/01/2017 05:58	54362.27	5.44	54.36	56.00	55999.01	0.97	181	
441	04/01/2017 06:58	59216.67	5.92	59.22	61.00	60999.56	0.97	197	
442	04/01/2017 07:58	61551.90	6.16	61.55	63.41	63405.11	0.97	205	
443	04/01/2017 08:21	61010.00	6.10	61.01	62.85	62846.89	0.97	203	

Anexo 6. Datos obtenidos con el sistema de monitoreo y control de la tasa respiratoria en palta HASS con tratamiento poscosecha



Nº	Fecha/Hora	CO ₂ (ppm)	CO ₂ (%)	CO ₂ (g)	O ₂ (g)	O ₂ (ppm)	CO ₂ /O ₂	ml CO ₂ kg h
1	04/01/2017 12:57	10860.67	1.09	10.86	11.48	11477.44	0.95	36
2	04/01/2017 13:57	11077.62	1.11	11.08	11.71	11706.71	0.95	37
3	04/08/2017 14:57	12517.73	1.25	12.52	13.23	13228.60	0.95	42
4	04/08/2017 15:59	10263.64	1.03	10.26	10.85	10846.50	0.95	34
5	04/08/2017 16:59	11790.00	1.18	11.79	12.46	12459.55	0.95	39
6	04/08/2017 17:59	12105.00	1.21	12.11	12.79	12792.44	0.95	40
7	04/08/2017 18:58	12864.76	1.29	12.86	13.60	13595.35	0.95	43
8	04/08/2017 19:58	13257.14	1.33	13.26	14.01	14010.01	0.95	44
9	04/08/2017 20:58	12328.18	1.23	12.33	13.03	13028.29	0.95	41
10	04/08/2017 21:57	12495.71	1.25	12.50	13.21	13205.34	0.95	42
11	04/08/2017 22:57	13581.36	1.36	13.58	14.35	14352.64	0.95	45
12	04/08/2017 23:59	12247.27	1.22	12.25	12.94	12942.79	0.95	41
13	04/09/2017 00:59	13463.33	1.35	13.46	14.23	14227.91	0.95	45
14	04/09/2017 01:59	12449.55	1.24	12.45	13.16	13156.55	0.95	41
15	04/09/2017 02:58	13812.86	1.38	13.81	14.60	14597.28	0.95	46
16	04/09/2017 03:58	16789.52	1.68	16.79	17.74	17742.99	0.95	56
17	04/09/2017 04:58	14416.82	1.44	14.42	15.24	15235.54	0.95	48
18	04/09/2017 05:58	15809.52	1.58	15.81	16.71	16707.34	0.95	53
19	04/09/2017 06:57	15401.82	1.54	15.40	16.28	16276.48	0.95	51
20	04/09/2017 07:57	14769.09	1.48	14.77	15.61	15607.82	0.95	49
21	04/09/2017 08:59	15275.45	1.53	15.28	16.14	16142.94	0.95	51
22	04/09/2017 09:59	14601.43	1.46	14.60	15.43	15430.64	0.95	49
23	04/09/2017 10:59	14520.00	1.45	14.52	15.34	15344.58	0.95	48
24	04/09/2017 11:58	17070.91	1.71	17.07	18.04	18040.36	0.95	57
25	04/09/2017 12:58	18747.14	1.87	18.75	19.81	19811.78	0.95	62
26	04/09/2017 13:58	18568.64	1.86	18.57	19.62	19623.14	0.95	62
27	04/09/2017 14:57	16033.81	1.60	16.03	16.94	16944.36	0.95	53
28	04/09/2017 15:57	16981.90	1.70	16.98	17.95	17946.30	0.95	57
29	04/09/2017 16:57	17378.26	1.74	17.38	18.37	18365.16	0.95	58
30	04/09/2017 17:59	17188.10	1.72	17.19	18.16	18164.20	0.95	57
31	04/09/2017 18:59	14741.36	1.47	14.74	15.58	15578.52	0.95	49
32	04/09/2017 19:59	16122.86	1.61	16.12	17.04	17038.47	0.95	54
33	04/09/2017 20:58	15700.95	1.57	15.70	16.59	16592.60	0.95	52
34	04/09/2017 21:58	18389.09	1.84	18.39	19.43	19433.40	0.95	61
35	04/09/2017 22:58	17605.71	1.76	17.61	18.61	18605.53	0.95	59
36	04/09/2017 23:57	15679.55	1.57	15.68	16.57	16569.98	0.95	52
37	04/10/2017 00:57	17891.43	1.79	17.89	18.91	18907.47	0.95	60
38	04/10/2017 01:57	16826.52	1.68	16.83	17.78	17782.09	0.95	56

39	04/10/2017 02:59	17440.00	1.74	17.44	18.43	18430.41	0.95	58
40	04/10/2017 03:59	13848.10	1.38	13.85	14.63	14634.52	0.95	46
41	04/10/2017 04:59	17430.45	1.74	17.43	18.42	18420.32	0.95	58
42	04/10/2017 05:58	17145.24	1.71	17.15	18.12	18118.91	0.95	57
43	04/10/2017 06:58	15171.36	1.52	15.17	16.03	16032.94	0.95	51
44	04/10/2017 07:58	16444.76	1.64	16.44	17.38	17378.65	0.95	55
45	04/10/2017 08:57	17232.38	1.72	17.23	18.21	18211.00	0.95	57
46	04/10/2017 09:57	15993.91	1.60	15.99	16.90	16902.20	0.95	53
47	04/10/2017 10:59	13621.43	1.36	13.62	14.39	14394.98	0.95	45
48	04/10/2017 11:59	16591.82	1.66	16.59	17.53	17534.06	0.95	55
49	04/10/2017 12:59	18437.14	1.84	18.44	19.48	19484.18	0.95	61
50	04/10/2017 13:59	15480.45	1.55	15.48	16.36	16359.58	0.95	52
51	04/10/2017 14:58	14979.05	1.50	14.98	15.83	15829.70	0.95	50
52	04/10/2017 15:58	17271.43	1.73	17.27	18.25	18252.26	0.95	58
53	04/10/2017 16:58	17293.18	1.73	17.29	18.28	18275.25	0.95	58
54	04/10/2017 17:57	16057.14	1.61	16.06	16.97	16969.02	0.95	54
55	04/10/2017 18:57	15005.22	1.50	15.01	15.86	15857.36	0.95	50
56	04/10/2017 19:59	15974.76	1.60	15.97	16.88	16881.96	0.95	53
57	04/10/2017 20:59	15974.76	1.60	15.97	16.88	16881.96	0.95	53
58	04/10/2017 21:59	16066.19	1.61	16.07	16.98	16978.58	0.95	54
59	04/10/2017 22:58	18569.09	1.86	18.57	19.62	19623.62	0.95	62
60	04/10/2017 23:58	18516.67	1.85	18.52	19.57	19568.22	0.95	62
61	04/11/2017 00:58	18502.73	1.85	18.50	19.55	19553.49	0.95	62
62	04/11/2017 01:57	16522.38	1.65	16.52	17.46	17460.68	0.95	55
63	04/11/2017 02:57	17799.05	1.78	17.80	18.81	18809.85	0.95	59
64	04/11/2017 03:57	18100.45	1.81	18.10	19.13	19128.37	0.95	60
65	04/11/2017 04:59	16455.91	1.65	16.46	17.39	17390.43	0.95	55
66	04/11/2017 05:59	15650.00	1.57	15.65	16.54	16538.76	0.95	52
67	04/11/2017 06:59	17957.62	1.80	17.96	18.98	18977.42	0.95	60
68	04/11/2017 07:50	17371.11	1.74	17.37	18.36	18357.61	0.95	58
69	04/13/17 11:57:11.281	19847.00	1.98	19.85	20.97	20974.10	0.95	66
70	04/13/17 12:59:42.343	16277.27	1.63	16.28	17.20	17201.65	0.95	54
71	04/13/17 13:59:22.921	12824.09	1.28	12.82	13.55	13552.36	0.95	43
72	04/13/17 14:59:03.484	14009.05	1.40	14.01	14.80	14804.61	0.95	47
73	04/13/17 15:58:44.062	11490.48	1.15	11.49	12.14	12143.01	0.95	38
74	04/13/17 16:58:24.625	14635.91	1.46	14.64	15.47	15467.07	0.95	49
75	04/13/17 17:58:05.187	12745.24	1.27	12.75	13.47	13469.03	0.95	42
76	04/13/17 18:57:45.765	11210.00	1.12	11.21	11.85	11846.61	0.95	37
77	04/13/17 19:57:26.328	12041.90	1.20	12.04	12.73	12725.76	0.95	40
78	04/13/17 20:59:57.406	11942.73	1.19	11.94	12.62	12620.95	0.95	40
79	04/13/17 21:59:37.968	13379.09	1.34	13.38	14.14	14138.88	0.95	45
80	04/13/17 22:59:18.546	12541.90	1.25	12.54	13.25	13254.15	0.95	42
81	04/13/17 23:58:59.109	11865.00	1.19	11.87	12.54	12538.81	0.95	40
82	04/14/17 0:58:39.671	12668.10	1.27	12.67	13.39	13387.51	0.95	42

83	04/14/17 1:58:20.250	14657.73	1.47	14.66	15.49	15490.13	0.95	49
84	04/14/17 2:58:00.812	14227.14	1.42	14.23	15.04	15035.10	0.95	47
85	04/14/17 3:57:41.390	15280.00	1.53	15.28	16.15	16147.74	0.95	51
86	04/14/17 4:57:21.953	14234.09	1.42	14.23	15.04	15042.44	0.95	47
87	04/14/17 5:59:53.031	12690.45	1.27	12.69	13.41	13411.14	0.95	42
88	04/14/17 6:59:33.593	11766.36	1.18	11.77	12.43	12434.57	0.95	39
89	04/14/17 7:59:14.156	12773.81	1.28	12.77	13.50	13499.23	0.95	43
90	04/14/17 8:58:54.734	14258.18	1.43	14.26	15.07	15067.90	0.95	48
91	04/14/17 9:58:35.296	14258.18	1.43	14.26	15.07	15067.90	0.95	48
92	04/14/17 10:58:15.875	13954.76	1.40	13.95	14.75	14747.25	0.95	47
93	04/14/17 11:57:56.437	12633.64	1.26	12.63	13.35	13351.09	0.95	42
94	04/14/17 12:57:37.000	18875.24	1.89	18.88	19.95	19947.15	0.95	63
95	04/14/17 13:57:17.578	15220.48	1.52	15.22	16.08	16084.84	0.95	51
96	04/14/17 14:59:48.640	19219.13	1.92	19.22	20.31	20310.57	0.95	64
97	04/14/17 15:59:29.218	19548.57	1.95	19.55	20.66	20658.72	0.95	65
98	04/14/17 16:59:09.781	18636.36	1.86	18.64	19.69	19694.71	0.95	62
99	04/14/17 17:58:50.359	19723.81	1.97	19.72	20.84	20843.91	0.95	66
100	04/14/17 18:58:30.921	17383.64	1.74	17.38	18.37	18370.84	0.95	58
101	04/14/17 19:58:11.484	17699.05	1.77	17.70	18.70	18704.17	0.95	59
102	04/14/17 20:57:52.062	17760.48	1.78	17.76	18.77	18769.08	0.95	59
103	04/14/17 21:57:32.625	17202.27	1.72	17.20	18.18	18179.18	0.95	57
104	04/14/17 22:57:13.203	19270.48	1.93	19.27	20.36	20364.84	0.95	64
105	04/14/17 23:59:44.265	21573.48	2.16	21.57	22.80	22798.62	0.95	72
106	04/15/17 0:59:24.843	18607.14	1.86	18.61	19.66	19663.83	0.95	62
107	04/15/17 1:59:05.406	18970.95	1.90	18.97	20.05	20048.30	0.95	63
108	04/15/17 2:58:45.968	19336.82	1.93	19.34	20.43	20434.95	0.95	64
109	04/15/17 3:58:26.546	18953.33	1.90	18.95	20.03	20029.68	0.95	63
110	04/15/17 4:58:07.109	17246.36	1.72	17.25	18.23	18225.78	0.95	57
111	04/15/17 5:57:47.687	15820.95	1.58	15.82	16.72	16719.42	0.95	53
112	04/15/17 6:57:28.250	15273.64	1.53	15.27	16.14	16141.02	0.95	51
113	04/15/17 7:59:59.328	13769.09	1.38	13.77	14.55	14551.03	0.95	46
114	04/15/17 8:59:39.890	15284.29	1.53	15.28	16.15	16152.27	0.95	51
115	04/15/17 9:59:20.453	15078.18	1.51	15.08	15.93	15934.46	0.95	50
116	04/15/17 10:59:01.031	15926.19	1.59	15.93	16.83	16830.63	0.95	53
117	04/15/17 11:44:29.078	16666.25	1.67	16.67	17.61	17612.72	0.95	56
118	04/16/17 12:59:40.140	17207.50	1.72	17.21	18.18	18184.71	0.95	57
119	04/16/17 13:59:20.703	19727.14	1.97	19.73	20.85	20847.44	0.95	66
120	04/16/17 14:59:01.265	16052.38	1.61	16.05	16.96	16963.99	0.95	54
121	04/16/17 15:58:41.843	19670.00	1.97	19.67	20.79	20787.05	0.95	66
122	04/16/17 16:58:22.406	16026.19	1.60	16.03	16.94	16936.31	0.95	53
123	04/16/17 17:58:02.984	17263.18	1.73	17.26	18.24	18243.55	0.95	58
124	04/16/17 18:57:43.546	15169.52	1.52	15.17	16.03	16030.99	0.95	51
125	04/16/17 19:57:24.109	13132.38	1.31	13.13	13.88	13878.16	0.95	44
126	04/16/17 20:59:55.187	13801.74	1.38	13.80	14.59	14585.53	0.95	46

127	04/16/17 21:59:35.750	14711.43	1.47	14.71	15.55	15546.88	0.95	49
128	04/16/17 22:59:16.328	15493.64	1.55	15.49	16.37	16373.51	0.95	52
129	04/16/17 23:58:56.890	16988.10	1.70	16.99	17.95	17952.84	0.95	57
130	04/17/17 0:58:37.468	13451.82	1.35	13.45	14.22	14215.74	0.95	45
131	04/17/17 1:58:18.031	15637.62	1.56	15.64	16.53	16525.67	0.95	52
132	04/17/17 2:57:58.593	15770.95	1.58	15.77	16.67	16666.58	0.95	53
133	04/17/17 3:57:39.171	16571.82	1.66	16.57	17.51	17512.92	0.95	55
134	04/17/17 4:57:19.734	17515.71	1.75	17.52	18.51	18510.42	0.95	58
135	04/17/17 5:59:50.812	15010.43	1.50	15.01	15.86	15862.87	0.95	50
136	04/17/17 6:56:40.875	12770.50	1.28	12.77	13.50	13495.73	0.95	43
137	04/17/17 7:59:11.953	14597.27	1.46	14.60	15.43	15426.24	0.95	49
138	04/17/17 8:58:52.515	15384.09	1.54	15.38	16.26	16257.75	0.95	51
139	04/17/17 9:58:33.078	13809.52	1.38	13.81	14.59	14593.76	0.95	46
140	04/17/17 10:58:13.656	14264.55	1.43	14.26	15.07	15074.62	0.95	48
141	04/17/17 11:57:54.218	11491.43	1.15	11.49	12.14	12144.02	0.95	38
142	04/17/17 13:57:15.359	13325.00	1.33	13.33	14.08	14081.72	0.95	44
143	04/17/17 13:57:15.359	13559.52	1.36	13.56	14.33	14329.56	0.95	45
144	04/17/17 14:59:46.437	10500.45	1.05	10.50	11.10	11096.77	0.95	35
145	04/17/17 15:59:27.000	10219.09	1.02	10.22	10.80	10799.43	0.95	34
146	04/17/17 16:59:07.562	10519.05	1.05	10.52	11.12	11116.42	0.95	35
147	04/17/17 17:44:35.625	20055.63	2.01	20.06	21.19	21194.57	0.95	67
148	04/18/17 20:59:25.750	20020.24	2.00	20.02	21.16	21157.17	0.95	67
149	04/18/17 21:59:06.312	25160.48	2.52	25.16	26.59	26589.33	0.95	84
150	04/18/17 22:58:46.890	24768.18	2.48	24.77	26.17	26174.75	0.95	83
151	04/18/17 23:58:27.453	22398.10	2.24	22.40	23.67	23670.07	0.95	75
152	04/19/17 0:58:08.015	20620.91	2.06	20.62	21.79	21791.96	0.95	69
153	04/19/17 1:57:48.593	20147.73	2.01	20.15	21.29	21291.91	0.95	67
154	04/19/17 2:57:29.156	19596.19	1.96	19.60	20.71	20709.05	0.95	65
155	04/19/17 3:57:09.734	19175.45	1.92	19.18	20.26	20264.42	0.95	64
156	04/19/17 4:59:40.796	19532.27	1.95	19.53	20.64	20641.50	0.95	65
157	04/19/17 5:59:21.375	18468.18	1.85	18.47	19.52	19516.98	0.95	62
158	04/19/17 6:59:01.937	18805.71	1.88	18.81	19.87	19873.68	0.95	63
159	04/19/17 7:58:42.500	20749.52	2.07	20.75	21.93	21927.88	0.95	69
160	04/19/17 8:58:23.078	17770.00	1.78	17.77	18.78	18779.15	0.95	59
161	04/19/17 10:57:44.203	17480.95	1.75	17.48	18.47	18473.69	0.95	58
162	04/19/17 10:57:44.203	14925.45	1.49	14.93	15.77	15773.06	0.95	50
163	04/19/17 11:57:24.781	18101.90	1.81	18.10	19.13	19129.90	0.95	60
164	04/19/17 12:59:55.843	20636.82	2.06	20.64	21.81	21808.77	0.95	69
165	04/19/17 13:59:36.421	18952.73	1.90	18.95	20.03	20029.04	0.95	63
166	04/19/17 14:59:16.984	20368.10	2.04	20.37	21.52	21524.79	0.95	68
167	04/19/17 15:58:57.562	18420.45	1.84	18.42	19.47	19466.54	0.95	61
168	04/19/17 16:58:38.125	17445.24	1.74	17.45	18.44	18435.94	0.95	58
169	04/19/17 17:58:18.687	21056.67	2.11	21.06	22.25	22252.46	0.95	70
170	04/19/17 18:57:59.265	19269.55	1.93	19.27	20.36	20363.85	0.95	64

171	04/19/17 19:57:39.828	20998.57	2.10	21.00	22.19	22191.07	0.95	70
172	04/19/17 20:57:20.406	22556.82	2.26	22.56	23.84	23837.81	0.95	75
173	04/19/17 21:59:51.468	20247.27	2.02	20.25	21.40	21397.10	0.95	67
174	04/19/17 22:59:32.046	19243.18	1.92	19.24	20.34	20335.99	0.95	64
175	04/19/17 23:59:12.609	16890.48	1.69	16.89	17.85	17849.68	0.95	56
176	04/20/17 0:58:53.171	20063.33	2.01	20.06	21.20	21202.72	0.95	67
177	04/20/17 1:58:33.750	20174.09	2.02	20.17	21.32	21319.77	0.95	67
178	04/20/17 2:58:14.312	21877.62	2.19	21.88	23.12	23120.04	0.95	73
179	04/20/17 3:57:54.890	21635.00	2.16	21.64	22.86	22863.64	0.95	72
180	04/20/17 4:57:35.453	29601.90	2.96	29.60	31.28	31282.98	0.95	99
181	04/20/17 5:57:16.015	26651.43	2.67	26.65	28.16	28164.95	0.95	89
182	04/20/17 6:59:47.093	24835.65	2.48	24.84	26.25	26246.06	0.95	83
183	04/20/17 7:59:27.656	29905.24	2.99	29.91	31.60	31603.54	0.95	100
184	04/20/17 8:59:08.234	21320.91	2.13	21.32	22.53	22531.71	0.95	71
185	04/20/17 9:58:48.796	29010.00	2.90	29.01	30.66	30657.46	0.95	97
186	04/20/17 10:58:29.375	27353.18	2.74	27.35	28.91	28906.55	0.95	91
187	04/20/17 11:58:09.937	26332.38	2.63	26.33	27.83	27827.78	0.95	88
188	04/20/17 12:57:50.500	25015.24	2.50	25.02	26.44	26435.84	0.95	83
189	04/20/17 13:57:31.078	28583.64	2.86	28.58	30.21	30206.89	0.95	95
190	04/20/17 14:57:11.640	24887.14	2.49	24.89	26.30	26300.47	0.95	83
191	04/20/17 15:59:42.718	17470.00	1.75	17.47	18.46	18462.11	0.95	58
192	04/20/17 16:59:23.281	18791.43	1.88	18.79	19.86	19858.58	0.95	63
193	04/20/17 17:59:03.859	18440.95	1.84	18.44	19.49	19488.20	0.95	61
194	04/20/17 18:58:44.421	17297.73	1.73	17.30	18.28	18280.06	0.95	58
195	04/20/17 19:58:24.984	22117.14	2.21	22.12	23.37	23373.16	0.95	74
196	04/20/17 20:58:05.562	20218.18	2.02	20.22	21.37	21366.36	0.95	67
197	04/20/17 21:57:46.125	19273.33	1.93	19.27	20.37	20367.86	0.95	64
198	04/20/17 22:57:26.703	24637.14	2.46	24.64	26.04	26036.27	0.95	82
199	04/20/17 23:59:57.765	20583.64	2.06	20.58	21.75	21752.57	0.95	69
200	04/21/17 0:59:24.843	20635.24	2.06	20.64	21.81	21807.10	0.95	69
201	04/21/17 1:59:05.406	20310.00	2.03	20.31	21.46	21463.39	0.95	68
202	04/21/17 2:58:45.968	20680.00	2.07	20.68	21.85	21854.41	0.95	69
203	04/21/17 3:58:26.546	21922.73	2.19	21.92	23.17	23167.71	0.95	73
204	04/21/17 4:58:07.109	20969.05	2.10	20.97	22.16	22159.87	0.95	70
205	04/21/17 5:57:47.687	20361.90	2.04	20.36	21.52	21518.25	0.95	68
206	04/21/17 6:57:28.250	22898.18	2.29	22.90	24.20	24198.56	0.95	76
207	04/21/17 7:59:59.328	20036.67	2.00	20.04	21.17	21174.54	0.95	67
208	04/21/17 8:59:39.890	20207.53	2.02	20.21	21.36	21355.10	0.95	67
209	04/21/17 9:59:20.453	17297.73	1.73	17.30	18.28	18280.06	0.95	58
210	04/21/17 10:59:01.031	22117.14	2.21	22.12	23.37	23373.16	0.95	74
211	04/21/17 11:44:29.078	20218.18	2.02	20.22	21.37	21366.36	0.95	67
212	04/21/17 12:59:40.140	19273.33	1.93	19.27	20.37	20367.86	0.95	64
213	04/21/17 13:59:20.703	19637.14	1.96	19.64	20.75	20752.33	0.95	65
214	04/21/17 14:59:01.265	20583.64	2.06	20.58	21.75	21752.57	0.95	69

215	04/21/17 15:58:41.843	21635.24	2.16	21.64	22.86	22863.89	0.95	72
216	04/21/17 16:58:22.406	20310.55	2.03	20.31	21.46	21463.97	0.95	68
217	04/21/17 17:58:02.984	20680.24	2.07	20.68	21.85	21854.66	0.95	69
218	04/21/17 18:57:43.546	21022.73	2.10	21.02	22.22	22216.60	0.95	70
219	04/21/17 19:57:24.109	22969.05	2.30	22.97	24.27	24273.45	0.95	77
220	04/21/17 20:59:55.187	19361.90	1.94	19.36	20.46	20461.46	0.95	65
221	04/21/17 21:59:35.750	20898.18	2.09	20.90	22.08	22084.98	0.95	70
222	04/21/17 22:59:16.328	20036.67	2.00	20.04	21.17	21174.54	0.95	67
223	04/21/17 23:58:56.890	20207.50	2.02	20.21	21.36	21355.07	0.95	67
224	04/22/17 0:58:37.468	20635.24	2.06	20.64	21.81	21807.10	0.95	69
225	04/22/17 1:58:18.031	20310.29	2.03	20.31	21.46	21463.70	0.95	68
226	04/22/17 2:57:58.593	20680.00	2.07	20.68	21.85	21854.41	0.95	69
227	04/22/17 3:57:39.171	21922.73	2.19	21.92	23.17	23167.71	0.95	73
228	04/22/17 4:57:19.734	20969.05	2.10	20.97	22.16	22159.87	0.95	70
229	04/22/17 5:59:50.812	20361.90	2.04	20.36	21.52	21518.25	0.95	68
230	04/22/17 6:56:40.875	21898.18	2.19	21.90	23.14	23141.77	0.95	73
231	04/22/17 7:59:11.953	19036.67	1.90	19.04	20.12	20117.75	0.95	63
232	04/22/17 8:58:52.515	24207.50	2.42	24.21	25.58	25582.23	0.95	81
233	04/22/17 9:58:33.078	25297.73	2.53	25.30	26.73	26734.37	0.95	84
234	04/22/17 10:58:13.656	25117.14	2.51	25.12	26.54	26543.53	0.95	84
235	04/22/17 11:57:54.218	24018.18	2.40	24.02	25.38	25382.16	0.95	80
236	04/22/17 13:57:15.359	19273.33	1.93	19.27	20.37	20367.86	0.95	64
237	04/22/17 13:57:15.359	24637.14	2.46	24.64	26.04	26036.27	0.95	82
238	04/22/17 14:59:46.437	23583.64	2.36	23.58	24.92	24922.94	0.95	79
239	04/22/17 15:59:27.000	24635.24	2.46	24.64	26.03	26034.26	0.95	82
240	04/22/17 16:59:07.562	24361.90	2.44	24.36	25.75	25745.40	0.95	81
241	04/22/17 17:44:35.625	24898.18	2.49	24.90	26.31	26312.14	0.95	83
242	04/22/17 20:59:25.750	24036.67	2.40	24.04	25.40	25401.70	0.95	80
243	04/22/17 21:59:06.312	23207.50	2.32	23.21	24.53	24525.44	0.95	77
244	04/22/17 22:58:46.890	23635.24	2.36	23.64	24.98	24977.47	0.95	79
245	04/22/17 23:58:27.453	20310.29	2.03	20.31	21.46	21463.70	0.95	68
246	04/23/17 0:58:08.015	20680.00	2.07	20.68	21.85	21854.41	0.95	69
247	04/23/17 1:57:48.593	21922.73	2.19	21.92	23.17	23167.71	0.95	73
248	04/23/17 2:57:29.156	20969.05	2.10	20.97	22.16	22159.87	0.95	70
249	04/23/17 3:57:09.734	21361.90	2.14	21.36	22.58	22575.04	0.95	71
250	04/23/17 4:59:40.796	22898.18	2.29	22.90	24.20	24198.56	0.95	76
251	04/23/17 5:59:21.375	22361.90	2.24	22.36	23.63	23631.83	0.95	75
252	04/23/17 6:59:01.937	27898.18	2.79	27.90	29.48	29482.51	0.95	93
253	04/23/17 7:58:42.500	27036.67	2.70	27.04	28.57	28572.07	0.95	90
254	04/23/17 8:58:23.078	24207.50	2.42	24.21	25.58	25582.23	0.95	81
255	04/23/17 10:57:44.203	27635.24	2.76	27.64	29.20	29204.63	0.95	92
256	04/23/17 10:57:44.203	30310.29	3.03	30.31	32.03	32031.60	0.95	101
257	04/23/17 11:57:24.781	29361.90	2.94	29.36	31.03	31029.35	0.95	98
258	04/23/17 12:59:55.843	27898.18	2.79	27.90	29.48	29482.51	0.95	93

259	04/23/17 13:59:36.421	27036.67	2.70	27.04	28.57	28572.07	0.95	90
260	04/23/17 14:59:16.984	24207.50	2.42	24.21	25.58	25582.23	0.95	81
261	04/23/17 15:58:57.562	27635.24	2.76	27.64	29.20	29204.63	0.95	92
262	04/23/17 16:58:38.125	16310.29	1.63	16.31	17.24	17236.54	0.95	54
263	04/23/17 17:58:18.687	19680.00	1.97	19.68	20.80	20797.62	0.95	66
264	04/23/17 18:57:59.265	19922.73	1.99	19.92	21.05	21054.13	0.95	66
265	04/23/17 19:57:39.828	19969.05	2.00	19.97	21.10	21103.08	0.95	67
266	04/23/17 20:57:20.406	19361.90	1.94	19.36	20.46	20461.46	0.95	65
267	04/23/17 21:59:51.468	17898.18	1.79	17.90	18.91	18914.61	0.95	60
268	04/23/17 22:59:32.046	17036.67	1.70	17.04	18.00	18004.17	0.95	57
269	04/24/17 15:57:45.078	19481.50	1.95	19.48	20.59	20587.84	0.95	65
270	04/24/17 16:57:25.656	18158.57	1.82	18.16	19.19	19189.79	0.95	61
271	04/24/17 17:59:56.718	26180.00	2.62	26.18	27.67	27666.75	0.95	87
272	04/24/17 18:59:37.296	23704.76	2.37	23.70	25.05	25050.94	0.95	79
273	04/24/17 19:59:17.859	23347.27	2.33	23.35	24.67	24673.15	0.95	78
274	04/24/17 20:58:58.437	24276.19	2.43	24.28	25.65	25654.82	0.95	81
275	04/24/17 21:58:39.000	24197.62	2.42	24.20	25.57	25571.79	0.95	81
276	04/24/17 22:58:19.562	27824.55	2.78	27.82	29.40	29404.69	0.95	93
277	04/24/17 23:58:00.140	29980.00	3.00	29.98	31.68	31682.55	0.95	100
278	04/25/17 0:57:40.703	27121.36	2.71	27.12	28.66	28661.57	0.95	90
279	04/25/17 1:57:21.265	27537.62	2.75	27.54	29.10	29101.47	0.95	92
280	04/25/17 2:59:52.343	28048.18	2.80	28.05	29.64	29641.02	0.95	93
281	04/25/17 3:59:32.906	27779.09	2.78	27.78	29.36	29356.65	0.95	93
282	04/25/17 4:59:13.484	29727.14	2.97	29.73	31.42	31415.33	0.95	99
283	04/25/17 5:58:54.046	26910.91	2.69	26.91	28.44	28439.17	0.95	90
284	04/25/17 6:58:34.625	29540.48	2.95	29.54	31.22	31218.06	0.95	98
285	04/25/17 7:58:15.187	23661.36	2.37	23.66	25.01	25005.08	0.95	79
286	04/25/17 8:57:55.750	23513.33	2.35	23.51	24.85	24848.64	0.95	78
287	04/25/17 9:57:36.328	22262.38	2.23	22.26	23.53	23526.65	0.95	74
288	04/25/17 10:57:16.890	23035.00	2.30	23.04	24.34	24343.15	0.95	77
289	04/25/17 11:59:47.968	26925.00	2.69	26.93	28.45	28454.06	0.95	90
290	04/25/17 12:59:28.531	22222.27	2.22	22.22	23.48	23484.26	0.95	74
291	04/25/17 13:59:09.109	23094.29	2.31	23.09	24.41	24405.80	0.95	77
292	04/25/17 14:58:49.671	21722.86	2.17	21.72	22.96	22956.49	0.95	72
293	04/25/17 15:58:30.234	21592.73	2.16	21.59	22.82	22818.97	0.95	72
294	04/25/17 16:58:10.812	23882.38	2.39	23.88	25.24	25238.65	0.95	80
295	04/25/17 17:57:51.375	24244.09	2.42	24.24	25.62	25620.90	0.95	81
296	04/25/17 18:57:31.953	16531.91	1.65	16.53	17.47	17470.74	0.95	55
297	04/25/17 19:57:12.515	21431.36	2.14	21.43	22.65	22648.44	0.95	71
298	04/25/17 20:59:43.593	20529.55	2.05	20.53	21.70	21695.41	0.95	68
299	04/25/17 21:59:24.156	21851.82	2.19	21.85	23.09	23092.77	0.95	73
300	04/25/17 22:59:04.718	21851.82	2.19	21.85	23.09	23092.77	0.95	73
301	04/25/17 23:58:45.296	20667.14	2.07	20.67	21.84	21840.82	0.95	69
302	04/26/17 0:58:25.859	21305.46	2.13	21.31	22.52	22515.38	0.95	71

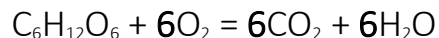
303	04/26/17 1:58:06.437	24903.33	2.49	24.90	26.32	26317.58	0.95	83
304	04/26/17 2:57:47.000	21548.57	2.15	21.55	22.77	22772.30	0.95	72
305	04/26/17 3:57:27.562	23220.46	2.32	23.22	24.54	24539.13	0.95	77
306	04/26/17 4:59:58.640	23385.46	2.34	23.39	24.71	24713.50	0.95	78
307	04/26/17 5:59:39.203	15454.09	1.55	15.45	16.33	16331.72	0.95	52
308	04/26/17 6:59:19.781	16085.24	1.61	16.09	17.00	16998.71	0.95	54
309	04/26/17 7:59:00.343	20083.33	2.01	20.08	21.22	21223.86	0.95	67
310	04/26/17 8:58:40.921	19983.33	2.00	19.98	21.12	21118.18	0.95	67
311	04/26/17 9:58:21.484	21834.29	2.18	21.83	23.07	23074.24	0.95	73
312	04/26/17 10:58:02.046	19560.00	1.96	19.56	20.67	20670.80	0.95	65
313	04/26/17 11:57:42.625	18234.29	1.82	18.23	19.27	19269.80	0.95	61
314	04/26/17 12:57:23.187	25656.82	2.57	25.66	27.11	27113.86	0.95	86
315	04/26/17 13:59:54.265	17260.44	1.73	17.26	18.24	18240.65	0.95	58
316	04/26/17 14:59:34.828	28142.38	2.81	28.14	29.74	29740.57	0.95	94
317	04/26/17 15:59:15.406	23585.00	2.36	23.59	24.92	24924.38	0.95	79
318	04/26/17 16:58:55.968	25038.10	2.50	25.04	26.46	26460.00	0.95	83
319	04/26/17 17:58:36.531	22964.09	2.30	22.96	24.27	24268.21	0.95	77
320	04/26/17 18:58:17.109	24107.62	2.41	24.11	25.48	25476.68	0.95	80
321	04/26/17 19:57:57.671	21452.38	2.15	21.45	22.67	22670.65	0.95	72
322	04/26/17 20:57:38.250	22390.46	2.24	22.39	23.66	23662.00	0.95	75
323	04/26/17 21:57:18.812	23706.52	2.37	23.71	25.05	25052.80	0.95	79
324	04/26/17 22:59:49.890	22706.52	2.27	22.71	24.00	23996.01	0.95	76
325	04/26/17 23:59:30.453	23772.38	2.38	23.77	25.12	25122.40	0.95	79
326	04/27/17 0:59:11.015	21295.00	2.13	21.30	22.50	22504.33	0.95	71
327	04/27/17 1:58:51.593	23997.62	2.40	24.00	25.36	25360.43	0.95	80
328	04/27/17 2:58:32.156	24097.62	2.41	24.10	25.47	25466.11	0.95	80
329	04/27/17 3:58:12.734	24571.82	2.46	24.57	25.97	25967.24	0.95	82
330	04/27/17 4:57:53.296	23765.24	2.38	23.77	25.11	25114.85	0.95	79
331	04/27/17 5:46:11.843	24324.71	2.43	24.32	25.71	25706.09	0.95	81
332	04/27/17 8:57:14.828	24222.22	2.42	24.22	25.60	25597.79	0.95	81
333	03/27/17 9:59:45.906	25186.82	2.52	25.19	26.62	26617.16	0.95	84
334	04/27/17 10:59:26.468	24890.00	2.49	24.89	26.30	26303.49	0.95	83
335	04/27/17 11:07:57.984	26136.00	2.61	26.14	27.62	27620.25	0.95	87
336	04/27/17 12:57:26.656	25470.00	2.55	25.47	26.92	26916.43	0.95	85
337	04/27/17 13:59:57.734	25878.91	2.59	25.88	27.35	27348.56	0.95	86
338	04/27/17 14:59:38.296	24661.82	2.47	24.66	26.06	26062.35	0.95	82
339	04/27/17 15:59:18.859	24294.09	2.43	24.29	25.67	25673.74	0.95	81
340	04/27/17 16:58:59.437	25007.62	2.50	25.01	26.43	26427.79	0.95	83
341	04/27/17 17:58:40.000	25194.09	2.52	25.19	26.62	26624.85	0.95	84
342	04/27/17 18:58:20.578	26163.81	2.62	26.16	27.65	27649.64	0.95	87
343	04/27/17 19:58:01.140	26574.29	2.66	26.57	28.08	28083.43	0.95	89
344	04/27/17 20:57:41.703	26090.91	2.61	26.09	27.57	27572.60	0.95	87
345	04/27/17 21:57:22.281	26073.33	2.61	26.07	27.55	27554.02	0.95	87
346	04/27/17 22:59:53.343	26760.91	2.68	26.76	28.28	28280.65	0.95	89

347	04/27/17 23:59:33.921	26029.55	2.60	26.03	27.51	27507.75	0.95	87
348	04/28/17 0:59:14.484	27298.64	2.73	27.30	28.85	28848.91	0.95	91
349	04/28/17 1:58:55.062	27952.38	2.80	27.95	29.54	29539.78	0.95	93
350	04/28/17 2:58:35.625	28050.95	2.81	28.05	29.64	29643.95	0.95	94
351	04/28/17 3:58:16.187	28179.09	2.82	28.18	29.78	29779.37	0.95	94
352	04/28/17 4:57:56.765	28309.52	2.83	28.31	29.92	29917.21	0.95	94
353	04/28/17 5:57:37.328	28677.27	2.87	28.68	30.31	30305.84	0.95	96
354	04/28/17 6:57:17.906	28244.29	2.82	28.24	29.85	29848.26	0.95	94
355	04/28/17 7:59:48.968	28433.33	2.84	28.43	30.05	30048.05	0.95	95
356	04/28/17 8:59:29.546	28543.48	2.85	28.54	30.16	30164.45	0.95	95
357	04/28/17 9:59:10.109	29329.05	2.93	29.33	30.99	30994.63	0.95	98
358	04/28/17 10:58:50.671	28621.36	2.86	28.62	30.25	30246.76	0.95	95
359	04/28/17 11:58:31.250	27550.00	2.76	27.55	29.11	29114.55	0.95	92
360	04/28/17 12:58:11.812	28753.33	2.88	28.75	30.39	30386.22	0.95	96
361	04/28/17 13:57:52.390	27423.64	2.74	27.42	28.98	28981.01	0.95	91
362	04/28/17 14:57:32.953	26237.62	2.62	26.24	27.73	27727.64	0.95	87
363	04/28/17 15:57:13.515	23562.27	2.36	23.56	24.90	24900.36	0.95	79
364	04/28/17 16:59:44.593	26004.29	2.60	26.00	27.48	27481.06	0.95	87
365	04/28/17 17:59:25.156	25551.74	2.56	25.55	27.00	27002.81	0.95	85
366	04/28/17 18:59:05.734	28155.74	2.82	28.16	29.75	29754.69	0.95	94
367	04/28/17 19:58:46.296	27712.38	2.77	27.71	29.29	29286.15	0.95	92
368	04/28/17 20:58:26.875	26933.18	2.69	26.93	28.46	28462.70	0.95	90
369	04/28/17 21:58:07.437	28619.52	2.86	28.62	30.24	30244.81	0.95	95
370	04/28/17 22:57:48.000	27970.95	2.80	27.97	29.56	29559.41	0.95	93
371	04/28/17 23:57:28.578	26970.95	2.70	26.97	28.50	28502.62	0.95	90
372	04/29/17 0:59:59.640	27282.86	2.73	27.28	28.83	28832.24	0.95	91
373	04/29/17 1:59:40.218	28815.65	2.88	28.82	30.45	30452.08	0.95	96
374	04/29/17 2:59:20.781	29574.29	2.96	29.57	31.25	31253.79	0.95	99
375	04/29/17 12:57:15.968	29520.00	2.95	29.52	31.20	31196.43	0.95	98
376	04/29/17 13:59:47.031	25809.09	2.58	25.81	27.27	27274.78	0.95	86
377	04/29/17 14:59:27.609	28616.19	2.86	28.62	30.24	30241.29	0.95	95
378	04/29/17 15:59:08.171	29320.91	2.93	29.32	30.99	30986.03	0.95	98
379	04/29/17 16:58:48.734	30055.71	3.01	30.06	31.76	31762.56	0.95	100
380	04/29/17 17:58:29.312	29960.91	3.00	29.96	31.66	31662.37	0.95	100
381	04/29/17 18:58:09.875	29738.10	2.97	29.74	31.43	31426.91	0.95	99
382	04/29/17 19:57:50.453	34146.36	3.41	34.15	36.09	36085.52	0.95	114
383	04/29/17 20:57:31.015	34157.14	3.42	34.16	36.10	36096.91	0.95	114
384	04/29/17 21:57:11.578	39307.14	3.93	39.31	41.54	41539.38	0.95	131
385	04/29/17 22:59:42.656	34254.78	3.43	34.25	36.20	36200.09	0.95	114
386	04/29/17 23:59:23.218	34222.86	3.42	34.22	36.17	36166.36	0.95	114
387	04/30/17 0:59:03.796	35860.91	3.59	35.86	37.90	37897.43	0.95	120
388	04/30/17 1:58:44.359	34140.00	3.41	34.14	36.08	36078.79	0.95	114
389	04/30/17 2:58:24.937	32228.10	3.22	32.23	34.06	34058.31	0.95	107
390	04/30/17 3:58:05.500	33785.46	3.38	33.79	35.70	35704.11	0.95	113

391	04/30/17 4:57:46.062	38066.67	3.81	38.07	40.23	40228.45	0.95	127
392	04/30/17 5:57:26.640	38261.82	3.83	38.26	40.43	40434.69	0.95	128
393	04/30/17 6:59:57.703	35599.55	3.56	35.60	37.62	37621.22	0.95	119
394	04/30/17 7:59:38.281	34353.81	3.44	34.35	36.30	36304.75	0.95	115
395	04/30/17 8:59:18.843	36084.55	3.61	36.08	38.13	38133.77	0.95	120
396	04/30/17 9:58:59.421	38097.14	3.81	38.10	40.26	40260.66	0.95	127
397	04/30/17 10:58:39.984	43340.00	4.33	43.34	45.80	45801.26	0.95	144
398	04/30/17 11:58:20.546	28767.14	2.88	28.77	30.40	30400.81	0.95	96
399	04/30/17 12:58:01.125	38432.27	3.84	38.43	40.61	40614.82	0.95	128
400	04/30/17 13:57:41.687	30204.76	3.02	30.20	31.92	31920.07	0.95	101
401	04/30/17 14:57:22.265	39500.95	3.95	39.50	41.74	41744.19	0.95	132
402	04/30/17 15:59:53.328	38217.83	3.82	38.22	40.39	40388.20	0.95	127
403	04/30/17 15:59:53.328	37138.10	3.71	37.14	39.25	39247.15	0.95	124
404	04/30/17 17:59:14.468	38495.46	3.85	38.50	40.68	40681.59	0.95	128
405	04/30/17 18:58:55.031	30614.76	3.06	30.61	32.35	32353.36	0.95	102
406	04/30/17 19:58:35.609	38018.10	3.80	38.02	40.18	40177.12	0.95	127
407	04/30/17 20:58:16.171	37022.27	3.70	37.02	39.12	39124.75	0.95	123
408	04/30/17 21:57:56.734	49299.52	4.93	49.30	52.10	52099.22	0.95	164
409	04/30/17 22:57:37.312	45220.91	4.52	45.22	47.79	47788.98	0.95	151
410	04/30/17 23:57:17.875	46208.57	4.62	46.21	48.83	48832.73	0.95	154
411	04/31/17 0:59:48.953	49563.04	4.96	49.56	52.38	52377.70	0.95	165
412	04/31/17 1:59:29.515	49098.10	4.91	49.10	51.89	51886.35	0.95	164
413	04/31/17 2:59:10.093	48108.57	4.81	48.11	50.84	50840.63	0.95	160
414	04/31/17 3:58:50.656	47322.27	4.73	47.32	50.01	50009.68	0.95	158
415	04/31/17 4:58:31.218	41974.29	4.20	41.97	44.36	44357.98	0.95	140
416	04/31/17 5:58:11.796	53234.09	5.32	53.23	56.26	56257.23	0.95	177
417	04/31/17 6:57:52.359	43442.86	4.34	43.44	45.91	45909.95	0.95	145
418	04/31/17 7:57:32.937	45966.19	4.60	45.97	48.58	48576.59	0.95	153
419	04/31/17 8:57:13.500	43484.09	4.35	43.48	45.95	45953.53	0.95	145
420	04/31/17 9:59:44.578	44683.18	4.47	44.68	47.22	47220.72	0.95	149
421	04/31/17 10:36:41.109	48384.62	4.84	48.38	51.13	51132.35	0.95	161
422	04/31/17 11:59:05.703	47536.19	4.75	47.54	50.24	50235.75	0.95	158
423	04/31/17 12:58:46.281	50458.10	5.05	50.46	53.32	53323.58	0.95	168
424	04/31/17 13:58:26.843	41455.00	4.15	41.46	43.81	43809.21	0.95	138
425	04/31/17 14:58:07.421	44815.24	4.48	44.82	47.36	47360.27	0.95	149
426	04/31/17 15:57:47.984	42558.64	4.26	42.56	44.98	44975.52	0.95	142
427	04/31/17 16:57:28.546	42235.24	4.22	42.24	44.63	44633.76	0.95	141
428	04/31/17 17:59:59.625	42629.13	4.26	42.63	45.05	45050.02	0.95	142
429	04/31/17 18:59:40.187	42254.76	4.23	42.25	44.65	44654.39	0.95	141
430	04/31/17 19:59:20.765	42295.24	4.23	42.30	44.70	44697.16	0.95	141
431	04/31/17 20:59:01.328	42405.45	4.24	42.41	44.81	44813.64	0.95	141
432	04/31/17 21:58:41.906	42013.81	4.20	42.01	44.40	44399.75	0.95	140
433	04/31/17 22:58:22.468	42371.82	4.24	42.37	44.78	44778.09	0.95	141
434	04/31/17 23:58:03.031	43563.81	4.36	43.56	46.04	46037.78	0.95	145

435	04/01/2017 00:57	43384.76	4.34	43.38	45.85	45848.56	0.95	145
436	04/01/2017 01:57	48764.55	4.88	48.76	51.53	51533.86	0.95	163
437	04/01/2017 02:59	42596.82	4.26	42.60	45.02	45015.87	0.95	142
438	04/01/2017 03:59	42441.36	4.24	42.44	44.85	44851.59	0.95	141
439	04/01/2017 04:59	50025.24	5.00	50.03	52.87	52866.15	0.95	167
440	04/01/2017 05:58	55362.27	5.54	55.36	58.51	58506.27	0.95	185
441	04/01/2017 06:58	50216.67	5.02	50.22	53.07	53068.45	0.95	167
442	04/01/2017 07:58	52551.90	5.26	52.55	55.54	55536.30	0.95	175
443	04/01/2017 08:21	62010.00	6.20	62.01	65.53	65531.52	0.95	207

Anexo 7. Datos obtenidos con el sistema de monitoreo y control de la tasa respiratoria en tuna (PT1-167) sin tratamiento poscosecha



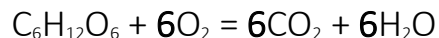
Nº	Fecha	CO ₂ (%)	CO ₂ (ppm)	CO ₂ (g)	O ₂ (g)	O ₂ (ppm)	CR	ml CO ₂ kg h
1	02/20/17 14:57:44.156	0.57	5705.00	5.71	4.15	4149.09	1.38	29
2	02/20/17 15:57:24.734	0.52	5177.62	5.18	3.77	3765.54	1.38	26
3	02/20/17 16:59:55.796	0.52	5190.87	5.19	3.78	3775.18	1.38	26
4	02/20/17 17:59:36.375	0.62	6236.67	6.24	4.54	4535.76	1.38	31
5	02/20/17 18:59:16.937	0.57	5720.45	5.72	4.16	4160.33	1.38	29
6	02/20/17 19:58:57.500	0.60	5957.62	5.96	4.33	4332.81	1.38	30
7	02/20/17 20:58:38.078	0.60	6001.43	6.00	4.36	4364.68	1.38	30
8	02/20/17 21:58:18.640	0.64	6367.27	6.37	4.63	4630.74	1.38	32
9	02/20/17 22:57:59.203	0.62	6153.81	6.15	4.48	4475.50	1.38	31
10	02/20/17 23:57:39.781	0.58	5760.00	5.76	4.19	4189.09	1.38	29
11	02/21/17 0:57:20.343	0.67	6691.43	6.69	4.87	4866.49	1.38	33
12	02/21/17 1:59:51.421	0.73	7300.45	7.30	5.31	5309.42	1.38	37
13	02/21/17 2:59:31.984	0.72	7232.27	7.23	5.26	5259.83	1.38	36
14	02/21/17 3:59:12.562	0.70	6952.86	6.95	5.06	5056.62	1.38	35
15	02/21/17 4:58:53.125	0.69	6930.91	6.93	5.04	5040.66	1.38	35
16	02/21/17 5:58:33.687	0.69	6930.91	6.93	5.04	5040.66	1.38	35
17	02/21/17 6:58:14.265	0.64	6440.00	6.44	4.68	4683.64	1.38	32
18	02/21/17 7:57:54.828	0.70	7031.36	7.03	5.11	5113.72	1.38	35
19	02/21/17 8:57:35.406	0.61	6123.81	6.12	4.45	4453.68	1.38	31
20	02/21/17 9:57:15.968	0.67	6716.36	6.72	4.88	4884.63	1.38	34
21	02/21/17 10:59:47.046	0.66	6584.09	6.58	4.79	4788.43	1.38	33
22	02/21/17 11:59:27.609	0.66	6609.09	6.61	4.81	4806.61	1.38	33
23	02/21/17 12:59:08.171	0.67	6700.48	6.70	4.87	4873.07	1.38	34
24	02/21/17 13:58:48.750	0.66	6608.57	6.61	4.81	4806.23	1.38	33
25	02/21/17 14:58:29.312	0.74	7418.64	7.42	5.40	5395.37	1.38	37
26	02/21/17 15:58:09.890	0.75	7521.45	7.52	5.47	5470.15	1.38	38
27	02/21/17 16:57:50.453	0.77	7700.45	7.70	5.60	5600.33	1.38	39
28	02/21/17 17:57:31.015	0.70	6995.24	7.00	5.09	5087.45	1.38	35
29	02/21/17 18:57:11.593	0.65	6480.00	6.48	4.71	4712.73	1.38	32
30	02/21/17 19:59:42.656	0.62	6223.04	6.22	4.53	4525.85	1.38	31
31	02/21/17 20:59:23.234	0.72	7175.71	7.18	5.22	5218.70	1.38	36
32	02/21/17 21:59:03.796	0.65	6488.64	6.49	4.72	4719.01	1.38	32
33	02/21/17 22:58:44.375	0.70	7032.38	7.03	5.11	5114.46	1.38	35
34	02/21/17 23:58:24.937	0.73	7333.81	7.33	5.33	5333.68	1.38	37
35	02/22/17 0:57:20.343	0.67	6691.43	6.69	4.87	4866.49	1.38	33
36	02/22/17 1:59:51.421	0.73	7300.45	7.30	5.31	5309.42	1.38	37
37	02/22/17 2:59:31.984	0.72	7232.27	7.23	5.26	5259.83	1.38	36
38	02/22/17 3:59:12.562	0.70	6952.86	6.95	5.06	5056.62	1.38	35

39	02/22/17 4:58:53.125	0.69	6930.91	6.93	5.04	5040.66	1.38	35
40	02/22/17 5:58:33.687	0.69	6930.91	6.93	5.04	5040.66	1.38	35
41	02/22/17 6:58:14.265	0.64	6440.00	6.44	4.68	4683.64	1.38	32
42	02/22/17 7:57:54.828	0.70	7031.36	7.03	5.11	5113.72	1.38	35
43	02/22/17 8:57:35.406	0.61	6123.81	6.12	4.45	4453.68	1.38	31
44	02/22/17 9:57:15.968	0.67	6716.36	6.72	4.88	4884.63	1.38	34
45	02/22/17 10:59:47.046	0.66	6584.09	6.58	4.79	4788.43	1.38	33
46	02/22/17 11:59:27.609	0.66	6609.09	6.61	4.81	4806.61	1.38	33
47	02/22/17 12:59:08.171	0.67	6700.48	6.70	4.87	4873.07	1.38	34
48	02/22/17 13:58:48.750	0.66	6608.57	6.61	4.81	4806.23	1.38	33
49	02/22/17 14:58:29.312	0.74	7418.64	7.42	5.40	5395.37	1.38	37
50	02/22/17 15:58:09.890	0.63	6259.55	6.26	4.55	4552.40	1.38	31
51	02/22/17 16:57:50.453	0.77	7700.45	7.70	5.60	5600.33	1.38	39
52	02/22/17 17:57:31.015	0.70	6995.24	7.00	5.09	5087.45	1.38	35
53	02/22/17 18:57:11.593	0.65	6480.00	6.48	4.71	4712.73	1.38	32
54	02/22/17 19:59:42.656	0.62	6223.04	6.22	4.53	4525.85	1.38	31
55	02/22/17 20:59:23.234	0.72	7175.71	7.18	5.22	5218.70	1.38	36
56	02/22/17 21:59:03.796	0.65	6488.64	6.49	4.72	4719.01	1.38	32
57	02/22/17 22:58:44.375	0.70	7032.38	7.03	5.11	5114.46	1.38	35
58	02/22/17 23:58:24.937	0.73	7333.81	7.33	5.33	5333.68	1.38	37
59	02/23/17 0:57:20.343	0.67	6700.48	6.70	4.87	4873.07	1.38	34
60	02/23/17 1:59:51.421	0.66	6608.57	6.61	4.81	4806.23	1.38	33
61	02/23/17 2:59:31.984	0.74	7418.64	7.42	5.40	5395.37	1.38	37
62	02/23/17 3:59:12.562	0.64	6352.41	6.35	4.62	4619.94	1.38	32
63	02/23/17 4:58:53.125	0.77	7700.45	7.70	5.60	5600.33	1.38	39
64	02/23/17 5:58:33.687	0.70	6995.24	7.00	5.09	5087.45	1.38	35
65	02/23/17 6:58:14.265	0.65	6480.00	6.48	4.71	4712.73	1.38	32
66	02/23/17 7:57:54.828	0.62	6223.04	6.22	4.53	4525.85	1.38	31
67	02/23/17 8:57:35.406	0.72	7175.71	7.18	5.22	5218.70	1.38	36
68	02/23/17 9:57:15.968	0.65	6488.64	6.49	4.72	4719.01	1.38	32
69	02/23/17 10:59:47.046	0.70	7032.38	7.03	5.11	5114.46	1.38	35
70	02/23/17 11:59:27.609	0.73	7333.81	7.33	5.33	5333.68	1.38	37
71	02/23/17 12:59:08.171	0.67	6691.43	6.69	4.87	4866.49	1.38	33
72	02/23/17 13:58:48.750	0.73	7300.45	7.30	5.31	5309.42	1.38	37
73	02/23/17 14:58:29.312	0.72	7232.27	7.23	5.26	5259.83	1.38	36
74	02/23/17 15:58:09.890	0.70	6952.86	6.95	5.06	5056.62	1.38	35
75	02/23/17 16:57:50.453	0.69	6930.91	6.93	5.04	5040.66	1.38	35
76	02/23/17 17:57:31.015	0.69	6930.91	6.93	5.04	5040.66	1.38	35
77	02/23/17 18:57:11.593	0.64	6440.00	6.44	4.68	4683.64	1.38	32
78	02/23/17 19:59:42.656	0.70	7031.36	7.03	5.11	5113.72	1.38	35
79	02/23/17 20:59:23.234	0.61	6123.81	6.12	4.45	4453.68	1.38	31
80	02/23/17 21:59:03.796	0.67	6716.36	6.72	4.88	4884.63	1.38	34
81	02/23/17 22:58:44.375	0.66	6584.09	6.58	4.79	4788.43	1.38	33
82	02/23/17 23:58:24.937	0.66	6609.09	6.61	4.81	4806.61	1.38	33

83	02/24/17 0:57:20.343	0.70	6952.86	6.95	5.06	5056.62	1.38	35
84	02/24/17 1:59:51.421	0.69	6930.91	6.93	5.04	5040.66	1.38	35
85	02/24/17 2:59:31.984	0.69	6930.91	6.93	5.04	5040.66	1.38	35
86	02/24/17 3:59:12.562	0.64	6440.00	6.44	4.68	4683.64	1.38	32
87	02/24/17 4:58:53.125	0.70	7031.36	7.03	5.11	5113.72	1.38	35
88	02/24/17 5:58:33.687	0.61	6123.81	6.12	4.45	4453.68	1.38	31
89	02/24/17 6:58:14.265	0.67	6716.36	6.72	4.88	4884.63	1.38	34
90	02/24/17 7:57:54.828	0.66	6584.09	6.58	4.79	4788.43	1.38	33
91	02/24/17 8:57:35.406	0.62	6212.43	6.21	4.52	4518.13	1.38	31
92	02/24/17 9:57:15.968	0.58	5754.55	5.75	4.19	4185.12	1.38	29
93	02/24/17 10:59:47.046	0.47	4704.29	4.70	3.42	3421.30	1.38	24
94	02/24/17 11:59:27.609	0.49	4858.64	4.86	3.53	3533.55	1.38	24
95	02/24/17 12:59:08.171	0.46	4586.19	4.59	3.34	3335.41	1.38	23
96	02/24/17 13:58:48.750	0.46	4588.18	4.59	3.34	3336.86	1.38	23
97	02/24/17 14:58:29.312	0.45	4450.95	4.45	3.24	3237.06	1.38	22
98	02/24/17 15:58:09.890	0.43	4256.30	4.26	3.10	3095.49	1.38	21
99	02/24/17 16:57:50.453	0.41	4123.56	4.12	3.00	2998.95	1.38	21
100	02/24/17 17:57:31.015	0.49	4854.62	4.85	3.53	3530.63	1.38	24
101	02/24/17 18:57:11.593	0.45	4489.55	4.49	3.27	3265.12	1.38	22
102	02/24/17 19:59:42.656	0.47	4704.29	4.70	3.42	3421.30	1.38	24
103	02/24/17 20:59:23.234	0.49	4858.64	4.86	3.53	3533.55	1.38	24
104	02/24/17 21:59:03.796	0.46	4586.19	4.59	3.34	3335.41	1.38	23
105	02/24/17 22:58:44.375	0.46	4588.18	4.59	3.34	3336.86	1.38	23
106	02/24/17 23:58:24.937	0.49	4895.82	4.90	3.56	3560.60	1.38	24
107	02/25/17 12:58:12.609	0.49	4942.90	4.94	3.59	3594.83	1.38	25
108	02/25/17 13:57:53.187	0.49	4921.22	4.92	3.58	3579.07	1.38	25
109	02/25/17 14:57:33.750	0.43	4259.80	4.26	3.10	3098.04	1.38	21
110	02/25/17 15:00:24.250	0.49	4898.85	4.90	3.56	3562.80	1.38	24
111	02/25/17 16:59:45.390	0.41	4125.12	4.13	3.00	3000.09	1.38	21
112	02/25/17 17:59:25.968	0.42	4187.57	4.19	3.05	3045.51	1.38	21
113	02/25/17 18:59:06.531	0.51	5086.67	5.09	3.70	3699.39	1.38	25
114	02/25/17 19:58:47.093	0.45	4489.55	4.49	3.27	3265.12	1.38	22
115	02/25/17 20:58:27.671	0.47	4704.29	4.70	3.42	3421.30	1.38	24
116	02/25/17 21:58:08.234	0.49	4858.64	4.86	3.53	3533.55	1.38	24
117	02/25/17 22:57:48.812	0.46	4586.19	4.59	3.34	3335.41	1.38	23
118	02/25/17 23:57:29.375	0.46	4588.18	4.59	3.34	3336.86	1.38	23
119	02/26/17 0:57:09.937	0.45	4450.95	4.45	3.24	3237.06	1.38	22
120	02/26/17 1:59:41.015	0.48	4769.55	4.77	3.47	3468.76	1.38	24
121	02/26/17 2:59:21.578	0.46	4567.73	4.57	3.32	3321.98	1.38	23
122	02/26/17 3:59:02.156	0.47	4677.14	4.68	3.40	3401.56	1.38	23
123	02/26/17 4:58:42.718	0.49	4879.05	4.88	3.55	3548.40	1.38	24
124	02/26/17 5:58:23.296	0.45	4509.52	4.51	3.28	3279.65	1.38	23
125	02/26/17 6:58:03.859	0.47	4690.00	4.69	3.41	3410.91	1.38	23
126	02/26/17 7:57:44.421	0.44	4426.36	4.43	3.22	3219.17	1.38	22

127	02/26/17 8:57:25.000	0.47	4742.86	4.74	3.45	3449.35	1.38	24	
128	02/26/17 9:59:56.062	0.47	4705.22	4.71	3.42	3421.98	1.38	24	
129	02/26/17 10:59:36.640	0.42	4227.14	4.23	3.07	3074.29	1.38	21	
130	02/26/17 11:59:17.203	0.46	4594.76	4.59	3.34	3341.65	1.38	23	
131	02/26/17 12:58:57.765	0.44	4412.41	4.41	3.21	3209.03	1.38	22	
132	02/26/17 13:58:38.343	0.45	4523.56	4.52	3.29	3289.86	1.38	23	
133	02/26/17 14:58:18.906	0.44	4430.00	4.43	3.22	3221.82	1.38	22	
134	02/26/17 15:57:59.484	0.45	4524.20	4.52	3.29	3290.33	1.38	23	
135	02/26/17 16:57:40.046	0.47	4721.36	4.72	3.43	3433.72	1.38	24	
136	02/26/17 17:57:20.609	0.45	4471.43	4.47	3.25	3251.95	1.38	22	
137	02/26/17 18:59:51.687	0.43	4269.55	4.27	3.11	3105.12	1.38	21	
138	02/26/17 19:59:32.250	0.44	4418.64	4.42	3.21	3213.55	1.38	22	
139	02/26/17 20:59:12.828	0.43	4270.95	4.27	3.11	3106.15	1.38	21	
140	02/26/17 21:41:50.375	0.47	4656.00	4.66	3.39	3386.18	1.38	23	

Anexo 8. Datos obtenidos con el sistema de monitoreo y control de la tasa respiratoria en Tuna (PT1-167) con tratamiento poscosecha



Nº	Fecha	CO ₂ (ppm)	CO ₂ (%)	CO ₂ (g)	O ₂ (g)	O ₂ (ppm)	CR	ml CO ₂ Kg h
1	03/01/2017 14:58	1311.12	0.13	1.31	0.95	953.54	1.38	6.6
2	03/01/2017 15:58	1315.25	0.13	1.32	0.96	956.55	1.38	6.6
3	03/01/2017 16:57	1295.48	0.13	1.30	0.94	942.17	1.38	6.5
4	03/01/2017 17:57	1312.86	0.13	1.31	0.95	954.81	1.38	6.6
5	03/01/2017 18:59	1335.91	0.13	1.34	0.97	971.57	1.38	6.7
6	03/01/2017 19:16	1268.33	0.13	1.27	0.92	922.42	1.38	6.3
7	03/02/2017 10:58	1271.24	0.13	1.27	0.92	924.53	1.38	6.4
8	03/02/2017 11:58	1324.01	0.13	1.32	0.96	962.92	1.38	6.6
9	03/02/2017 12:57	1325.01	0.13	1.33	0.96	963.65	1.38	6.6
10	03/02/2017 13:57	1324.01	0.13	1.32	0.96	962.92	1.38	6.6
11	03/02/2017 14:59	1325.14	0.13	1.33	0.96	963.74	1.38	6.6
12	03/02/2017 15:59	1224.24	0.12	1.22	0.89	890.35	1.38	6.1
13	03/02/2017 16:59	1325.01	0.13	1.33	0.96	963.64	1.38	6.6
14	03/02/2017 17:58	1324.23	0.13	1.32	0.96	963.08	1.38	6.6
15	03/02/2017 18:58	1425.23	0.14	1.43	1.04	1036.53	1.38	7.1
16	03/02/2017 19:58	1234.25	0.12	1.23	0.90	897.64	1.38	6.2
17	03/02/2017 20:57	1225.45	0.12	1.23	0.89	891.24	1.38	6.1
18	03/02/2017 21:57	1150.00	0.12	1.15	0.84	836.36	1.38	5.8
19	03/02/2017 22:57	1423.00	0.14	1.42	1.03	1034.91	1.38	7.1
20	03/02/2017 23:59	1325.00	0.13	1.33	0.96	963.64	1.38	6.6
21	03/03/2017 00:59	1342.20	0.13	1.34	0.98	976.15	1.38	6.7
22	03/03/2017 01:59	1321.02	0.13	1.32	0.96	960.74	1.38	6.6
23	03/03/2017 02:58	1320.01	0.13	1.32	0.96	960.01	1.38	6.6
24	03/03/2017 03:58	1451.01	0.15	1.45	1.06	1055.28	1.38	7.3
25	03/03/2017 04:58	1352.21	0.14	1.35	0.98	983.43	1.38	6.8
26	03/03/2017 05:57	1325.25	0.13	1.33	0.96	963.82	1.38	6.6
27	03/03/2017 06:57	1254.21	0.13	1.25	0.91	912.15	1.38	6.3
28	03/03/2017 07:57	1324.23	0.13	1.32	0.96	963.08	1.38	6.6
29	03/03/2017 08:59	1301.23	0.13	1.30	0.95	946.35	1.38	6.5
30	03/03/2017 09:59	1324.24	0.13	1.32	0.96	963.08	1.38	6.6
31	03/03/2017 10:59	1325.12	0.13	1.33	0.96	963.72	1.38	6.6
32	03/03/2017 11:58	1425.23	0.14	1.43	1.04	1036.53	1.38	7.1
33	03/03/2017 12:58	1425.02	0.14	1.43	1.04	1036.38	1.38	7.1
34	03/04/2017 00:57	1268.33	0.13	1.27	0.92	922.42	1.38	6.3
35	03/04/2017 01:59	1271.24	0.13	1.27	0.92	924.53	1.38	6.4
36	03/04/2017 02:59	1324.01	0.13	1.32	0.96	962.92	1.38	6.6
37	03/04/2017 03:59	1425.01	0.14	1.43	1.04	1036.37	1.38	7.1

38	03/04/2017 04:58	1524.01	0.15	1.52	1.11	1108.37	1.38	7.6
39	03/04/2017 05:58	1325.14	0.13	1.33	0.96	963.74	1.38	6.6
40	03/04/2017 06:58	1224.24	0.12	1.22	0.89	890.35	1.38	6.1
41	03/04/2017 07:57	1325.01	0.13	1.33	0.96	963.64	1.38	6.6
42	03/04/2017 08:57	1324.23	0.13	1.32	0.96	963.08	1.38	6.6
43	03/04/2017 09:57	1425.23	0.14	1.43	1.04	1036.53	1.38	7.1
44	03/04/2017 10:59	1370.00	0.14	1.37	1.00	996.36	1.38	6.9
45	03/04/2017 11:59	1225.45	0.12	1.23	0.89	891.24	1.38	6.1
46	03/04/2017 12:59	1150.00	0.12	1.15	0.84	836.36	1.38	5.8
47	03/04/2017 13:58	1348.18	0.13	1.35	0.98	980.50	1.38	6.7
48	03/04/2017 14:58	1325.00	0.13	1.33	0.96	963.64	1.38	6.6
49	03/04/2017 15:58	1442.20	0.14	1.44	1.05	1048.87	1.38	7.2
50	03/04/2017 16:57	1321.02	0.13	1.32	0.96	960.74	1.38	6.6
51	03/04/2017 17:57	1420.01	0.14	1.42	1.03	1032.74	1.38	7.1
52	03/04/2017 18:57	1451.01	0.15	1.45	1.06	1055.28	1.38	7.3
53	03/04/2017 19:59	1346.67	0.13	1.35	0.98	979.39	1.38	6.7
54	03/04/2017 20:59	1425.02	0.14	1.43	1.04	1036.38	1.38	7.1
55	03/04/2017 21:59	1268.33	0.13	1.27	0.92	922.42	1.38	6.3
56	03/04/2017 22:58	1271.24	0.13	1.27	0.92	924.53	1.38	6.4
57	03/04/2017 23:58	1324.01	0.13	1.32	0.96	962.92	1.38	6.6
58	03/05/2017 00:57	1256.09	0.13	1.26	0.91	913.52	1.38	6.3
59	03/05/2017 01:59	1324.24	0.13	1.32	0.96	963.08	1.38	6.6
60	03/05/2017 02:59	1325.12	0.13	1.33	0.96	963.72	1.38	6.6
61	03/05/2017 03:59	1525.23	0.15	1.53	1.11	1109.26	1.38	7.6
62	03/05/2017 04:58	1425.02	0.14	1.43	1.04	1036.38	1.38	7.1
63	03/05/2017 05:58	1268.33	0.13	1.27	0.92	922.42	1.38	6.3
64	03/05/2017 06:58	1271.24	0.13	1.27	0.92	924.53	1.38	6.4
65	03/05/2017 07:57	1425.02	0.14	1.43	1.04	1036.38	1.38	7.1
66	03/05/2017 08:57	1268.33	0.13	1.27	0.92	922.42	1.38	6.3
67	03/05/2017 09:57	1271.24	0.13	1.27	0.92	924.53	1.38	6.4
68	03/05/2017 10:59	1324.01	0.13	1.32	0.96	962.92	1.38	6.6
69	03/05/2017 11:59	1256.09	0.13	1.26	0.91	913.52	1.38	6.3
70	03/05/2017 12:59	1424.24	0.14	1.42	1.04	1035.81	1.38	7.1
71	03/05/2017 13:58	1421.02	0.14	1.42	1.03	1033.47	1.38	7.1
72	03/05/2017 14:58	1320.01	0.13	1.32	0.96	960.01	1.38	6.6
73	03/05/2017 15:58	1451.01	0.15	1.45	1.06	1055.28	1.38	7.3
74	03/05/2017 16:57	1346.67	0.13	1.35	0.98	979.39	1.38	6.7
75	03/05/2017 17:57	1425.02	0.14	1.43	1.04	1036.38	1.38	7.1
76	03/05/2017 18:57	1268.33	0.13	1.27	0.92	922.42	1.38	6.3
77	03/05/2017 19:59	1271.24	0.13	1.27	0.92	924.53	1.38	6.4
78	03/05/2017 20:59	1256.09	0.13	1.26	0.91	913.52	1.38	6.3
79	03/05/2017 21:59	1324.24	0.13	1.32	0.96	963.08	1.38	6.6
80	03/05/2017 22:58	1321.02	0.13	1.32	0.96	960.74	1.38	6.6
81	03/05/2017 23:58	1320.01	0.13	1.32	0.96	960.01	1.38	6.6

82	03/06/2017 00:57	1325.14	0.13	1.33	0.96	963.74	1.38	6.6
83	03/06/2017 01:59	1224.24	0.12	1.22	0.89	890.35	1.38	6.1
84	03/06/2017 02:59	1325.01	0.13	1.33	0.96	963.64	1.38	6.6
85	03/06/2017 03:59	1424.23	0.14	1.42	1.04	1035.80	1.38	7.1
86	03/06/2017 04:58	1425.23	0.14	1.43	1.04	1036.53	1.38	7.1
87	03/06/2017 05:58	1370.00	0.14	1.37	1.00	996.36	1.38	6.9
88	03/06/2017 06:58	1225.45	0.12	1.23	0.89	891.24	1.38	6.1
89	03/06/2017 07:57	1150.00	0.12	1.15	0.84	836.36	1.38	5.8
90	03/06/2017 08:57	1348.18	0.13	1.35	0.98	980.50	1.38	6.7
91	03/06/2017 09:57	1325.00	0.13	1.33	0.96	963.64	1.38	6.6
92	03/06/2017 10:59	1542.20	0.15	1.54	1.12	1121.60	1.38	7.7
93	03/06/2017 11:59	1521.02	0.15	1.52	1.11	1106.20	1.38	7.6
94	03/06/2017 12:59	1320.01	0.13	1.32	0.96	960.01	1.38	6.6
95	03/06/2017 13:58	1451.01	0.15	1.45	1.06	1055.28	1.38	7.3
96	03/06/2017 14:58	1346.67	0.13	1.35	0.98	979.39	1.38	6.7
97	03/06/2017 15:58	1425.02	0.14	1.43	1.04	1036.38	1.38	7.1
98	03/06/2017 16:57	1268.33	0.13	1.27	0.92	922.42	1.38	6.3
99	03/06/2017 17:57	1271.24	0.13	1.27	0.92	924.53	1.38	6.4
100	03/06/2017 18:57	1324.01	0.13	1.32	0.96	962.92	1.38	6.6
101	03/06/2017 19:59	1256.09	0.13	1.26	0.91	913.52	1.38	6.3
102	03/06/2017 20:59	1424.24	0.14	1.42	1.04	1035.81	1.38	7.1
103	03/06/2017 21:59	1321.02	0.13	1.32	0.96	960.74	1.38	6.6
104	03/06/2017 22:58	1420.01	0.14	1.42	1.03	1032.74	1.38	7.1
105	03/06/2017 23:58	1451.01	0.15	1.45	1.06	1055.28	1.38	7.3
106	03/07/2017 00:57	1321.02	0.13	1.32	0.96	960.74	1.38	6.6
107	03/07/2017 01:59	1320.01	0.13	1.32	0.96	960.01	1.38	6.6
108	03/07/2017 02:59	1451.01	0.15	1.45	1.06	1055.28	1.38	7.3
109	03/07/2017 03:59	1346.67	0.13	1.35	0.98	979.39	1.38	6.7
110	03/07/2017 04:58	1348.18	0.13	1.35	0.98	980.50	1.38	6.7
111	03/07/2017 05:58	1469.05	0.15	1.47	1.07	1068.40	1.38	7.3
112	03/07/2017 06:58	1400.00	0.14	1.40	1.02	1018.18	1.38	7.0
113	03/07/2017 07:57	1256.09	0.13	1.26	0.91	913.52	1.38	6.3
114	03/07/2017 08:57	1324.24	0.13	1.32	0.96	963.08	1.38	6.6
115	03/07/2017 09:57	1325.12	0.13	1.33	0.96	963.72	1.38	6.6
116	03/07/2017 10:59	1525.23	0.15	1.53	1.11	1109.26	1.38	7.6
117	03/07/2017 11:59	1425.02	0.14	1.43	1.04	1036.38	1.38	7.1
118	03/07/2017 12:59	1268.33	0.13	1.27	0.92	922.42	1.38	6.3
119	03/07/2017 13:58	1271.24	0.13	1.27	0.92	924.53	1.38	6.4
120	03/07/2017 14:58	1324.01	0.13	1.32	0.96	962.92	1.38	6.6
121	03/07/2017 15:58	1425.01	0.14	1.43	1.04	1036.37	1.38	7.1
122	03/07/2017 16:57	1524.01	0.15	1.52	1.11	1108.37	1.38	7.6
123	03/07/2017 17:57	1325.14	0.13	1.33	0.96	963.74	1.38	6.6
124	03/07/2017 18:57	1224.24	0.12	1.22	0.89	890.35	1.38	6.1
125	03/07/2017 19:59	1325.01	0.13	1.33	0.96	963.64	1.38	6.6

126	03/07/2017 20:59	1324.23	0.13	1.32	0.96	963.08	1.38	6.6	
127	03/07/2017 21:59	1425.23	0.14	1.43	1.04	1036.53	1.38	7.1	
128	03/07/2017 22:58	1370.00	0.14	1.37	1.00	996.36	1.38	6.9	
129	03/07/2017 23:58	1225.45	0.12	1.23	0.89	891.24	1.38	6.1	
130	03/07/2017 00:57	1324.01	0.13	1.32	0.96	962.92	1.38	6.6	
131	03/07/2017 01:59	1256.09	0.13	1.26	0.91	913.52	1.38	6.3	
132	03/07/2017 02:59	1324.24	0.13	1.32	0.96	963.08	1.38	6.6	
133	03/07/2017 03:59	1321.02	0.13	1.32	0.96	960.74	1.38	6.6	
134	03/07/2017 04:58	1720.01	0.17	1.72	1.25	1250.92	1.38	8.6	
135	03/07/2017 05:58	1451.01	0.15	1.45	1.06	1055.28	1.38	7.3	
136	03/07/2017 06:58	1846.67	0.18	1.85	1.34	1343.03	1.38	9.2	
137	03/07/2017 07:57	1425.02	0.14	1.43	1.04	1036.38	1.38	7.1	
138	03/07/2017 08:57	1268.33	0.13	1.27	0.92	922.42	1.38	6.3	
139	03/07/2017 09:57	1271.24	0.13	1.27	0.92	924.53	1.38	6.4	
140	03/07/2017 10:59	1256.09	0.13	1.26	0.91	913.52	1.38	6.3	

Anexo 9. Sistema automatizado de monitoreo y control de la tasa respiratoria en postcosecha



Figura 30. Panel de componentes: cámara de respiración de 0.005m³, sensor de CO₂, filtros de partículas e hidrofóbico, trampa de agua y bomba

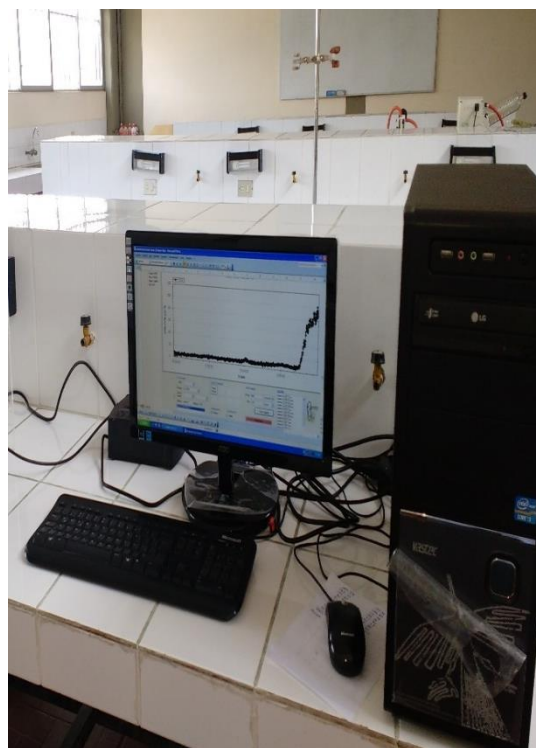


Figura 31. CPU: Central Processing Unit.



Figura 32. Sistema automatizado de monitoreo y control de la tasa respiratoria para frutas en postcosecha

Anexo 10. Resultados del análisis estadístico**Cuadro 5.** Análisis de la varianza de la tendencia respiratoria

Fuente de V	GL	Suma de Cuadrados	Cuadrados Medios	Fc	Significancia
Tratamiento	1	37783.59	37783.59	2410.23	**
Error	278	4358.02	15.67		
Total	279	42141.62			

R-cuadrado = 89.65%

CV=21.59

Cuadro 6. Prueba de Comparación Múltiple Duncan para contraste según tendencia respiratoria $\alpha=0.05$

Agrupamiento Duncan	Media Tendencia respiratoria	N	Tratamiento
A	29.95	140	(T1) Tuna sin recubrimiento
B	6.7171	140	(T2) Tuna con recubrimiento